

ผลของไฮโดรเจนเพอร์ออกไซด์ต่อการขัดควรบอนมอนอกไซด์ในกระแสงเชื้อเพลิงของเซลล์เชื้อเพลิงพืชีเคมี

นางสาวกฤชยาพร ทินกร

วิทยานิพนธ์นี้เป็นส่วนหนึ่งของการศึกษาตามหลักสูตรปริญญาวิทยาศาสตรมหาบัณฑิต  
สาขาวิชา เคมีเทคนิค ภาควิชาเคมีเทคนิค<sup>1</sup>  
คณะวิทยาศาสตร์ จุฬาลงกรณ์มหาวิทยาลัย  
ปีการศึกษา 2547

ISBN 974-17-6565-7

ลิขสิทธิ์ของจุฬาลงกรณ์มหาวิทยาลัย

EFFECTS OF HYDROGEN PEROXIDE ON CO REMOVAL IN FUEL STREAM OF PEM FUEL CELL

Miss Khritsayaporn Thinnakorn

A Thesis Submitted in Partial Fulfillment of the Requirements  
for the Degree of Master of Science in Chemical Technology

Department of Chemical Technology

Faculty of Science

Chulalongkorn University

Academic Year 2004

ISBN 974-17-6565-7

หัวข้อวิทยานิพนธ์	ผลของไฮโดรเจนเพอร์ออกไซด์ต่อการขัดควรบอนมอนอกไฮด์ในกระเบนสีเขียวเหลืองของเซลล์เชื้อเพลิงพีโอดีเอ็ม
โดย	นางสาวกฤษยาพร ทินกร
สาขาวิชา	เคมีเทคนิค
อาจารย์ที่ปรึกษา	ผู้ช่วยศาสตราจารย์ ดร. สงบทิพย์ พงศ์สถาบดี

คณะกรรมการคัดเลือกผู้เข้าแข่งขัน  
ให้นักวิทยานิพนธ์ฉบับนี้เป็นส่วน  
หนึ่งของการศึกษาตามหลักสูตรปริญญามหาบัณฑิต

..... คณบดีคณนาวิทยาศาสตร์  
(ศาสตราจารย์ ดร. เปี่ยมศักดิ์ เมนะเศวต)

คณะกรรมการสอบวิทยานิพนธ์

..... ประธานกรรมการ  
(ศาสตราจารย์ ดร. ภัทรพร ประสาสน์สารกิจ)

..... อาจารย์ที่ปรึกษา  
(ผู้ช่วยศาสตราจารย์ ดร. สงบทิพย์ พงศ์สถาบดี)

..... กรรมการ  
(รองศาสตราจารย์ ดร. ธนาพงษ์ วิทิตศานต์)

..... กรรมการ  
(ผู้ช่วยศาสตราจารย์ ดร. ขันทอง ศุนทรวาภา)

นางสาวกฤชยาพร ทินกร: ผลงานวิจัยโดรเจนเพอร์ออกไซด์ต่อการขจัดคาร์บอนมอนอกไซด์ใน  
กระแสเชื้อเพลิงของเซลล์เชื้อเพลิงพีเอ็ม (EFFECT OF HYDROGEN PEROXIDE ON CO  
REMOVAL IN FUEL STREAM OF PEM FUEL CELL) อาจารย์ที่ปรึกษา:ผู้ช่วยศาสตราจารย์  
ดร.สังข์พิพิธ พงศ์สถาบันดี 100 หน้า. ISBN 974-17-6565 -7.

เซลล์เชื้อเพลิงแบบเยื่อแผ่นแลกเปลี่ยนโปรดอนจะมีสมรรถนะลดลงอย่างเห็นได้ชัดเมื่อมี  
คาร์บอนมอนอกไซด์ปนมากับแก๊สเชื้อเพลิงแม้เพียงระดับพีพีเอ็ม งานวิจัยนี้ได้ศึกษาถึงการขจัด  
คาร์บอนมอนอกไซด์ออกจากแก๊สเชื้อเพลิงโดยใช้ไฮโดรเจนเพอร์ออกไซด์ ทำการทดลองใน Gas  
Reactor ซึ่งจำลองมาจากการให้ความชื้นทางขั้วแองโนดของเซลล์เชื้อเพลิง ส่วนของการทดลองแบ่ง  
ออกเป็น 4 ส่วน ส่วนแรกศึกษาปฏิกิริยาระหว่างคาร์บอนมอนอกไซด์ในไฮโดรเจนและไฮโดรเพอร์-  
ออกไซด์ วิเคราะห์แก๊สผลิตภัณฑ์ของปฏิกิริยาโดย FT-IR พบร่วมกันได้ของไฮด์ริดเพิ่มขึ้นเมื่อ  
เวลาผ่านไป ทำการทดลองเบรียบเทียบโดยใส่น้ำลงไปแทนไฮโดรเจนเพอร์ออกไซด์ พบร่วมกัน  
เพิ่มขึ้นของคาร์บอนไดออกไซด์ ส่วนที่สองศึกษาถึงภาวะที่สามารถลดปริมาณคาร์บอนมอนอกไซด์  
ในแก๊สเชื้อเพลิง วิเคราะห์แก๊สผลิตภัณฑ์โดยใช้แก๊สโครมาโทกราฟ พบร่วมกันที่สุดในการขจัด  
คาร์บอนมอนอกไซด์คือ ที่อุณหภูมิ 70 °C ไส้สแตนเลสลงไปในสารละลายไฮโดรเจนเพอร์ออกไซด์  
พร้อมกับการฉายแสง UV พบร่วมกัน % CO Conversion เฉลี่ยมากถึง 50% ในระยะเวลา ส่วนที่  
สามศึกษาผลของไฮโดรเจนเพอร์ออกไซด์ต่อตัวเร่งปฏิกิริยาที่ใช้ในเซลล์เชื้อเพลิง ทำการทดลอง  
เบรียบเทียบกับไม่ใช้ไฮโดรเจนเพอร์ออกไซด์ พบร่วมกันใช้ไฮโดรเจนเพอร์ออกไซด์ในการขจัด  
คาร์บอนมอนอกไซด์ ตัวเร่งปฏิกิริยาจะมีความทนทานต่อการขจัดมากกว่าไม่ใช้  
ไฮโดรเจนเพอร์ออกไซด์ถึง 7 เท่า และในส่วนสุดท้ายศึกษาผลของการลดคาร์บอนมอนอกไซด์โดย  
ใช้ไฮโดรเจนเพอร์ออกไซด์ต่อความหนาแน่นกระแสน้ำของเซลล์เชื้อเพลิงพบว่าความหนาแน่น  
กระแสน้ำลดลงอย่างเห็นได้ชัดเมื่อมีคาร์บอนมอนอกไซด์ปนมาในแก๊สเชื้อเพลิง แต่เมื่อใช้  
ไฮโดรเจนเพอร์ออกไซด์ในการขจัดคาร์บอนมอนอกไซด์พบว่าความหนาแน่นกระแสน้ำจะมีค่า  
ใกล้เคียงกับเซลล์เชื้อเพลิงที่ใช้ไฮโดรเจนบริสุทธิ์

ภาควิชา .....

สาขาวิชา .....

ปีการศึกษา .....

เคมีเทคนิค

เคมีเทคนิค

2547

รายมือชื่อนิสิต .....

รายมือชื่ออาจารย์ที่ปรึกษา.....

รายมือชื่ออาจารย์ที่ปรึกษาร่วม.....

## 4572637223: MAJOR CHEMICAL TECHNOLOGY

KEY WORD: PEM FUEL CELL/CO REMOVAL/HYDROGEN PEROXIDE

KHRITSAYAPORN THINNAKORN: EFFECTS OF HYDROGEN PEROXIDE ON CO REMOVAL IN FUEL STREAM OF PEM FUEL CELL. THESIS ADVISOR: ASSIST. PROF. SANGHOPTIP PONGSTABODEE, Ph.D.100 pp. ISBN 974-17-6565-7.

The performance of PEM fuel cell significantly dropped when only a few parts per million of CO containing in fuel stream. The objective of this work was to remove CO from fuel gas stream before delivering to anode electrode by using  $H_2O_2$ . The experiment was performed in a gas reactor which duplicated to anode humidifier unit. The experimental was divided into 4 parts. The reaction between CO and  $H_2O_2$  was studied in the first part. The results were analyzed by FT-IR. It was found that  $CO_2$  increased with time. The optimum condition for CO removal from fuel stream was next determined in the second part. The results were analyzed by GC. The highest conversion was found when both stainless steel and UV-C light were introduced into the gas reactor which contained  $H_2O_2$  solution at temperature 70 °C. The average CO conversion could attain at 50 % for long time. Effect of CO removal by using  $H_2O_2$  on a performance of anode catalyst was determined in the third part. When applying  $H_2O_2$  solution to the gas reactor CO tolerance of anode catalyst was greater as much as 7 times. A current density after CO removal from fuel gas stream by  $H_2O_2$  was considered in the last part. The results showed current density on impure  $H_2$  without applying  $H_2O_2$  dropped significantly. On the other hand, when applying  $H_2O_2$  to remove CO from the fuel stream the current density was approaching to that obtained from a case of pure  $H_2$  fuel gas stream.

Department Chemical Technology..... Student's signature.....

Field of study Chemical Technology..... Advisor's signature.....

Academic year ..... 2004 .....

## กิตติกรรมประกาศ

ขอกราบขอบพระคุณผู้ช่วยศาสตราจารย์ ดร. สงบทิพย์ พงศ์สถาบดี อาจารย์ที่ปรึกษา  
วิทยานิพนธ์ ที่ให้คำปรึกษาและให้กำลังใจตลอดระยะเวลาในการทำวิจัยงานวิจัยสำเร็จลุล่วง  
ไปด้วยดี และอาจารย์ ดร. อรภาณี เหลืองฤทธิ์ชัย ที่กรุณาให้คำปรึกษา และความช่วยเหลือใน  
การทำวิจัย ตลอดจนคณาจารย์ทุกท่านในภาควิชาเคมีเทคนิคที่ได้ให้ความรู้ และคำแนะนำใน  
งานวิจัย

ขอกราบขอบพระคุณศาสตราจารย์ ดร.ภัทรพรรณ ประสาสน์สารกิจ ประธานกรรมการ  
สอบวิทยานิพนธ์ รองศาสตราจารย์ ดร.ราพงษ์ วิทิตศานต์ และผู้ช่วยศาสตราจารย์ ดร.ขันทอง  
สุนทรภา กิจกรรมการสอบวิทยานิพนธ์ ที่กรุณาให้ความเห็น คำแนะนำ ในการจัดทำวิทยานิพนธ์ให้  
มีความสมบูรณ์

ขอขอบคุณศูนย์เทคโนโลยีโลหะและวัสดุแห่งชาติ (MTEC) ที่มอบทุนสนับสนุนงานวิจัย  
ขอขอบคุณเจ้าหน้าที่ภาควิชาเคมีเทคนิคทุกท่านที่ได้ให้ความช่วยเหลือและอำนวยความ  
สะดวกตลอดระยะเวลาในการทำวิจัย

สุดท้ายนี้ขอกราบขอบพระคุณบิดา-มารดา และทุกคนในครอบครัว ที่ให้ความช่วยเหลือ  
ทางด้านเงินทุน ตลอดระยะเวลาที่ศึกษา

# สารบัญ

	หน้า
บทคัดย่อภาษาไทย .....	๗
บทคัดย่อภาษาอังกฤษ .....	๘
กิตติกรรมประกาศ .....	๙
สารบัญ .....	๑๐
สารบัญตาราง .....	๑๓
สารบัญภาพ .....	๑๔
<b>บทที่ 1 บทนำ</b>	
1.1 ความสำคัญและความเป็นมา .....	1
1.2 จุดประสงค์ .....	5
1.3 ประโยชน์ที่คาดว่าจะได้รับ .....	5
1.4 วิธีการดำเนินงาน .....	5
<b>บทที่ 2 ทฤษฎีและงานวิจัยที่เกี่ยวข้อง</b>	
2.1 เซลล์เชื้อเพลิง .....	6
2.1.1 การทำงานของเซลล์เชื้อเพลิง .....	6
2.2 ประเภทของเซลล์เชื้อเพลิง .....	7
2.3 เซลล์เชื้อเพลิงแบบเยื่อแผ่นแลกเปลี่ยนprotocon .....	10
2.4 ส่วนประกอบของเซลล์เชื้อเพลิงแบบเยื่อแผ่นแลกเปลี่ยนprotocon .....	11
2.4.1 ชั้นไฟฟ้า .....	11
2.4.2 อิเล็กโทรไลต์ .....	12
2.4.3 แผ่นสมมาร์ต .....	12
2.5 เชื้อเพลิงที่ใช้สำหรับเซลล์เชื้อเพลิงแบบเยื่อแผ่นแลกเปลี่ยนprotocon .....	14
2.5.1 การผลิตไอก็อโรเจนจากน้ำ .....	14
2.5.2 การผลิตไอก็อโรเจนจากไอก็อโรคาร์บอน .....	15

## สารบัญ (ต่อ)

	หน้า
2.6 การเก็บໄایໂຄຣເຈນໃນເໜລດ්ເຫື້ອເພີໍງ .....	15
2.6.1 การເກັບໄایໂຄຣເຈນໂດຍການປັບອັດ .....	16
2.6.2 การເກັບໃນຮູບໄایໂຄຣເຈນແລວ .....	16
2.6.3 ການເກັບໂດຍກາສ່ວັງພັນຂະຂອງໄයໂຄຣເຈນ .....	16
2.6.4 ການເກັບໄයໂຄຣເຈນໂດຍກາດຸດໜັບດ້ວຍຄາວົບອນ .....	17
2.6.5 ການດຸດໜັບດ້ວຍນາໂນໄຟເບອຣ .....	17
2.6.6 ໄයໂຄຣເຈນໃນຮູບໄයໂຄຣຄາວົບອນ .....	17
2.7 ພຸລຂອງຄາວົບອນມອນອກໄຊදໍຕ່ອງເໜລດ්ເຫື້ອເພີໍງ .....	17
2.8 ວິທີກາງໃນກາງຂ່າດຄາວົບອນມອນອກໄຊດໍອອກຈາກແກ້ສເຫື້ອເພີໍງ .....	18
2.8.1 ປົກລົງຢາວອເຕອຣີແກ້ສົມືົມ .....	18
2.8.2 ປົກລົງຢາເລືອກເກີດເປັນມືຖນ .....	19
2.8.3 ປົກລົງຢາກາງເລືອກເກີດອອກຫີເດັ່ນຂອງຄາວົບອນມອນອກໄຊດໍ .....	19
2.8.4 ກາງຂ່າດຄາວົບອນມອນອກໄຊດໍໂດຍໃໝ່ໄයໂຄຣເຈນເພອງອອກໄຊດໍ .....	20
2.9 ຈາກວິຈີຍທີ່ເກີ່ວຂ້ອງ .....	21
2.10 ຄວາມສ້າມພັນຮັກບັນຈາກວິຈີຍທີ່ທໍາກາວສຶກໝາ .....	24
<b>ບທທີ່ 3 ວິທີກາງທດລອງ</b>	
3.1 ສາຮເຄມີແລະອຸປກຮອນທີ່ໃໝ່ໃນກາງວິຈີຍ .....	26
3.1.1 ແກ້ສ .....	26
3.1.2 ສາຮເຄມີ .....	26
3.1.3 ອຸປກຮອນ .....	26
3.2 ເຄື່ອງນື້ອວິເຄວາຮ້ .....	27
3.2.1 ພົມເອງທວານສົມບົນພາເຮດສະເປັກໂທຣມີເຕອຣ .....	27

## สารบัญ (ต่อ)

	หน้า
3.2.2 แก๊สโคลามาไทกราฟ.....	28
3.2.3 ระบบควบคุมแก๊ส.....	29
3.2.4 Gas Reactor.....	29
3.2.5 U-Tube Reactor.....	31
3.2.6 ชุดทดลองเชลล์เชือเพลิง.....	32
3.3 กระบวนการทดลอง.....	33
3.3.1 การทดลองในส่วนที่ 1 .....	35
3.3.2 การทดลองในส่วนที่ 2.....	37
3.3.2.1 ผลของความเข้มข้นของไฮโดรเจนเพอร์ออกไซด์....	38
3.3.2.2 ผลของอุณหภูมิต่อปฏิกิริยา.....	40
3.3.2.3 ผลของตัวเร่งปฏิกิริยาโลหะ.....	41
3.3.2.4 ผลของการใช้แสง UV-C.....	41
3.3.2.5 ผลของเพอร์เซียออกอน.....	42
3.3.3 การทดลองในส่วนที่ 3 .....	44
3.3.4 การทดลองในส่วนที่ 4 .....	45
3.3.4.1 การเตรียม MEA.....	45
3.3.4.2 การทดสอบความหนาแน่นกระแส.....	46
3.5 การคำนวณ.....	47
<b>บทที่ 4 ผลการทดลองและวิจารณ์ผล</b>	
4.1 ส่วนที่ 1 : ศึกษาปฏิกิริยาระหว่างคาร์บอนมอนอกไซด์ และ <sup>๑</sup> ไฮโดรเจนเพอร์ออกไซด์.....	48
4.2 ส่วนที่ 2 : ศึกษาภาวะที่ดีที่สุดในการขัดคาร์บอนมอนอกไซด์โดยใช้ <sup>๑</sup> ไฮโดรเจนเพอร์ออกไซด์.....	51
4.2.1 ผลของความเข้มข้นของไฮโดรเจนเพอร์ออกไซด์ .....	51

## สารบัญ (ต่อ)

	หน้า
4.2.2 ผลของอุณหภูมิต่อปฏิกิริยา.....	54
4.2.3 ผลของตัวเร่งปฏิกิริยาโลหะ.....	55
4.2.4 ผลของการใช้แสง UV-C.....	59
4.2.5 ผลของเฟอร์รัสไอโอดอน.....	62
4.3 ส่วนที่ 3 : ศึกษาผลของการจัดการบ่อนมอนอกไซด์โดยใช้ ไฮโดรเจนเพอร์ออกไซด์ ต่อสมรรถนะของตัวเร่งปฏิกิริยาที่ใช้ในเซลล์ไฮโดรเจน.....	66
4.4 ส่วนที่ 4 : ศึกษาผลของการจัดการบ่อนมอนอกไซด์โดยใช้ ไฮโดรเจนเพอร์ออกไซด์ต่อค่าความหนาแน่นกระแสน้ำ.....	69
<b>บทที่ 5 สรุปผลการทดลอง.....</b>	<b>72</b>
5.1 สรุปผลการศึกษา .....	72
5.2 ข้อเสนอแนะ .....	73
รายการอ้างอิง.....	75
ภาคผนวก .....	77
ภาคผนวก ก.....	78
ภาคผนวก ข.....	83
ภาคผนวก ค.....	87
ภาคผนวก ง.....	91
ประวัติผู้เขียนวิทยานิพนธ์.....	100

## สารบัญตาราง

	หน้า
ตาราง 2.1 ประเภทของเซลล์เชื้อเพลิงแบ่งตามชนิดของสารอิเล็กโทรไลต์ที่ใช้ในเซลล์เชื้อเพลิงแต่ละชนิด.....	8
ตาราง 2.2 ระบบการทำงานของเซลล์เชื้อเพลิงแสดงปฏิกิริยาที่เกิดขึ้นที่ขั้วแอนoden ขั้วแคโนด และไอโอดินที่แพร่ผ่านจากขั้วแอนoden ไปยังแคโนด.....	9
ตาราง 2.3 ตัวเร่งปฏิกิริยาทางเคมีไฟฟ้าของเซลล์เชื้อเพลิงชนิดต่าง ๆ.....	9
ตาราง 2.4 ค่า Oxidation Potential ของสารแต่ละชนิด.....	21

## สารบัญภาพ

	หน้า	
<b>รูปที่ 2.1</b>	หลักการทำงานของเซลล์เชื้อเพลิงแบบเยื่อแผ่นแลกเปลี่ยนprotoon.....	11
<b>รูปที่ 2.2</b>	หอยเซลล์เชื้อเพลิง.....	13
<b>รูปที่ 2.3</b>	ผลของการบอนมอนออกไซด์ต่อสมรรถนะการทำงานของเซลล์เชื้อเพลิง....	18
<b>รูปที่ 3.1</b>	แก๊สเซลล์ของเครื่อง FT-IR.....	27
<b>รูปที่ 3.2</b>	ระบบการวิเคราะห์แก๊ส.....	28
<b>รูปที่ 3.3</b>	Gas Reactor.....	30
<b>รูปที่ 3.4</b>	หลอด UV.....	31
<b>รูปที่ 3.5</b>	U-Tube Reactor.....	32
<b>รูปที่ 3.6</b>	แผนผังการทำงาน.....	34
<b>รูปที่ 3.7</b>	การวิเคราะห์โดยใช้ FT-IR.....	35
<b>รูปที่ 3.8</b>	ขั้นตอนการวิเคราะห์โดย FT-IR.....	37
<b>รูปที่ 3.9</b>	แผนผังการทำงานของ การวิเคราะห์โดยใช้แก๊สคุณาติกраф.....	38
<b>รูปที่ 3.10</b>	ขั้นตอนการวิเคราะห์โดยแก๊สคุณาติกраф.....	40
<b>รูปที่ 3.11</b>	แผนผังการทำงานของหน่วยทดสอบเซลล์เชื้อเพลิงแบบเยื่อแผ่น แลกเปลี่ยนprotoon.....	47
<b>รูปที่ 4.1</b>	FT-IR สเปกตรัมของแก๊สผลิตภัณฑ์ที่เกิดจากปฏิกิริยาระหว่าง คาร์บอนมอนออกไซด์ 500 พีพีเอ็ม ในไอกอโรเจนและไออกไซด์ 30 %w/v ที่เวลาต่างๆ.....	49
<b>รูปที่ 4.2</b>	FT-IR สเปกตรัมของแก๊สผลิตภัณฑ์ที่เกิดจากปฏิกิริยาระหว่าง คาร์บอนมอนออกไซด์ 500 พีพีเอ็ม ในไอกอโรเจนและน้ำ ที่เวลาต่างๆ.....	49
<b>รูปที่ 4.3</b>	%CO conversion เมื่อไอกอโรเจนเพอร์ออกไซด์ความเข้มข้นต่างๆทำ ปฏิกิริยากับคาร์บอนมอนออกไซด์ 500 พีพีเอ็ม ที่อุณหภูมิ 30 °C.....	52
<b>รูปที่ 4.4</b>	ค่าเฉลี่ยของ %CO conversion เมื่อไอกอโรเจนเพอร์ออกไซด์ความเข้มข้น ต่างๆทำปฏิกิริยากับคาร์บอนมอนออกไซด์ 500 พีพีเอ็ม ที่อุณหภูมิ 30°C...	53

## สารบัญภาพ (ต่อ)

	หน้า	
<b>รูปที่ 4.5</b>	%CO conversion เมื่อไออกไซด์ 5% ทำปฏิกิริยากับ คาร์บอนมอนอกไซด์ 500 พีพีเอ็ม ที่อุณหภูมิต่างๆ.....	54
<b>รูปที่ 4.6</b>	ค่าเฉลี่ยของ %CO conversion เมื่อไออกไซด์ 5% ทำ ปฏิกิริยากับคาร์บอนมอนอกไซด์ 500 พีพีเอ็ม ที่อุณหภูมิต่างๆ.....	55
<b>รูปที่ 4.7</b>	%CO conversion เมื่อไออกไซด์ 5% ทำปฏิกิริยากับ คาร์บอนมอนอกไซด์ 500 พีพีเอ็ม มีสแตนเลสเป็นตัวเร่งปฏิกิริยา ที่ อุณหภูมิต่างๆ.....	56
<b>รูปที่ 4.8</b>	ค่าเฉลี่ยของ %CO conversion เมื่อไออกไซด์ 5% ทำ ปฏิกิริยากับคาร์บอนมอนอกไซด์ 500 พีพีเอ็ม มีสแตนเลสเป็นตัวเร่ง ปฏิกิริยาที่อุณหภูมิต่างๆ.....	57
<b>รูปที่ 4.9</b>	%CO conversion เมื่อไออกไซด์ 5% ทำปฏิกิริยากับ คาร์บอนมอนอกไซด์ 500 พีพีเอ็ม ที่อุณหภูมิ 70 °C.....	57
<b>รูปที่ 4.10</b>	%CO conversion เมื่อไออกไซด์ 5% ทำปฏิกิริยากับ คาร์บอนมอนอกไซด์ 500 พีพีเอ็ม เมื่อมี UV-C เป็นตัวเร่งปฏิกิริยา ที่ อุณหภูมิต่างๆ.....	59
<b>รูปที่ 4.11</b>	%CO conversion เมื่อไออกไซด์ 5% ทำปฏิกิริยากับ คาร์บอนมอนอกไซด์ 500 พีพีเอ็ม ที่อุณหภูมิ 70 °C.....	60
<b>รูปที่ 4.12</b>	%CO conversion เมื่อไออกไซด์ 5% ทำปฏิกิริยากับ คาร์บอนมอนอกไซด์ 500 พีพีเอ็ม ที่อุณหภูมิ 70 °C.....	61
<b>รูปที่ 4.13</b>	ค่าเฉลี่ยของ %CO conversion เมื่อไออกไซด์ 5% ทำ ปฏิกิริยากับคาร์บอนมอนอกไซด์ 500 พีพีเอ็ม ที่อุณหภูมิ 70 °C.....	62
<b>รูปที่ 4.14</b>	%CO conversion เมื่อไออกไซด์ 5% ทำปฏิกิริยากับ คาร์บอนมอนอกไซด์ 500 พีพีเอ็ม ที่อุณหภูมิ 30 °C; มวลของ $\text{Fe}^{2+}$ < มวล ของ $\text{H}_2\text{O}_2 = 100$ เท่า.....	63

## สารบัญภาพ (ต่อ)

	หน้า	
<b>รูปที่ 4.15</b>	%CO conversion เมื่อไนโตรเจนเพอร์ออกไซด์ 5% ทำปฏิกิริยา กับ คาร์บอนมอนอกไซด์ 500 พีพีเอ็มที่อุณหภูมิ 30 °C.....	65
<b>รูปที่ 4.16</b>	คาร์บอนมอนอกไซด์ที่ออกจาก U-Tube Reactor ที่เวลาใดๆ เมื่อใช้ตัวเร่ง ปฏิกิริยาสำหรับข้าวแอลูโนดต่างชนิดกัน.....	67
<b>รูปที่ 4.17</b>	คาร์บอนมอนอกไซด์ที่ออกจาก U-Tube Reactor ที่เวลาใดๆ เมื่อใช้ตัวเร่ง ปฏิกิริยาสำหรับข้าวแอลูโนดต่างชนิดกัน.....	68
<b>รูปที่ 4.18</b>	กราฟความสัมพันธ์ระหว่างความต่างศักย์และความหนาแน่นกระแสงเมื่อ <sup>ใช้แก๊สไฮdroเจลิงชนิดต่างๆ.....</sup>	70

## บทที่ 1

### บทนำ

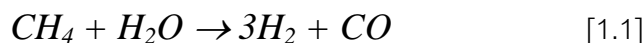
#### 1.1 ความสำคัญและความเป็นมา

เนื่องจากในปัจจุบันมีการพัฒนาทางเทคโนโลยีอย่างมากมายเพื่อตอบสนองความต้องการของมนุษย์ในทุกๆ ด้าน โดยเฉพาะอย่างยิ่งเทคโนโลยีทางด้านอุตสาหกรรม ทำให้มีความต้องการใช้พลังงานมากขึ้นเรื่อยๆ ดังนั้นปัญหาที่ตามมา คือ ปัญหาการขาดแคลนพลังงาน โดยพลังงานที่ใช้อยู่ในปัจจุบันส่วนใหญ่จะเป็นพลังงานจากธรรมชาติ เช่น พลังงานจากถ่านหิน น้ำมัน และแก๊สธรรมชาติ เป็นต้น พลังงานเหล่านี้ได้ถูกนำมาใช้จึงทำให้มีปริมาณลดลงเรื่อยๆ และมีแนวโน้มที่จะหมดไปในอนาคตอันใกล้นี้ นอกจากนี้ผลจากการนำพลังงานจากธรรมชาติเหล่านี้มาใช้ยังก่อให้เกิดปัญหาสิ่งแวดล้อมตามมา ปัญหาสิ่งแวดล้อมที่เกิดจากการเผาไหม้เชื้อเพลิง ทำให้เกิดมลพิษขึ้น ไม่ว่าจะเป็นมลพิษทางอากาศ มลพิษทางเสียง หรือเกิดภัยของเสียที่ได้จากการกระบวนการเผาไหม้เชื้อเพลิง ซึ่งปัญหาทางด้านสิ่งแวดล้อมเป็นปัญหาที่สำคัญอย่างมากในปัจจุบัน ในปัจจุบันทั่วโลกได้มีความตื่นตัวทางด้านพลังงานและสิ่งแวดล้อมกันอย่างมาก มีการศึกษาค้นคว้าแหล่งพลังงานทดแทนแหล่งใหม่เพื่อมาทดแทนแหล่งพลังงานแบบเก่าที่กำลังจะหมดไปในอนาคตอันใกล้นี้ การแก้ปัญหาการขาดแคลนพลังงานอีกด้วยนึง คือ การวางแผนใช้พลังงานที่เหลืออยู่อย่างประยุกต์ เพื่อให้เกิดประโยชน์สูงสุด กระตุ้นให้มนุษย์มีความตื่นตัวต่อปัญหาการขาดแคลนพลังงาน และปัญหาสิ่งแวดล้อมที่กำลังทวีความรุนแรงขึ้นอย่างมากในปัจจุบัน หรือการหาแหล่งพลังงานทดแทนแหล่งใหม่ที่มีประสิทธิภาพใกล้เคียงหรือดีกว่าแหล่งพลังงานเดิม เชลล์เชื้อเพลิง (Fuel Cell) เป็นแหล่งพลังงานแบบใหม่ที่น่าสนใจและมีการศึกษาค้นคว้ากันอย่างมากในหลายประเทศ

เชลล์เชื้อเพลิง เป็นคุปกรรณ์หรือเครื่องมือที่ถูกใช้เพื่อผลิตกระแสไฟฟ้า โดยไม่ต้องผ่านกระบวนการเผาไหม้เชื้อเพลิง สิ่งที่ปล่อยออกมายากจากเชลล์เชื้อเพลิงมีเพียงน้ำและความร้อนเท่านั้น กระบวนการในการผลิตพลังงานของเชลล์เชื้อเพลิงจึงไม่ก่อให้เกิดปัญหาทางด้านสิ่งแวดล้อมตามมา โดยเชลล์เชื้อเพลิงจะเป็นแหล่งพลังงานในอนาคตที่จะมีบทบาทสำคัญ เนื่องจากเชลล์เชื้อเพลิงเป็นแหล่งพลังงานที่ให้ประสิทธิภาพสูงเมื่อเทียบกับแหล่งพลังที่ได้จากการเผาไหม้เชื้อเพลิงจากธรรมชาติ พลังงานที่ได้จากเชลล์เชื้อเพลิงเกิดจากพลังงานเคมี ไม่ได้เกิดจากการเผาไหม้เหมือนกับเชลล์เชื้อเพลิงที่ใช้อยู่ในปัจจุบัน ลักษณะการทำงานของเชลล์เชื้อเพลิงจะมีความคล้ายคลึงกับการทำงานของแบตเตอรี่ (battery) ทำให้ได้กระแสไฟฟ้าและความร้อนออกมายโดยปราศจากการเผาไหม้ นอกจากนี้เชลล์เชื้อเพลิงสามารถผลิตเป็นหน่วยเล็กๆ ได้เหนือนอกกับ

แบบเตอร์ และนำมาต่อกันได้ในกรณีที่ต้องการเพิ่มกำลังการผลิตกระแสไฟฟ้า ข้อแตกต่างระหว่าง เชลล์เชื้อเพลิงกับแบบเตอร์ คือ เชลล์เชื้อเพลิงสามารถผลิตพลังงานได้อย่างต่อเนื่อง ทราบที่มีการ ป้อนเชื้อเพลิงให้กับเชลล์เชื้อเพลิง ดังนั้น เชลล์เชื้อเพลิงจึงเป็นแหล่งพลังงานที่ให้ประสิทธิภาพสูง เมื่อเทียบกับแหล่งพลังงานแบบเดิม นอกจากนี้การทำงานของเชลล์เชื้อเพลิงยังไม่ก่อให้เกิดเสียง ดังรบกวน เนื่องจากในการทำงานของเชลล์เชื้อเพลิงไม่มีอุปกรณ์ใดที่เคลื่อนที่

เชลล์เชื้อเพลิงในปัจจุบันแบ่งออกได้เป็น 6 ชนิด แต่ละชนิดจะมีลักษณะการทำงานที่เป็น เอกลักษณ์ หนึ่งในนั้นคือ เชลล์เชื้อเพลิงแบบเยื่อแผ่นแลกเปลี่ยนโปรดอนที่กำลังได้รับความสนใจ อย่างมากในปัจจุบัน เนื่องจาก เชลล์เชื้อเพลิงชนิดนี้สามารถทำงานได้ที่อุณหภูมิและความดันต่ำ นำหน้ากับส่วนประกอบของเชลล์ไม่ต้องมีขนาดเล็กเหมือนสำหรับเป็นแหล่งพลังงาน จึงมีการ ใช้งานกันอย่างแพร่หลายทั่วในอุปกรณ์ที่เคลื่อนที่ และ อุปกรณ์ที่อยู่กับที่ เชื้อเพลิงที่ใช้สำหรับ เชลล์เชื้อเพลิงคือไฮโดรเจน โดยทั่วไปแล้วเราจะสามารถมุติได้ว่า เชลล์เชื้อเพลิงใช้แก๊สเชื้อเพลิงที่ บริสุทธิ์เป็นแก๊สเชื้อเพลิง และอากาศเป็นแก๊สออกซิเดนซ์ ในระบบการทำงานเล็กๆ ข้อมุตินี้ ก็ได้ แต่อย่างไรก็ตามในระบบการทำงานที่ใหญ่ขึ้น แก๊สเชื้อเพลิงที่ใช้ใน เชลล์เชื้อเพลิงจะมา จากกระบวนการรีฟอร์มมิ่งของเชื้อเพลิงฟอสซิล โดยในกระบวนการรีฟอร์มมิ่งมักจะมี คาร์บอนมอนอกไซด์ปนมากอยู่ด้วยเสมอ เช่น ปฏิกริยาระหว่างมีเทนและไอน้ำ แสดงดังสมการ



สำหรับ เชลล์เชื้อเพลิงบางชนิดที่ทำงานที่อุณหภูมิสูงจะใช้คาร์บอนมอนอกไซด์เป็นแก๊ส เชื้อเพลิง เช่น เชลล์เชื้อเพลิงแบบคาร์บอนตหลอม แต่สำหรับ เชลล์เชื้อเพลิงที่ใช้แพลทินัมเป็น ตัวเร่งปฏิกริยานั้นไม่สามารถทำได้ เนื่องจากหากมีคาร์บอนมอนอกไซด์แม้เพียงปริมาณเล็กน้อย ปนมากับแก๊สเชื้อเพลิงจะมีผลอย่างมากกับตัวเร่งปฏิกริยาสำหรับขั้วแอดโนด โดยถ้า เชลล์เชื้อเพลิง ใช้ไฮโดรเจนที่มาจากกระบวนการรีฟอร์มมิ่ง คาร์บอนมอนอกไซด์จะต้องถูกทำปฏิกริยากับไอน้ำ ก่อนเพื่อลดปริมาณคาร์บอนมอนอกไซด์ให้อยู่ในระดับที่ เชลล์ทนได้ปฏิกริยาดังสมการ 1.2



ปฏิกิริยานี้เรียกว่าอเตอร์แก๊สซิฟต์ซึ่งการขัดคาร์บอนมอนอกไซด์โดยวิธีนี้ คาร์บอนมอนอกไซด์ไม่สามารถเกิดปฏิกิริยาได้อย่างสมบูรณ์ จะต้องมีคาร์บอนมอนอกไซด์ ปริมาณหนึ่งเหลืออยู่เสมอ ซึ่งจะเป็นพิษกับการทำงานของเซลล์เชื้อเพลิง โดยการบ่อนมอนอกไซด์ จะไปจับอย่างแข็งแรงบนผิวแพลทินัม (Pt) ซึ่งเป็นตัวเว่งตัวเร่งปฏิกิริยาสำหรับข้าวแอลูโนด ทำให้ไฮโดรเจนซึ่งเป็นแก๊สเชื้อเพลิงไม่สามารถเข้าไปทำปฏิกิริยาออกซิเดชันได้ ในระบบการผลิต เชื้อเพลิงไฮโดรเจนจากเมทานอลโดยผ่านกระบวนการรีฟอร์มมิงด้วยไนโตรเจนได้แก๊สในสัดส่วน ต่างๆ กัน (45-75 Vol. % H<sub>2</sub>, 15-25 Vol. % CO<sub>2</sub> และ 0.5-1 Vol. % CO) (Sedmak et al., 2002) ได้มีการศึกษาค้นคว้าถึงวิธีการขัดคาร์บอนมอนอกไซด์ที่ปั่นมากับแก๊สเชื้อเพลิงหลายวิธี เพื่อ ปรับปรุงสมรรถนะการทำงานของเซลล์เชื้อเพลิงให้เพิ่มขึ้น โดยการบ่อนมอนอกไซด์สามารถลด ปริมาณลงให้เหลือน้อยกว่า 1000 ไมโครกรัม/g โดยใช้ตัวเร่งปฏิกิริยาในการขัดคาร์บอนมอนอกไซด์ไปเป็นแก๊ส คาร์บอนไดออกไซด์ โดยใช้ปฏิกิริยาการเลือกเกิด CO ออกซิเดชันโดยวิธีการนี้พบว่าสามารถลด ปริมาณคาร์บอนมอนอกไซด์ให้อยู่ในระดับที่น้อยกว่า 1000 พีพีเอ็ม โดยในปัจจุบันพบปฏิกิริยา การเลือกเกิด CO ออกซิเดชันสามารถลดปริมาณคาร์บอนมอนอกไซด์ถึง 10 พีพีเอ็ม (Kaewjai, 2001)

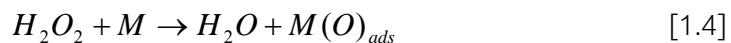
วิธีการปรับปรุงสมรรถนะของเซลล์เชื้อเพลิงจากคาร์บอนมอนอกไซด์อีกวิธีการหนึ่งคือ การศึกษาตัวเร่งปฏิกิริยาสำหรับข้าวแอลูโนดที่มีความทนทานคาร์บอนมอนอกไซด์ที่ปั่นมากับแก๊ส เชื้อเพลิง พบว่าตัวเร่งปฏิกิริยาที่เป็นโลหะสมรรถะห่วงแพลทินัมและ ruthenium สามารถปรับปรุง สมรรถนะของเซลล์เชื้อเพลิงให้มีความทนทานคาร์บอนมอนอกไซด์ได้ถึง 250 พีพีเอ็ม แต่วิธีการ นี้พบว่าไม่สามารถให้ค่าความหนาแน่นกระแสงได้เท่ากับเซลล์เชื้อเพลิงที่ใช้ไฮโดรเจนบริสุทธิ์ได้ และยังมีการศึกษาถึงความทนทานในระยะยาวของตัวเร่งปฏิกิริยาอีกด้วย (Schmidt et al., 1997)

การขัดคาร์บอนมอนอกไซด์โดยการฉีดออกซิเจนหรืออากาศปนไปกับแก๊สเชื้อเพลิง เพื่อ ทำปฏิกิริยากับคาร์บอนมอนอกไซด์ที่ถูกดูดซับอยู่บนผิวของตัวเร่งปฏิกิริยา เกิดเป็น คาร์บอนไดออกไซด์ที่อุดหนาภูมิการทำงานของเซลล์เชื้อเพลิงเป็นอีกวิธีการหนึ่งที่น่าสนใจ โดย ออกซิเจนที่ฉีดเข้าไปจะไปรวมกับไฮโดรเจนเกิดเป็น OH ที่ผิวน้ำของตัวเร่งปฏิกิริยา และทำ ปฏิกิริยากับคาร์บอนมอนอกไซด์ที่ถูกดูดซับอีกที (Chunzhi et al., 2001) อย่างไรก็ตามพบว่าใน การขัดคาร์บอนมอนอกไซด์ 100 พีพีเอ็ม ที่ปั่นมากับไฮโดรเจนจะต้องใช้ออกซิเจนฉีดเข้าไปมาก เกินพอถึง 4.5 %vol จึงจะสามารถทำปฏิกิริยากับคาร์บอนมอนอกไซด์ได้หมด แต่ออกซิเจนที่เหลือ จะไปทำปฏิกิริยากับไฮโดรเจนซึ่งเป็นแก๊สเชื้อเพลิงแทนเกิดเป็นน้ำ ทำให้สูญเสียไฮโดรเจนซึ่งเป็น แก๊สเชื้อเพลิงจากปฏิกิริยานี้ (Schmidt et al., 2001)

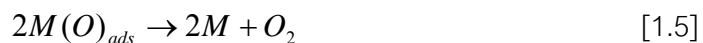
อีกวิธีที่คล้ายคลึงกับวิธีข้างต้นในการขัดควร์บอนมอนอกไชด์ที่ปูนมากับแก๊สเชื้อเพลิงคือ การใช้สารที่มีออกซิเจนเป็นส่วนประกอบ สามารถถลายตัวและเกิดเป็นออกซิเจนได้ที่ภาวะการทำงานของเซลล์เชื้อเพลิง โดยไฮโดรเจนเพอร์ออกไซด์สามารถทำปฏิกิริยากับคาร์บอนมอนอกไชด์ในระบบการทำงานของเซลล์เชื้อเพลิง สมการการถลายตัวของไฮโดรเจนเพอร์ออกไซด์ในระบบแก๊สเชื้อเพลิงเขียนได้ดังสมการต่อไปนี้ (Schmidt et al., 1997) ปฏิกิริยารวมแสดงดังสมการ



ในขั้นแรกไฮโดรเจนเพอร์ออกไซด์แตกตัวสอดคล้องดังสมการ



เมื่อ M เขียนแทนตำแหน่งดูดซับบนผิวของโลหะ โดยปฏิกิริยainขั้นที่สองจะทำให้เกิดออกซิเจน



จากที่กล่าวมาแล้วข้างต้น จึงเป็นเหตุจุใจให้สนใจศึกษาการขัดควร์บอนมอนอกไชด์ในแก๊สเชื้อเพลิงโดยใช้ไฮโดรเจนเพอร์ออกไซด์ โดยควร์บอนมอนอกไชด์จะถูกขัดออกก่อนที่จะถูกป้อนไปยังเซลล์เชื้อเพลิง วิธีการนี้จะป้องกันแพลทินัมซึ่งเป็นตัวเร่งปฏิกิริยาไฟฟ้าของขั้วแอลโอนด์ จากการเป็นพิษของการบอนมอนอกไชด์โดยหลังจากที่ควร์บอนมอนอกไชด์ถูกขัดในระยะแรกของแก๊สเชื้อเพลิงแล้ว แก๊สเชื้อเพลิงที่มีความบริสุทธิ์มากขึ้นก็จะถูกป้อนไปยังขั้วแอลโอนด์ของเซลล์เชื้อเพลิง จะช่วยปรับปรุงสมรรถนะการทำงานของเซลล์เชื้อเพลิงให้เพิ่มขึ้น ข้อดีของการขัดควร์บอนมอนอกไชด์โดยใช้ไฮโดรเจนเพอร์ออกไซด์คือ ปฏิกิริยาที่เกิดขึ้นเป็นปฏิกิริยาที่สะอาดไม่ก่อให้เกิดปัญหาต่อระบบการทำงานของเซลล์เชื้อเพลิง เนื่องจากแก๊สที่เกิดจากการถลายน้ำของออกซิเจนเท่านั้น ในงานวิจัยนี้จึงสนใจศึกษาหาภาวะที่ดีที่สุดที่สามารถขัดควร์บอนมอนอกไชด์ออกจากแก๊สเชื้อเพลิงได้ และศึกษาต่อไปถึงว่ามีผลต่อสมรรถนะการทำงานของเซลล์เชื้อเพลิงว่าเป็นอย่างไรบ้าง เมื่อควร์บอนมอนอกไชด์ถูกขัดออกไปโดยใช้ไฮโดรเจนเพอร์ออกไซด์

## 1.2 จุดประสงค์

1. ศึกษาการลดปริมาณคาร์บอนมอนอกไซด์ในแก๊สเชื้อเพลิงของเซลล์เชื้อเพลิงแบบเยื่อแผ่นแลกเปลี่ยนprotoonโดยใช้ไฮโดรเจนเพอร์ออกไซด์
2. หาภาวะที่ดีที่สุดในการลดcarbonmonoxideจากแก๊สเชื้อเพลิง
3. ศึกษาผลกระทบต่อการนำไฮโดรเจนเพอร์ออกไซด์มาใช้งานจริงในเซลล์เชื้อเพลิงแบบเยื่อแผ่นแลกเปลี่ยนprotoon

## 1.3 ประโยชน์ที่คาดว่าจะได้รับ

1. ลดปริมาณcarbonmonoxideในแก๊สเชื้อเพลิง เพื่อให้เซลล์เชื้อเพลิงแบบเยื่อแผ่นแลกเปลี่ยนprotoonมีประสิทธิภาพเพิ่มขึ้น
2. สามารถนำไปใช้งานกับระบบการทำงานของเซลล์เชื้อเพลิงแบบเยื่อแผ่นแลกเปลี่ยนprotoon

## 1.4 วิธีการดำเนินงาน

1. ค้นคว้าทฤษฎีและงานวิจัยที่เกี่ยวข้องในเรื่องเซลล์เชื้อเพลิงแบบเยื่อแผ่นแลกเปลี่ยนprotoon
2. ศึกษาสมบัติและชนิดของตัวเร่งปฏิกิริยาที่นำมาใช้ในเซลล์เชื้อเพลิงแบบเยื่อแผ่นแลกเปลี่ยนprotoonรวมถึงกลไกการเกิดปฏิกิริยาที่เกี่ยวข้อง
3. ออกแบบและสร้างเครื่องมือพื้นฐานของการทดลองตามตัวแปรที่ใช้ในการศึกษา
4. เริ่มทำการทดลองโดยศึกษาถึงปัจจัยที่มีผลต่อการลดปริมาณcarbonmonoxideในกระแสเชื้อเพลิงของเซลล์เชื้อเพลิงแบบเยื่อแผ่นแลกเปลี่ยนprotoonโดยใช้ไฮโดรเจนเพอร์ออกไซด์ซึ่งประกอบด้วย
  - ความเข้มข้นของไฮโดรเจนเพอร์ออกไซด์
  - คุณภาพมิที่เกิดปฏิกิริยา
  - ตัวเร่งปฏิกิริยาโลหะ
  - แสง UV
  - สารละลายเหล็ก (เฟอร์วัสด์ไอโอดอน)
5. วิเคราะห์และสรุปผลการทดลอง
6. เจียนวิทยานิพนธ์

## บทที่ 2

### ทฤษฎี และงานวิจัยที่เกี่ยวข้อง

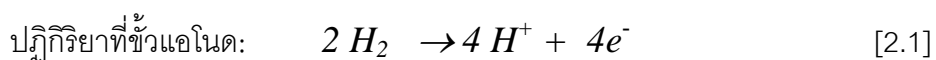
#### 2.1 เชลล์เชือเพลิง

เชลล์เชือเพลิงคือ เครื่องมือหรืออุปกรณ์ที่เปลี่ยนพลังงานที่เก็บอยู่ในรูปเชือเพลิงเคมีไปเป็นกระแสไฟฟ้าและความร้อน โดยเกิดจากการรวมกันระหว่างปฏิกิริยาเคมีและการถ่ายโอนประจุไฟฟ้าที่เกิดขึ้นภายในเชลล์เชือเพลิง เชือเพลิงจะถูกป้อนเข้าสู่เชลล์เชือเพลิงอย่างต่อเนื่อง กระบวนการนี้จะให้กระแสไฟฟ้า น้ำ และความร้อนออกมานำเสนอต่อเวลา โดยพลังงานที่ได้จากเชลล์เชือเพลิงจะเป็นสัดส่วนกับอัตราของเชือเพลิงที่ป้อนให้กับเชลล์เชือเพลิง ซึ่งจะถูกจำกัดโดยขนาดของเชลล์เชือเพลิงอีกที

##### 2.1.1 การทำงานของเชลล์เชือเพลิง

เชลล์เชือเพลิงประกอบด้วยขั้วไฟฟ้าที่มีความพุ่น 2 ขั้ว คือขั้วแอดโนด (Anode) และขั้วแคโทด (Cathode) วางประจุกันโดยตรงกลางของขั้วทั้งสองจะเป็นสารอิเล็กโทรไลต์ (Electrolyte) ซึ่งเป็นพอลิเมอร์ของแข็งทำหน้าที่ในการแลกเปลี่ยนprotoนจากแอดโนดไปยังแคโทด ส่วนประกอบของเชลล์เชือเพลิงแสดงดังรูปที่ 2.1 โดยไฮโดรเจนซึ่งเป็นแก๊สเชือเพลิงถูกป้อนเข้าทางด้านแอดโนด ออกซิเจนเป็นแก๊สออกซิเดนท์ (Oxidant) ถูกป้อนเข้าทางด้านแคโทด เมื่อไฮโดรเจนถูกป้อนเข้าทางด้านแอดโนดเจอกับแพลทินัมซึ่งเป็นตัวเร่งปฏิกิริยาสำหรับขั้วแอดโนด โมเลกุลของไฮโดรเจนจะแตกตัวเป็นproto ( $H^+$ ) และอิเล็กตรอน ( $e^-$ ) โดยprotoจะแพร่ผ่านสารอิเล็กโทรไลต์ไปยังขั้วแคโทดของเชลล์เชือเพลิงส่วนอิเล็กตรอนจะวิ่งผ่านวงจรด้านนอกทำให้เกิดกระแสไฟฟ้าและวิ่งไปรวมตัวกับprotoที่ขั้วแคโทด ต่อมาprotoรวมตัวกันเป็นน้ำ โดยสามารถแยกปฏิกิริยาที่เกิดขึ้นที่ขั้วแอดโนดและขั้วแคโทดได้ดังนี้

ปฏิกิริยาทางด้านขั้วแอดโนดไฮโดรเจนจะแตกตัวเกิดเป็นproto ( $H^+$ ) และปล่อยอิเล็กตรอนออกมานำมาดังสมการ 2.1



ส่วนข้าวแคร์โทดออกซิเจนจะทำปฏิกิริยากับอิเล็กตรอนที่ว่างผ่านวงจรด้านนอกมายังข้าว  
แคร์โทดและไปร่วมกันที่ผ่านอิเล็กโกรไล์ต์มายังข้าวแคร์โทดดังสมการ 2.2



## 2.2 ประเภทของเซลล์เชื้อเพลิง

เซลล์เชื้อเพลิงที่ศึกษาอยู่ในปัจจุบันมีหลายชนิดโดยแตกต่างกันที่ลักษณะและการใช้งาน โดยทั่วไปแล้วการแบ่งประเภทของเซลล์เชื้อเพลิงจะแบ่งตามชนิดของสารอิเล็กโกรไล์ต์ที่ใช้ในเซลล์ เชื้อเพลิงแต่ละชนิด โดยอิเล็กโกรไล์ตเป็นวัสดุที่อยู่ตรงกลางระหว่างข้าวแคร์โทดและข้าวแคร์โทด ในปัจจุบันเซลล์เชื้อเพลิงแบ่งออกได้เป็น 6 ชนิด คือ เซลล์เชื้อเพลิงแบบอัลคาไลน์ (Alkaline Fuel Cell, AFC) เซลล์เชื้อเพลิงแบบเยื่อแผ่นแลกเปลี่ยนโปรตอน (Proton Exchange Membrane Fuel Cell, PEMFC) หรือบางที่เรียกว่าเซลล์เชื้อเพลิงแบบพอลิเมอร์แข็ง (Solid Polymer Fuel Cell, SPFC) เซลล์เชื้อเพลิงแบบกรดฟอสฟอริก (Phosphoric Acid Fuel Cell, PAFC) เซลล์เชื้อเพลิงแบบใช้ไฮโดรเจนโดยตรง (Direct Methanol Fuel Cell, DMFC) เซลล์เชื้อเพลิงแบบคาร์บอนเคลือบ (Molten Carbonate Fuel Cell, MCFC) และเซลล์เชื้อเพลิงแบบออกไซด์ของไฮด์รอกซีด (Solid Oxide Fuel Cell, SOFC) โดยแบ่งตามชนิดของสารอิเล็กโกรไล์ตแสดงดังตาราง 2.1

นอกจากนี้เซลล์เชื้อเพลิงยังสามารถแบ่งได้ตามอุณหภูมิการทำงานได้ดังนี้ คือ เซลล์ เชื้อเพลิงประเภททำงานที่อุณหภูมิต่ำจะทำงานที่อุณหภูมิ 80 – 200 °C เช่นเซลล์เชื้อเพลิงแบบ อัลคาไลน์ เซลล์เชื้อเพลิงแบบเยื่อแผ่นแลกเปลี่ยนโปรตอนเป็นต้น ซึ่งเซลล์เชื้อเพลิงแบบนี้เหมาะสมที่ จะใช้กับยานอวกาศและรถยนต์ ส่วนเซลล์เชื้อเพลิงประเภททำงานที่อุณหภูมิสูงจะทำงานที่ อุณหภูมิ 600 – 1000 °C เช่นเซลล์เชื้อเพลิงแบบคาร์บอนเคลือบ เซลล์เชื้อเพลิงแบบออกไซด์ ของไฮด์รอกซีดเป็นต้น โดยเซลล์เชื้อเพลิงที่ทำงานที่ภาวะอุณหภูมิสูงเหมาะสมสำหรับ ในการนำไปต่อองค์การผลิต กระแสไฟฟ้าและต้องการความร้อนในปริมาณมาก

ปฏิกิริยาของเซลล์เชื้อเพลิงเกิดขึ้นทางด้านข้าวแคร์โทดของเซลล์เชื้อเพลิงยกเว้นเซลล์ เชื้อเพลิงแบบใช้ไฮโดรเจนโดยตรง โดยปฏิกิริยาของเซลล์เชื้อเพลิงจะแตกต่างกันไปขึ้นอยู่กับชนิด ของเซลล์เชื้อเพลิง โปรตอนจะเคลื่อนที่ผ่านอิเล็กโกรไล์ตอย่างต่อเนื่อง โดยไฮโดรเจนจะเป็น เชื้อเพลิงและถูกป้อนเข้าทางด้านข้าวแคร์โทด เซลล์เชื้อเพลิงแบบใช้ไฮโดรเจนโดยตรงจะแตกต่าง จากชนิดอื่นๆ ตรงที่ว่าจะฉีดเชื้อเพลิงในรูปสารประกอบไฮโดรคาร์บอน (มีไฮโดรเจน) เข้าไปยัง ข้าวแคร์โทดของเซลล์เชื้อเพลิงโดยตรง

**ตาราง 2.1 ประเภทของเซลล์เชื้อเพลิงแบ่งตามชนิดของสารอิเล็กโทรไลต์ที่ใช้ในเซลล์เชื้อเพลิงแต่ละชนิด (US Department of Energy)**

ชนิดของเซลล์ เชื้อเพลิง	อิเล็กโทรไลต์	แก๊สเชื้อเพลิง	แก๊ส อ็อกซิเจนท์	อุณหภูมิ การทำงาน	ประสิทธิภาพ
Alkaline (AFC)	Potassium hydroxide	Hydrogen	Pure oxygen	< 80 °C	50 - 70%
Proton Exchange Membrane (PEMFC)	Solid polymer membrane	Hydrogen	Pure or atmospheric oxygen	75 °C	35 - 60%
Direct Methanol (DMFC)	Solid polymer membrane	Methanol solution in water	Atmospheric oxygen	75 °C	35 - 40%
Molten Carbonate (MCFC)	Alkali-Carbonates	Hydrogen, methane	Atmospheric oxygen	650 °C	40 - 55%
Phosphoric Acid (PAFC)	Phosphorous	Hydrogen	Atmospheric oxygen	210 °C	35 - 50%
Solid Oxide (SOFC)	Ceramic Oxide	Hydrogen, methane	Atmospheric oxygen	800 - 1000 °C	45 - 60%

ปฏิกิริยาที่เกิดทางด้านข้าวแอนด์แล็คชั่วแคโทดของเซลล์เชื้อเพลิง และโปรดอนที่แพร่ผ่าน อิเล็กโทรไลต์ของเซลล์เชื้อเพลิงแต่ละชนิดจะแตกต่างกันไปแสดงดังตารางที่ 2.2

ตัวเร่งปฏิกิริยาที่ใช้สำหรับข้าวแอนด์แล็คชั่วแคโทดของเซลล์เชื้อเพลิงแต่ละชนิดจะ แตกต่างกันไป ที่ภาวะอุณหภูมิต่ำต้องการตัวเร่งปฏิกิริยาที่สามารถเร่งให้เกิดปฏิกิริยาได้ดี ตัวเร่งปฏิกิริยาโลหะที่ใช้จึงเป็นพากโลหะตะกูลสูง เช่น แพลทินัม ที่ภาวะอุณหภูมิสูงพบว่าอัตราการ กิດปฏิกิริยาที่ข้าวไฟฟ้าจะมีค่าเพิ่มขึ้นจึงไม่ต้องการตัวเร่งปฏิกิริยาที่เป็นกลุ่มโลหะตะกูลสูงซึ่งมี ราคาแพง ตัวเร่งปฏิกิริยาที่ใช้ในเซลล์เชื้อเพลิงแสดงดังตาราง 2.3

ตาราง 2.2 ระบบการทำงานของเซลล์เชื้อเพลิงแสดงปฏิกิริยาที่เกิดขึ้นที่ขั้วแอนoden ขั้วแคโทด และไอออนที่แพร่ผ่านจากขั้วแอนoden ไปยังแคโทด (Laminie et al., 2000)

ชนิดของเซลล์ เชื้อเพลิง	ปฏิกิริยาที่ขั้วแอนoden	ไอออนที่ แพร่ผ่าน	ปฏิกิริยาที่ขั้วแคโทด
AFC	$2 H_2 + 4 OH^- \rightarrow 4 H_2O + 4e^-$	$\leftarrow OH^-$	$O_2 + 4e^- + 2 H_2O \rightarrow 4 OH^-$
PEMFC	$H_2 \rightarrow 2 H^+ + 2e^-$	$H^+ \rightarrow$	$O_2 + 4 H^+ + 4e^- \rightarrow 2 H_2O$
MCFC	$H_2 + CO_3^{2-} \rightarrow H_2O + CO_2 + 2e^-$ $CO + CO_3^{2-} \rightarrow 2CO_2 + 2e^-$	$\leftarrow CO_3^{2-}$	$O_2 + 2CO_2 + 4e^- \rightarrow CO_3^{2-}$
PAFC	$H_2 \rightarrow 2 H^+ + 2e^-$	$H^+ \rightarrow$	$O_2 + 4 H^+ + 4e^- \rightarrow 2 H_2O$
SOFC	$H_2 + O^{2-} \rightarrow H_2O + 2e^-$ $CO + O^{2-} \rightarrow CO_2 + 2e^-$ $CH_4 + 4O^{2-} \rightarrow 2 H_2O + CO_2 + 8e^-$	$\leftarrow O^{2-}$	$O_2 + 4e^- \rightarrow 2 O^{2-}$

ตาราง 2.3 ตัวเร่งปฏิกิริยาทางเคมีไฟฟ้าของเซลล์เชื้อเพลิงชนิดต่าง ๆ (Laminie et al., 2000)

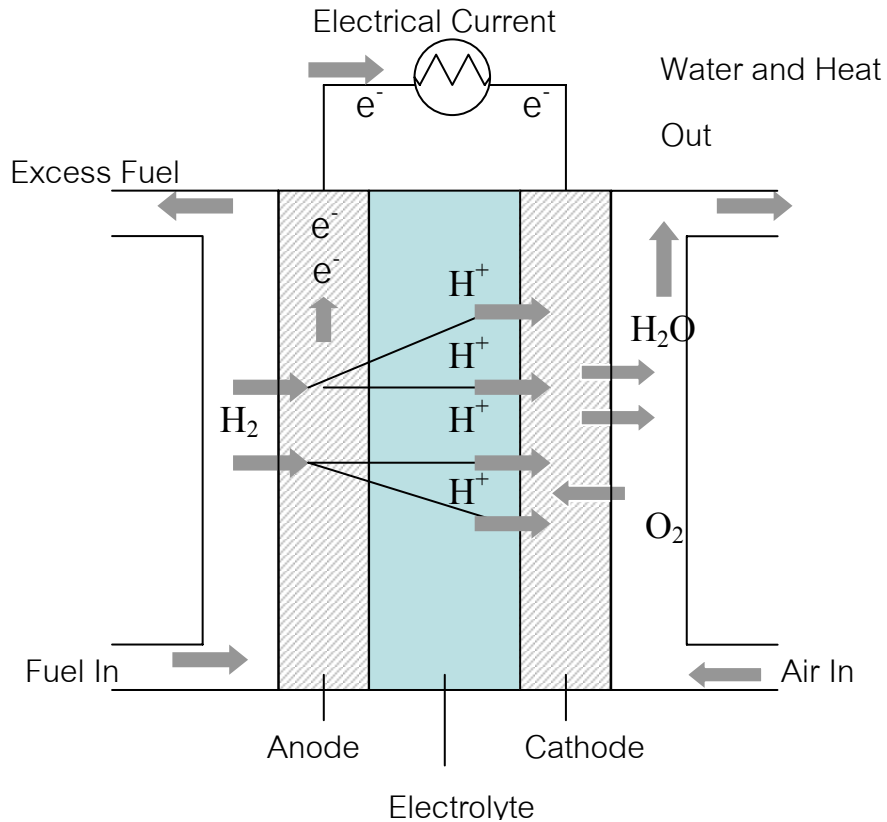
ชนิดของเซลล์เชื้อเพลิง	ตัวเร่งปฏิกิริยาของขั้วแอนoden	ตัวเร่งปฏิกิริยาของขั้วแคโทด
AFC	Pt, Ag	Pt, Ag
PEMFC	Pt, Pt/Ru	Pt
MCFC	Ni, Ni/Cr	Li/NiO
PAFC	Pt	Pt/Cr/Co, Pt/Ni
SOFC	Ni/ZrO <sub>2</sub>	LaSrMnO <sub>3</sub>

เนื่องจากในงานวิจัยนี้ศึกษาเกี่ยวกับเซลล์เชื้อเพลิงแบบเยื่อแผ่นแลกเปลี่ยนprotoion ดังนั้นจึงจะกล่าวรายละเอียดในส่วนต่อไปเฉพาะเซลล์เชื้อเพลิงแบบเยื่อแผ่นแลกเปลี่ยนprotoion เท่านั้น

## 2.3 เชล์เชือเพลิงแบบเยื่อแผ่นแลกเปลี่ยนprotoon (PEMFC)

เชล์เชือเพลิงแบบเยื่อแผ่นแลกเปลี่ยนprotoonหรือเชล์เชือเพลิงแบบพอลิเมอร์ของแข็งจะเป็นเชล์เชือเพลิงที่ให้ค่าความหนาแน่นของกำลังไฟฟ้าสูง เมื่อเทียบกับเชล์เชือเพลิงแบบอื่น จึงเหมาะสมกับการใช้งานในอุปกรณ์ที่เคลื่อนที่ เช่น รถยนต์ เชล์เชือเพลิงแบบเยื่อแผ่นแลกเปลี่ยนprotoonสามารถทำงานได้ที่ภาวะอุณหภูมิและความดันต่ำคือ อุณหภูมิในช่วง  $60 - 100^{\circ}\text{C}$  และความดัน  $1 - 2$  บาร์ยากาศ นอกจากนี้เชล์เชือเพลิงแบบเยื่อแผ่นแลกเปลี่ยนprotoonยังใช้เชือเพลิงที่มาจากการรีฟอร์મิ่งของไฮโดรคาร์บอนได้

เชล์เชือเพลิงแบบเยื่อแผ่นแลกเปลี่ยนprotoonใช้พอลิเมอร์แข็ง (ชัลฟenedโพลิเตตระฟลูออโรเอทิลีน) เป็นสารอิเล็กโทรไลต์จึงช่วยป้องกันการกัดกร่อนภายในเชล์ และมีความปลดภัยมากกว่าเชล์เชือเพลิงที่ใช้อิเล็กโทรไลต์เป็นของเหลว โดยแผ่นพอลิเมอร์แข็งจะถูกประกอบด้านนอกด้วยข้าวไฟฟ้า 2 ข้าว ที่มีตัวเร่งปฏิกิริยาเกาอยู่ด้านในที่ติดกับอิเล็กโทรไลต์ เมื่อไฮโดรเจนถูกป้อนเข้าทางด้านข้าวแคนดิ จะแตกตัวตรงผิวน้ำของแพลทินัมซึ่งเป็นตัวเร่งปฏิกิริยาให้อิเล็กตรอนและ proton ออกมานำโดยอิเล็กตรอนจะวิ่งผ่านวงจรด้านนอกทำให้เกิดกระแสไฟฟ้า และวิ่งต่อไปยังข้าวแคนโถด ส่วน proton จะพร่ำผ่านเมมเบรนไปรวมตัวกับอิเล็กตรอนและออกซิเจนที่ข้าวแคนโถดอิกที่โดยปฏิกิริยาที่ข้าวแคนโถจะเกิดเป็นน้ำและถูกขัดออกจากเชล์พร้อมกับแก๊สที่ออกจากข้าวแคนโถ ในระหว่างการทำงานของเชล์เชือเพลิงจะมีการปล่อยความร้อนออกมานำความร้อนจากเชล์เชือเพลิงสามารถถูกดึงออกจากเชล์ได้ด้วยกระบวนการหล่อเย็น ประสิทธิภาพของเชล์เชือเพลิงแบบเยื่อแผ่นแลกเปลี่ยนprotoonขึ้นอยู่กับความสามารถในการส่งถ่ายไอออนจากข้าวแคนดิไปยังข้าวแคนโถ ดังนั้นไฮโดรเจนและออกซิเจนที่ใช้ในเชล์เชือเพลิงจะต้องมีความซึ้น เพราะกระบวนการเคลื่อนที่ของไอออนผ่านเยื่อแผ่นจะต้องใช้น้ำในการนำไอออน หลักการทำงานของเชล์เชือเพลิงแบบเยื่อแผ่นแลกเปลี่ยนprotoonแสดงในรูป 2.1



รูปที่ 2.1 หลักการทำงานของเซลล์เชื้อเพลิงแบบเยื่อแผ่นแลกเปลี่ยนโปรตอน

## 2.4 ส่วนประกอบของเซลล์เชื้อเพลิงแบบเยื่อแผ่นแลกเปลี่ยนโปรตอน

### 2.4.1 ขั้วไฟฟ้า (Electrode)

เซลล์เชื้อเพลิงประกอบด้วยขั้วไฟฟ้า 2 ขั้วคือ ขั้วแอนodenode และขั้วแคโทด cathode ซึ่งในบางกรณีอาจมี 3 ขั้ว คือ ขั้วไฟฟ้าอ้างอิง (reference electrode) เช่นในการวัดแบบคริวจ์เซลล์บนขั้วไฟฟ้าจะมีตัวเร่งปฏิกิริยาเก่าอยู่เพื่อทำหน้าที่เร่งปฏิกิริยา ขั้วไฟฟ้าทางด้านแอนodenode จะเป็นแหล่งเกิดปฏิกิริยาออกซิเดชัน ส่วนทางด้านแคโทดจะเป็นแหล่งเกิดปฏิกิริยาเริดักชัน ขั้วไฟฟ้าที่ดีควรมีความต้านทานต่ำหรือมีความสามารถในการนำไฟฟ้าได้สูงและมีความพรุนสูง เนื่องจากความพรุนของขั้วไฟฟ้าจะช่วยเพิ่มพื้นที่ผิวในการเกิดปฏิกิริยานบนขั้วไฟฟ้า ขั้วไฟฟ้าที่ใช้ในกระบวนการอิเล็กโทรไลซิสจะต้องมีสมบัติในการทนต่อการกรดกร่อน เป็นสารในกลุ่มโลหะตระกูลสูง เช่น แพลทินัม การเคลื่อนที่ของประจุไฟฟ้าภายในเซลล์เชื้อเพลิงเกิดจากการเคลื่อนที่ของอิเล็กตรอนจากแหล่งที่เกิดปฏิกิริยาไปยังตัวเก็บประจุ ในขณะเดียวกันโปรตอนจะเคลื่อนที่ผ่านอิเล็กโทรไลต์ยังขั้วแคโทด

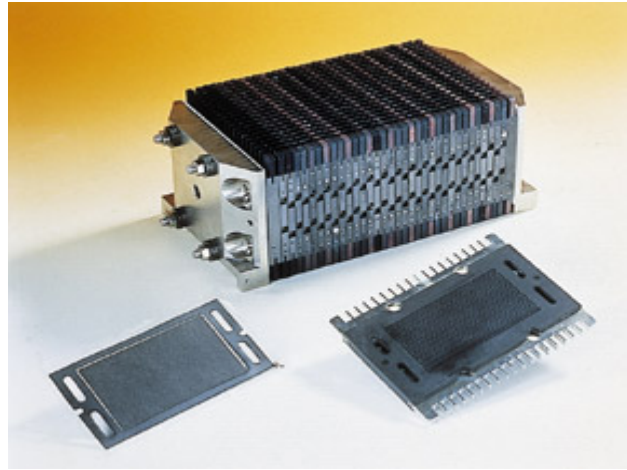
### 2.4.2 อิเล็กโทรไลต์ (Electrolyte)

อิเล็กโทรไลต์ในเซลล์เชือกเพลิงแบบเยื่อแผ่นแผลกเปลี่ยนprototonจะเป็นพอลิเมอร์แข็ง ทำหน้าที่ในการถ่ายเทไอออนที่เกิดจากปฏิกิริยาบนขั้วแอนโอดให้เคลื่อนที่ไปยังขั้วแคโทดโดยอิเล็กโทรไลต์ที่ดีจะต้องมีสมบัติดังต่อไปนี้ (สุกัญญา, 2547)

- มีค่ากรานนำไอออนสูงแต่มีค่ากรานนำอิเล็กตรอนต่ำ
- มีค่าการแพร์ของแก๊สต่ำ
- มีขนาดที่แน่นอนไม่มีการบวม
- มีค่าความแข็งแรงของลสูงสามารถต้านทานต่อแรงบีบอัดได้สูง
- มีค่าการแพร์ของน้ำต่ำ
- มีค่าความต้านทานต่อการสูญเสียน้ำ (หรือต้านทานต่อการเกิด Dehydration)
- มีค่าความต้านทานต่อการเกิดปฏิกิริยาออกซิเดชัน ริดักชัน และไฮโดรเจน
- มีการถ่ายเทแคทธอไอออนสูง (cation)
- พื้นที่ผิวของเยื่อแผ่นต้องสามารถเชื่อมตัวเร่งปฏิกิริยาให้เกะบันพื้นผิวได้ดีมีความเป็นเนื้อเดียวกัน (homogeneity)

### 2.4.3 แผ่นสะสมกระแส (Current Collector)

โดยทั่วไปแล้วเซลล์เชือกเพลิงหนึ่งเซลล์ไม่สามารถนำไปใช้ให้เกิดประโยชน์ได้มากนักเนื่องจาก ค่าความต่างศักย์ไฟฟ้าที่ได้จากเซลล์เพียงเซลล์เดียวมีค่าน้อย ดังนั้นในการใช้งานจริง ๆ เซลล์เชือกเพลิงจะถูกนำมาต่อ กันเป็นแบบอนุกรม หรือเรียกว่าหอเซลล์เชือกเพลิง (fuel cell stack) แสดงดังรูป 2.2 โดยจำนวนเซลล์เชือกเพลิงของหอเซลล์จะขึ้นกับปริมาณค่าความต่างศักย์ที่ต้องการ หรือกำลังไฟฟ้าที่ต้องการ



รูปที่ 2.2 หอเซลล์เชื้อเพลิง (fuel cell stacks) (US Department of Energy)

การต่อของเซลล์เชื้อเพลิงจะต่อ กันแบบอนุกรมโดยคั่นกลางด้วยแผ่นสะさまกระแสแบบสองขั้ว (bi-polar current collector plates) แผ่นสะさまกระแสนี้จะต้องมีความแข็งแรง ทนต่อการกัดกร่อนและสามารถนำไฟฟ้าได้ดี ภายในแผ่นสะさまกระแสจะถูกเจาะเป็นช่องเพื่อให้แก๊สไฟฟ้าผ่านและทำหน้าที่กระจายแก๊สให้สัมผัสถกับขั้วไฟฟ้า โดยใช้ช่องทางการไหลของแก๊สเป็นตัวกำหนดทิศทางไหลของแก๊ส นอกจากนี้แผ่นสะさまกระแสต้องกล่าวบังทำหน้าที่เชื่อมต่อเซลล์ทางไฟฟ้าเป็นลักษณะการต่อแบบอนุกรม อิเล็กตรอนที่ผลิตจากกระบวนการเคมีไฟฟ้าในเซลล์จะถูกส่งต่อไปยังเซลล์ถัดไปโดยผ่านแผ่นสะさまกระแส นอกจากนี้แผ่นสะさまกระแสยังทำหน้าที่แยกเซลล์ออกจากกันคือ ป้องกันไม่ให้แก๊สที่ไหลผ่านขั้วแค�포ดของเซลล์หนึ่งผสานเข้ากับแก๊สที่ป้อนเข้าขั้วแอดของเซลล์ที่อยู่ติดกัน

เมื่อเปรียบเทียบกับเซลล์เชื้อเพลิงแบบอื่น เซลล์เชื้อเพลิงแบบเยื่อแผ่นแลกเปลี่ยนโปรดอนุญาติหวังว่าจะเป็นแหล่งพลังงานต้นๆ ที่จะนำมาใช้กับยานพาหนะ และคุปกรณ์ที่สามารถเคลื่อนที่ได้ เนื่องจากเซลล์เชื้อเพลิงแบบนี้สามารถทำงานได้ที่ภาวะอุณหภูมิต่ำ และสามารถเริ่มการทำงานได้อย่างรวดเร็ว ข้อได้เปรียบของเซลล์เชื้อเพลิงแบบเยื่อแผ่นแลกเปลี่ยนโปรดอนมีดังต่อไปนี้

- มีการกัดกร่อนน้อยเนื่องจากของเหลวในเซลล์เชื้อเพลิงแบบนี้มีเพียงน้ำเท่านั้น
- โครงสร้างของเซลล์ไม่ซับซ้อน ง่ายในการประกอบเป็นเซลล์เชื้อเพลิง
- มีความทนทาน
- สามารถทำงานได้ที่อุณหภูมิและความดันต่ำ
- สามารถบีบอัดให้มีขนาดเล็กและมีรูปร่างตามที่ต้องการได้จึงมีการใช้งานกันอย่างแพร่หลายมากกว่าแบบอื่น

- อย่างไรก็ตามเซลล์เชื้อเพลิงแบบเยื่อแผ่นแลกเปลี่ยนprototonยังมีข้อเสียคือ
- ตัวเร่งปฏิกิริยาทางเคมีไฟฟ้าของขั้วแอดโนดและขั้วแคโทดมีราคาแพง
  - อิเล็กโทรไลต์มีราคาแพง
  - ยังคงมีปัญหาด้านการจัดการน้ำภายในเซลล์
  - ทนต่อความร้อนมอนอกไชด์ได้น้อย

## 2.5 เชื้อเพลิงที่ใช้สำหรับเซลล์เชื้อเพลิงแบบเยื่อแผ่นแลกเปลี่ยนprototon

เซลล์เชื้อเพลิงแบบเยื่อแผ่นแลกเปลี่ยนprototonเป็นเซลล์เชื้อเพลิงที่ให้ประสิทธิภาพสูงใน การเปลี่ยนพลังงานเคมีจากไฮโดรเจนไปเป็นพลังงานไฟฟ้า ไฮโดรเจนเป็นแหล่งพลังงานสำคัญ ของเซลล์เชื้อเพลิง ไฮโดรเจนมีอยู่ในส่วนประกอบตามธรรมชาติอยู่แล้ว เช่น น้ำ อากาศ อย่างไรก็ ตามเป็นการยากที่จะเก็บไฮโดรเจนที่เพียงพอ สำหรับเซลล์เชื้อเพลิงจะต้องใช้ไฮโดรเจนที่มาจากการ ประมวลผลต่างๆ ที่มีไฮโดรเจนเป็นส่วนประกอบ เพราะว่าไม่สามารถสกัดไฮโดรเจนได้จากพื้นดิน เนื่องจากน้ำมันหรือถ่านหิน เนื่องจากไฮโดรเจนไม่ได้อยู่ในรูปเดียวกับสารเหล่านี้ อย่างไรก็ตาม เชื้อเพลิงจากฟอสซิลจะมีไฮโดรเจนเป็นส่วนประกอบในปริมาณหนึ่ง ไฮโดรเจนในเชื้อเพลิงจาก ฟอสซิลเป็นแหล่งพลังงานสำคัญสำหรับเซลล์เชื้อเพลิงไฮโดรเจนในปัจจุบัน

### 2.5.1 การผลิตไฮโดรเจนจากน้ำ

เมื่อแยกน้ำออกจะเป็นไฮโดรเจนและออกซิเจนซึ่งสามารถสะสมไว้เป็นแหล่งพลังงานได้ การแยกน้ำเพื่อให้ได้ออกซิเจนและไฮโดรเจนเรียกว่ากระบวนการอิเล็กโทรไลติส (Electrolysis) วิธีการแยกไฮโดรเจนด้วยวิธีการนี้จะต้องใช้ความร้อน โดยอุณหภูมิที่ใช้ในการแยกพันระหว่าง 2000 °C ซึ่งในทาง ปฏิบัติแล้วเป็นอุณหภูมิที่สูงมากทำได้ยาก ดังนั้นจึงแยกน้ำเป็นไฮโดรเจนและออกซิเจนด้วย กระบวนการพื้นฐาน

กระบวนการอิเล็กโทรไลติส (Electrolysis of water) ในสเกลเล็กๆ สามารถเกิดขึ้นได้ใน ทุกแห่ง โดยการผ่านกระแสไฟฟ้าไปยังน้ำ เป็นการเพียงพอที่จะทำให้เกิดฟองของไฮโดรเจนที่ขั้ว แคโทดและฟองของออกซิเจนที่ขั้วแอดโนด ซึ่งเป็นวิธีการง่ายๆ ในกระบวนการแยกน้ำ การแยกโดยวิธีนี้จะไม่ คุ้มค่า เนื่องจากต้องใช้กระแสไฟฟ้าในการแยกเพื่อให้ได้ไฮโดรเจนและน้ำไฮโดรเจนที่ได้มาใช้ สำหรับเซลล์เชื้อเพลิงอีกด้วย

### 2.5.2 การผลิตไฮโดรเจนจากไฮโดรคาร์บอน

การผลิตไฮโดรเจนจากไฮโดรคาร์บอนเป็นกระบวนการที่ถูกทิ่สุด โดยการเปลี่ยนรูปแก๊สธรรมชาติหรือไฮโดรคาร์บอนชนิดอื่นๆ ไปเป็นไฮโดรเจนด้วยกระบวนการรีฟอร์มมิง (reforming process) ไฮโดรเจนที่ใช้อยู่ในปัจจุบันส่วนใหญ่มาจากการกระบวนการนี้ ในการที่จะแยกไฮโดรเจนจากไฮโดรคาร์บอนหรือแก๊สธรรมชาติ (โดยส่วนใหญ่จะเป็นมีเทน,  $\text{CH}_4$ ) โดยกระบวนการนี้เรียกว่ากระบวนการรีฟอร์มมิงโดยใช้ไอน้ำ มีเหตุจะถูกผสมกับไอน้ำที่อุณหภูมิสูงภายในเตาความดัน และมีตัวเร่งปฏิกิริยาเข้าร่วมด้วย กระบวนการนี้สามารถผลิตคาร์บอนออกไซด์และไฮโดรเจนออกมาปฏิกิริยานิ้นที่สองลดจากการกระบวนการรีฟอร์มมิงคือปฏิกิริยา water gas shift โดยปฏิกิริยานี้สามารถเพิ่มไฮโดรเจนได้มากขึ้นจากปฏิกิริยาที่เกิดจากน้ำกับคาร์บอนออกไซด์

### 2.6 การเก็บไฮโดรเจนในเซลล์เชื้อเพลิง

เซลล์เชื้อเพลิงใช้ไฮโดรเจนในรูปของไฮโดรเจนบริสุทธิ์ โดยแก๊สธรรมชาติหรือเชื้อเพลิงเหลวอื่นๆ ถูกเปลี่ยนเป็นไฮโดรเจนจากการกระบวนการรีฟอร์มมิง ไฮโดรเจนเป็นแหล่งพลังงานสำคัญแต่ไม่สะดวกในการเก็บไฮโดรเจนในปริมาณมากเพื่อใช้ในอุปกรณ์ต่างๆ เนื่องจากในการเก็บไฮโดรเจนให้ได้ปริมาณมากนั้นจะต้องเก็บภายใต้ภาวะความดันสูง ซึ่งจะเสี่ยงต่อการระเบิดจึงไม่ปลอดภัยในการเก็บรูปแบบนี้ การเก็บไฮโดรเจนในรูปแบบอื่นจะได้เปรียบกว่าทางด้านความปลอดภัย เช่น เก็บอยู่ในรูปของ เมทานอล หรือแก๊สธรรมชาติ และผ่านกระบวนการรีฟอร์มมิงไปเป็นไฮโดรเจนอีกที่จะมีความปลอดภัยกว่า

เซลล์เชื้อเพลิงที่ใช้ไฮโดรเจนบริสุทธิ์เรียกว่าเซลล์เชื้อเพลิงแบบตรง (direct fuel cells) ส่วนเซลล์เชื้อเพลิงที่ใช้ไฮโดรเจนในรูปสารประกอบของไฮโดรเจนแล้วผ่านกระบวนการรีฟอร์มมิงไปเป็นไฮโดรเจนอีกที่เรียกว่าเซลล์เชื้อเพลิงแบบอ้อม (indirect fuel cells) โดยในกระบวนการที่เปลี่ยนสารประกอบไฮโดรเจนมาเป็นไฮโดรเจนนี้จะต้องใช้ตัวเร่งปฏิกิริยาและอุณหภูมิของกระบวนการนี้จะสูง และต้องมีการติดอุปกรณ์เพิ่มขึ้นมาเพื่อเปลี่ยนสารประกอบเหล่านี้ไปเป็นไฮโดรเจน (reformer) แต่ระบบการทำงานของเซลล์เชื้อเพลิงที่ใช้ไฮโดรเจนเป็นแก๊สเชื้อเพลิงจะทำงานที่อุณหภูมิต่ำ

### 2.6.1 การเก็บไฮโดรเจนโดยการบีบอัด

การบีบอัดไฮโดรเจน (compressed hydrogen) หมายความว่าการบีบอัดแก๊สธรรมชาติโดยปกติแล้วไฮโดรเจนถูกเก็บใน cylindrical tanks ที่ระดับความดัน 200 และ 250 บาร์ จะเก็บไฮโดรเจนได้มากถึง 50 ลิตร โดยแท็งก์เหล่านี้จะทำมาจากอลูมิเนียม หรือ คาร์บอน/แกรไฟฟ์ เป็นส่วนประกอบ โดยไฮโดรเจนที่มาจากการบีบอัดสามารถใช้ได้ในงานอุตสาหกรรมขนาดเล็กต่าง ๆ หรือใช้ทางด้านการขนส่ง

### 2.6.2 การเก็บในรูปไฮโดรเจนเหลว

ในการที่จะลดปริมาตรของไฮโดรเจนเพื่อการเก็บไว้ใช้งานให้มีปริมาณมาก โดยเฉพาะการเก็บไว้ใช้ในเครื่องยนต์ จึงต้องมีการทำไฮโดรเจนให้เป็นของเหลว (liquefaction) ขั้นดีของไฮโดรเจนเหลวนี้จะมีสัดส่วนของพลังงานและมวลสูง ซึ่งเป็นสามเท่าของแก๊สโซลิน ไฮโดรเจนเหลวเป็นเชื้อเพลิงที่มีค่าความหนาแน่นของพลังงานสูง ไฮโดรเจนเหลวจึงมักเป็นแหล่งพลังงานที่ใช้ในยานอวกาศ อย่างไรก็ตามเป็นการยากที่จะเก็บไฮโดรเจนให้ได้ในปริมาณมาก

### 2.6.3 การเก็บโดยการสร้างพันธะของไฮโดรเจน

การสร้างพันธะของไฮโดรเจน (bonded hydrogen) กับพื้นที่ผิวของโลหะสมจะเป็นการเก็บที่ปลอดภัยที่สุด ไม่มีไฮโดรเจนปลดปล่อยออกมานอกจากนิวเคลียร์ที่เกิดอุบัติเหตุ แต่วิธีการเก็บไฮโดรเจนในรูปนี้จะเกะกะและใหญ่ ตัวอย่างโลหะผสม เช่น โลหะผสมระหว่างเหล็กและไททาเนียม (FeTi) ถูกใช้ในการเก็บไฮโดรเจนโดยการให้ไฮโดรเจนสร้างพันธะกับพื้นที่ผิวของโลหะผสมโดยโลหะผสมจะถูกทำให้เป็นเม็ดเล็กๆ (granules) ซึ่งเป็นหลักการพื้นฐานของการเพิ่มพื้นที่ผิวให้กับโลหะผสมให้มีปริมาณมากเพียงพอ โดยไฮโดรเจนจะถูกฉีดเข้าไปบนผิวของวัสดุด้วยความดันสูง โดยในการสร้างพันธะระหว่างตัวโลหะผสมและไฮโดรเจนจะปลดปล่อยความร้อนออกมานอกจากนี้สามารถนำกลับไปใช้ในการสลายพันธะระหว่างไฮโดรเจนและตัวโลหะผสมนี้อีกที

#### 2.6.4 การเก็บไฮโดรเจนโดยการดูดซับด้วยคาร์บอน

เทคนิคการดูดซับด้วยคาร์บอน (carbon adsorption techniques) จะเกี่ยวข้องกับการสร้างพันธะระหว่างอะตอมของไฮโดรเจนและคาร์บอน ไฮโดรเจนจะถูกปั๊มเข้าไปในคอนเทนเนอร์ซึ่งมีอุณหภูมิของคาร์บอนบรรจุอยู่ วิธีการนี้จะให้ประสิทธิภาพในการดูดซับไฮโดรเจนเท่ากับกระบวนการสร้างพันธะระหว่างไฮโดรเจนและโลหะผสม ข้อดีของวิธีการนี้คืออุณหภูมิต่ำกว่า

#### 2.6.5 การดูดซับด้วยคาร์บอนนาโนไฟเบอร์

อีกวิธีการหนึ่งที่น่าสนใจอย่างมากในปัจจุบันคือเทคโนโลยีทางด้านคาร์บอนนาโนไฟเบอร์ (carbon nanofibre technology) ซึ่งวิธีการนี้สามารถเก็บสำรองไฮโดรเจนไว้ใช้งานได้มากถึง 70% โดยน้ำหนักของไฮโดรเจน ซึ่งเป็นปริมาณที่มาก เนื่องจากโลหะผสมสามารถเก็บไฮโดรเจนได้อยู่ในช่วง 2 - 4 % โดยน้ำหนักเท่านั้น ด้วยการเก็บไฮโดรเจนโดยวิธีการนี้พบว่าสามารถเก็บไฮโดรเจนไว้ในเครื่องยนต์ได้มากถึง 5000 กิโลเมตรโดยไม่มีการเติมเชื้อเพลิงเพิ่ม ซึ่งวิธีการนี้เป็นการตอบสนองความต้องการพื้นฐาน

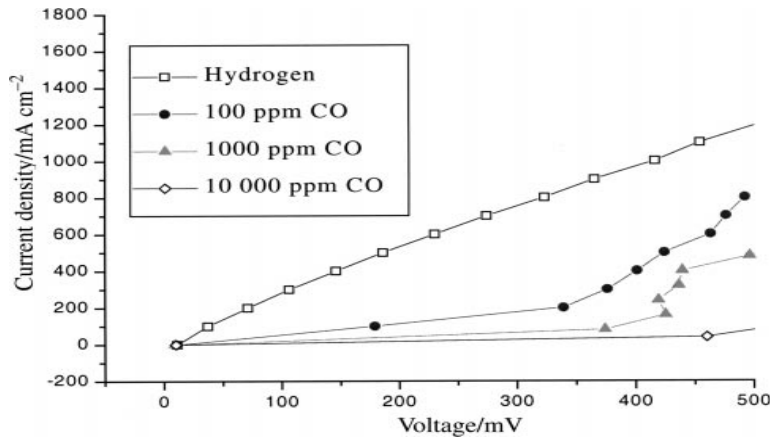
#### 2.6.6 ไฮโดรเจนในรูปไฮโดรคาร์บอน

การเก็บไฮโดรเจนในรูปของไฮโดรคาร์บอน เช่น โปรเพน แก๊สธรรมชาติ หรือแก๊สโซลิน โดยสารประกอบไฮโดรคาร์บอนเหล่านี้จะเปลี่ยนไปเป็นไฮโดรเจนโดยกระบวนการรีฟอร์มิ่ง วิธีการนี้กำลังพัฒนาอยู่ในปัจจุบัน แก๊สที่ได้จากการนี้จะมีสัดส่วนของไฮโดรเจน 35 - 75% คาร์บอนไดออกไซด์ 15 - 25 % และคาร์บอนมอนอกไซด์ 50 - 5000 พีพีเอ็ม โดยคาร์บอนมอนอกไซด์ที่ปนมากับไฮโดรเจนที่ได้จากการกระบวนการรีฟอร์มมิ่งจะก่อให้เกิดปัญหาด้วยเชลล์เชื้อเพลิง

### 2.7 ผลของแก๊สคาร์บอนมอนอกไซด์ต่อเชลล์เชื้อเพลิง

ไฮโดรเจนที่ใช้ในปัจจุบันส่วนใหญ่มาจากกระบวนการรีฟอร์มมิ่งมักมีคาร์บอนมอนอกไซด์ปนมากับกระบวนการผลิตไฮโดรเจนซึ่งเป็นแก๊สเชื้อเพลิงสำหรับเชลล์เชื้อเพลิงเสมอ สำหรับเชลล์เชื้อเพลิงที่ใช้แพลทินัมเป็นตัวเร่งปฏิกิริยาแล้วมีคาร์บอนมอนอกไซด์ปนมากับแก๊สเชื้อเพลิงในระดับพีพีเอ็มก็จะมีผลต่อสมรรถนะของเชลล์เชื้อเพลิงเป็นอย่างมาก เนื่องจากคาร์บอนมอนอกไซด์จะถูกดูดซับอย่างแข็งแรงบนผิวของ

แพลทินัม ทำให้แพลทินัมไม่สามารถทำงานที่เร่งปฏิกิริยาการแตกตัวของไฮโดรเจนได้อีกต่อไป สมรรถนะของเซลล์เชือกเหล็กจึงลดลงอย่างเห็นได้ชัด



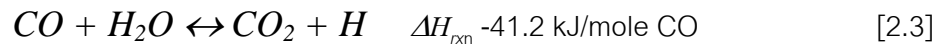
รูปที่ 2.3 ผลของคาร์บอนมอนอกไซด์ต่อสมรรถนะของเซลล์เชือกเหล็ก (Carrette et al., 2000)

จากรูปที่ 2.3 จะเห็นว่าสมรรถนะของเซลล์เชือกเหล็กที่ลดลงอย่างชัดเจนหากมีคาร์บอนมอนอกไซด์ปนมากับแก๊สเชือกเหล็กทางด้านแอนโโนดเมื่อเปรียบเทียบกับเซลล์เชือกเหล็กที่ใช้ไฮโดรเจนบริสุทธิ์เป็นแก๊สเชือกเหล็ก

## 2.8 วิธีการในการขัดคาร์บอนมอนอกไซด์ออกจากแก๊สเชือกเหล็ก (World Patent number 9915460)

### 2.8.1 ปฏิกิริยาอเตอร์แก๊สชิฟต์

ปฏิกิริยาอเตอร์แก๊สชิฟต์ (Water-Gas Shift Reaction) เป็นกระบวนการในการขัดคาร์บอนมอนอกไซด์ที่น่าสนใจ นอกจากราสามารถขัดคาร์บอนมอนอกไซด์ได้แล้วยังเป็นการเพิ่มปริมาณไฮโดรเจนอีกด้วย อย่างไรก็ตามในกระบวนการผลิตไฮโดรเจนจากปฏิกิริยาชีฟฟอร์มิ่งไม่สามารถขัดคาร์บอนมอนอกไซด์ออกໄไปให้อยู่ในระดับที่เซลล์เชือกเหล็กสามารถทนทานได้เนื่องจากปฏิกิริยานี้เป็นปฏิกิริยาที่ย้อนกลับได้ (reversible reaction) ปฏิกิริยาอเตอร์แก๊สชิฟต์แสดงดังสมการ 2.3

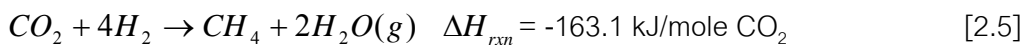
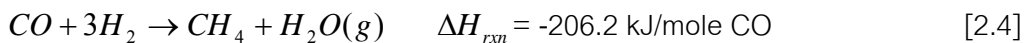


ปฏิกิริยานี้จะเป็นปฏิกิริยาด้วยความร้อน โดยในกระบวนการการจัดไฟไอน้ำมากเกินพอเพื่อทำให้ปฏิกิริยาเกิดขึ้นอย่างสมบูรณ์

### 2.8.2 ปฏิกิริยาเลือกเกิดเป็นมีเทน

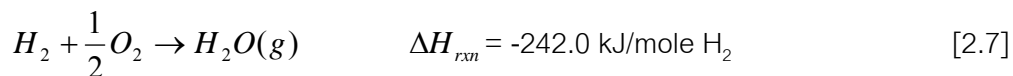
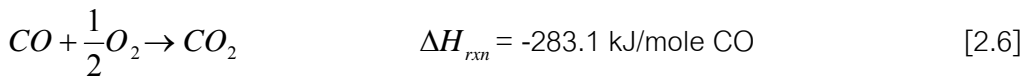
ปฏิกิริยาเลือกเกิดเป็นมีเทน (Selective Methanation) ของคาร์บอนมอนอกไซด์เป็นอีกวิธีการหนึ่งในการลดปริมาณคาร์บอนมอนอกไซด์ในแก๊สเชื้อเพลิงที่มีประสิทธิภาพ เนื่องจากสามารถลดปริมาณคาร์บอนมอนอกไซด์ลงมาให้อยู่ในระดับต่ำ (4000 - 100 พีพีเอ็ม) แต่ข้อเสียหลักของวิธีการนี้คือกระบวนการการเกิดเป็นมีเทนในแต่ละโมเดลกุลของคาร์บอนมอนอกไซด์ต้องใช้ไฮโดรเจนถึงสามโมเดล ดังนั้นวิธีการนี้ถ้าปริมาณความเข้มข้นเริ่มต้นของคาร์บอนมอนอกไซด์ และคาร์บอนไดออกไซด์อยู่ในปริมาณสูงจะสูญเสียไฮโดรเจนในปริมาณมาก เนื่องจากตัวเร่งปฏิกิริยาสำหรับปฏิกิริยาเลือกเกิดเป็นมีเทน (นิกิล) จะเปลี่ยนทั้งคาร์บอนมอนอกไซด์และคาร์บอนไดออกไซด์ไปเป็นมีเทน

ในปฏิกิริยาเปลี่ยนไปเป็นมีเทนสามารถเกิดได้ 2 ปฏิกิริยาดังนี้



### 2.8.3 ปฏิกิริยาการเลือกเกิดออกซิเดชันของคาร์บอนมอนอกไซด์

คาร์บอนมอนอกไซด์สามารถถูกจัดออกไประจาแก๊สเชื้อเพลิงโดยปฏิกิริยาการเลือกเกิดออกซิเดชันของคาร์บอนมอนอกไซด์ (Selective CO oxidation) โดยใช้ตัวเร่งปฏิกิริยา เกิดได้ 2 ปฏิกิริยา



ปฏิกิริยานี้สามารถจัดคาร์บอนมอนอกไซด์ได้ในปริมาณมาก อย่างไรก็ตามเมื่อปริมาณ คาร์บอนมอนอกไซด์น้อยๆ และไฮโดรเจนมากเกินพอจะแยกทำปฏิกิริยา กับออกซิเจนแทน ปริมาณ ออกซิเจนที่จัดเข้าไปเพื่อทำปฏิกิริยา กับ คาร์บอนมอนอกไซด์จะสำคัญมาก เพราะออกซิเจนที่เหลือ จะไปทำปฏิกิริยา กับ ไฮโดรเจนที่เป็นแก๊ส เชื้อเพลิงแทนทำให้สูญเสียไฮโดรเจน อย่างไรก็ตามแก๊ส ที่ได้จากการบวนการรีฟอร์ม มีมักจะมี คาร์บอนมอนอกไซด์ปนมาในปริมาณที่ไม่คงที่ ดังนั้น ปริมาณออกซิเจนที่จัดเข้าไปเพื่อทำปฏิกิริยา กับ คาร์บอนมอนอกไซด์จะต้องแปรผันตามปริมาณ คาร์บอนมอนอกไซด์ จากการทดลองที่ผ่านมาพบว่าปฏิกิริยาการเลือกเกิดออกซิเดชันของ คาร์บอนมอนอกไซด์สามารถลดปริมาณ คาร์บอนมอนอกไซด์จาก 0.1 – 10 %vol ให้อยู่ในระดับ 350 – 750 พีพีเอ็ม และสูญเสียไฮโดรเจนเพียงเล็กน้อย อย่างไรก็ตาม การจัดคาร์บอนมอนอกไซด์ ปริมาณน้อยๆ ที่ปนมากับแก๊ส เชื้อเพลิงทำได้ยาก ถ้าใช้ปฏิกิริยานี้จะสูญเสียไฮโดรเจนไปใน ปริมาณมาก

#### 2.8.4 การจัดคาร์บอนมอนอกไซด์โดยใช้ไฮโดรเจนเพอร์ออกไซด์

ไฮโดรเจนเพอร์ออกไซด์เป็นสารที่มีออกซิเจนเป็นส่วนประกอบ slavery ตัวแบบเยคเทอโรจี-เนียสและเป็นสารออกซิไดซ์ที่แรง นอกจากนี้การ slavery ตัวยังสะอาดไม่ก่อให้เกิดปัญหากับระบบ การทำงานของเซลล์ เชื้อเพลิง ไฮโดรเจนเพอร์ออกไซด์เป็นสารที่มีความว่องไวสูงจะสามารถ slavery ตัวได้อย่างรวดเร็วหากมีสารปนเปื้อนปนอยู่ ปฏิกิริยาโดยรวมของไฮโดรเจนเพอร์ออกไซด์ แสดงดังสมการต่อไปนี้



นอกจากนี้ในระหว่างการ slavery ตัวของไฮโดรเจนเพอร์ออกไซด์จะเกิด hydroxyl radical ( $\cdot OH$ ) ซึ่งมีความว่องไวต่อปฏิกิริยาออกซิเดชันสูงรองจากฟลูออรีน สามารถที่จะออกซิไดซ์ คาร์บอนมอนอกไซด์ไปเป็นคาร์บอนไดออกไซด์ได้ ตาราง 2.4 แสดงค่า Oxidation Potential ของ สารแต่ละชนิด

ตาราง 2.4 แสดงค่า Oxidation Potential ของสารแต่ละชนิด (Mandat et al., 2004)

Oxidant	Oxidation Potential, Volts
Fluorine	3.0
Hydroxyl radical	2.8
Ozone	2.1
Hydrogen peroxide	1.8
Potassium permanganate	1.7
Chlorine dioxide	1.5
Chlorine	1.4

ฟลูออรินจะให้ค่า Oxidation Potential ที่สูงแต่ไม่เหมาะสมที่จะนำมาใช้งานเนื่องจากเป็นพิษ hydroxyl radical จึงน่าสนใจนำมาใช้ขัดคาร์บอนมอนอกไซด์ในระบบการทำงานของเซลล์ เชื้อเพลิงออกซิเจนไม่สามารถใช้ในการออกซิเดชันคาร์บอนมอนอกไซด์ได้โดยตรงเนื่องจากต้องการพลังงานสูงในการสลายพันธะระหว่างออกซิเจนกับออกซิเจน และปฏิกิริยาออกซิเดชันระหว่างคาร์บอนมอนอกไซด์กับออกซิเจนจะเกิดได้ช้ามาก ไฮโดรเจนเพอร์ออกไซด์เป็นสารที่มีราคาถูกหาได้ทั่วไป ในการเก็บสำรองไว้ใช้ก็จะสะดวก ซึ่งแตกต่างกับโคลโหนที่มีค่าออกซิเดชันสูงแต่ไม่เหมาะสมกับการใช้งานเนื่องจากเป็นพิษกับสิ่งแวดล้อม (TLV 0.1 พีพีเอ็ม) (Mandat et al., 2004)

## 2.9 งานวิจัยที่เกี่ยวข้อง

ได้มีผู้ศึกษาวิธีการในการขัดคาร์บอนมอนอกไซด์ออกจากกระแสเชื้อเพลิงของเซลล์ เชื้อเพลิงแบบเยื่อแผ่นແลกเปลี่ยนเปรตตอนหลายวิธี เพื่อบรรบปุ่งประสิทธิภาพของเซลล์เชื้อเพลิงที่มีคาร์บอนมอนอกไซด์ปนมากับแก๊สเชื้อเพลิง โดยในการขัดคาร์บอนมอนอกไซด์จะมี 2 วิธี คือ electrochemical method ซึ่งวิธีการนี้จะปรับปุ่งตัวเร่งปฏิกิริยาสำหรับขั้ว阳 electrode ให้มีความทนทานต่อคาร์บอนมอนอกไซด์ที่ปนมากับแก๊สเชื้อเพลิง และ non-electrochemical method ศึกษาการขัดคาร์บอนมอนอกไซด์ก่อนที่จะเข้าสู่ระบบการทำงานของเซลล์เชื้อเพลิง

V.M. Schmidt et al. (1997) ได้ทำการศึกษาเกี่ยวกับการปรับปุ่งสมรรถนะของเซลล์เชื้อเพลิง เมื่อใช้เชื้อเพลิงที่มีคาร์บอนมอนอกไซด์ปนมากับแก๊สเชื้อเพลิง โดยการเติมสารที่มีออกซิเจนเป็นส่วนประกอบ วิธีนี้เป็นการปรับปุ่งสมรรถนะของเซลล์เชื้อเพลิงเมื่อใช้เชื้อเพลิงที่มาจากการรีฟอร์มมิ่งของเมทานอลที่มีคาร์บอนมอนอกไซด์ปนอยู่ ในกราฟทดลองได้เติม

ไฮโดรเจนเพอร์ออกไซด์ลงไปในส่วนให้ความชื้นของเซลล์เชื้อเพลิง พบร่วมกับการสลายตัวของไฮโดรเจนเพอร์ออกไซด์เกิดเป็นออกซิเจนที่อยู่ในภาวะตื้น (active oxygen) จากผลการทดลองพบว่าสามารถเพิ่มสมรรถนะของเซลล์เชื้อเพลิงที่มีคาร์บอนมอนอกไซด์ปนมาในระดับ 100 พีพีเอ็ม ให้มีสมรรถนะเท่ากับเซลล์เชื้อเพลิงที่ใช้ไฮโดรเจนบิสุทธิ์เป็นเชื้อเพลิงได้ เมื่อเปรียบเทียบกับการทดลองที่ไม่ใช้ไฮโดรเจนเพอร์ออกไซด์ในส่วนให้ความชื้น ซึ่งพบว่าสมรรถนะของเซลล์เชื้อเพลิงจะลดลงอย่างเห็นได้ชัด การที่เติมไฮโดรเจนเพอร์ออกไซด์ลงไปช่วยปรับปรุงสมรรถนะของเซลล์เชื้อเพลิงให้เพิ่มขึ้นเนื่องจากคาร์บอนมอนอกไซด์ถูกจัดออกไปโดยทำปฏิกิริยากับไฮโดรเจนเพอร์ออกไซด์ในส่วนให้ความชื้นทำให้คาร์บอนมอนอกไซด์ไม่เกาะบนผิวแพลทินัม สมรรถนะของเซลล์เชื้อเพลิงจึงเพิ่มขึ้น

J. Divisek et al. (1998) ศึกษาการปรับปรุงสมรรถนะของเซลล์เชื้อเพลิงที่มีคาร์บอนมอนอกไซด์ปนมากับแก๊สเชื้อเพลิง 2 วิธี คือ electrochemical และ non-electrochemical โดยวิธีการแยกศึกษาถึงตัวเร่งปฏิกิริยาที่มีความทนทานต่อคาร์บอนมอนอกไซด์ที่ปนมากับแก๊สเชื้อเพลิง เช่น โลหะผสมระหว่างแพลทินัมและ ruthenium พบว่าโลหะผสมระหว่างแพลทินัมและ rutheniumสามารถทนทานต่อคาร์บอนมอนอกไซด์ได้ในระดับ 250 พีพีเอ็ม วิธีที่สองทดลองเติมไฮโดรเจนเพอร์ออกไซด์ลงไปในส่วนให้ความชื้นทางด้านในของเซลล์เชื้อเพลิง พบร่วมกับการปรับปรุงสมรรถนะของเซลล์เชื้อเพลิงที่มีคาร์บอนมอนอกไซด์ปนมาในระดับ 100 พีพีเอ็ม ให้มีสมรรถนะใกล้เคียงกับเซลล์เชื้อเพลิงที่ใช้ไฮโดรเจนบิสุทธิ์ การที่เป็นเช่นนี้เนื่องจากการสลายตัวของไฮโดรเจนเพอร์ออกไซด์ทำให้เกิดออกซิเจนที่อยู่ในภาวะตื้น (active oxygen) ไปทำปฏิกิริยากับคาร์บอนมอนอกไซด์ในแก๊สเชื้อเพลิงเกิดเป็นคาร์บอนไดออกไซด์

R.J. Bellows et al. (1998) ศึกษาการแตกตัวของไฮโดรเจนเพอร์ออกไซด์ที่ส่องไฟในส่วนให้ความชื้นของเซลล์เชื้อเพลิงแบบเยื่อแผ่นแลกเปลี่ยนprototon โดยให้ส่วนให้ความชื้นที่ทำจากวัสดุ 2 ชนิด คือสแตนเลสและโพลิโพลิลีน (PP) พบว่าสารละลายน้ำไฮโดรเจนเพอร์ออกไซด์ 5 % ที่ส่องไฟในส่วนให้ความชื้นที่ทำจากสแตนเลสเกิดฟองอากาศ แต่ในส่วนให้ความชื้นที่ทำจากโพลิโพลิลีนไม่เกิดฟองอากาศ แสดงว่าสแตนเลสของส่วนให้ความชื้นทำหน้าที่เว่งการแตกตัวของไฮโดรเจนเพอร์ออกไซด์ จึงนำหลักการนี้ไปใช้กับเซลล์เชื้อเพลิงโดยนำไฮโดรเจนเพอร์ออกไซด์ 5% ส่องไฟในส่วนให้ความชื้นของหน่วยทดสอบซึ่งทำจากสแตนเลสและทดลองผ่านไฮโดรเจนที่มีคาร์บอนมอนอกไซด์ปนมา 100 พีพีเอ็มเข้ามาในระบบพบว่าประสิทธิภาพของเซลล์จะมีค่าใกล้เคียงกับการใช้แก๊สเชื้อเพลิงที่มีไฮโดรเจนบิสุทธิ์

V.M. Schmidt et al. (2001) ศึกษาปฏิกิริยา electrochemical และ non-electrochemical ของระบบการเกิดปฏิกิริยาระหว่างไฮโดรเจนเพอร์ออกไซด์และคาร์บอนมอนอกไซด์บนขั้วแพลทินัมในสารละลายกรดซัลฟิวอิกเข้มข้น 2 มิลาร์โดยทำการวิเคราะห์ด้วย mass spectroscopy แก๊สที่เกิดจากปฏิกิริยาจะถูกวิเคราะห์อย่างต่อเนื่อง งานวิจัยนี้ศึกษาอิทธิพลของไฮโดรเจนเพอร์ออกไซด์ต่อการดูดซับและออกซิไดร์คาร์บอนมอนอกไซด์ในสารละลายกรดซัลฟิวอิกเข้มข้น 2 มิลาร์ และมีการใส่กระแสแบบไม่คงตัว (current transients) ให้กับ CVs และ MSCVs ที่ตัว每逢สัญญาณ  $m/z = 32$  และ  $m/z = 44$  ผลการทดลองที่ได้พบว่า เกิดเป็นชั้นของคาร์บอนมอนอกไซด์บนตัว每逢ผิวน้ำของแพลทินัม เมื่อเติมไฮโดรเจนเพอร์ออกไซด์ลงในสารละลาย พบร่วมหาใช้ไฮโดรเจนเพอร์ออกไซด์สามารถออกซิไดร์คาร์บอนมอนอกไซด์ไปเป็นคาร์บอนไดออกไซด์ได้

A.T. Haug et al. (2002) พบร่วมหาผลสมรรถนะระหว่างแพลทินัมและ ruthenium สามารถทนทานต่อคาร์บอนมอนอกไซด์ได้มากกว่าแพลทินัมทำให้สมรรถนะของเซลล์เชือเพลิงเพิ่มขึ้นเมื่อมีคาร์บอนมอนอกไซด์ปนมากับแก๊สเชือเพลิง ในงานวิจัยนี้ทำการว่างชั้นบางๆ ของตัว每逢ปฏิกิริยา Ruthenium อยู่บนคาร์บอนระหว่างตัว每逢ปฏิกิริยาแพลทินัมและช่องทางไอล์ของแก๊สสำหรับขั้วแอดโนด เพื่อทำหน้าที่ให้คาร์บอนมอนอกไซด์ที่ปนมากับแก๊สเชือเพลิงเกิดการออกซิไดร์ค์บนตัว每逢ผิวน้ำ ของชั้นนี้ ก่อนที่คาร์บอนมอนอกไซด์จะไปเจอกับตัว每逢ปฏิกิริยาสำหรับขั้วแอดโนด ในส่วนนี้ คาร์บอนมอนอกไซด์สามารถที่จะออกซิไดร์ค์เกิดเป็นคาร์บอนไดออกไซด์โดยใช้อากซิเจนที่ฉีดปนมากับแก๊สเชือเพลิง จากการทดลองฉีดออกซิเจน 2 % และมีคาร์บอนมอนอกไซด์ 100 พีพีเอ็ม พบร่วมหาสามารถทำให้สมรรถนะของเซลล์เชือเพลิงที่ใช้แพลทินัมและ Ruthenium พิลเตอร์ ทำการกรองคาร์บอนมอนอกไซด์ มีสมรรถนะดีกว่าเซลล์เชือเพลิงที่ใช้โลหะสมรรถนะระหว่างแพลทินัมและ Ruthenium ออกซิเจนในภาวะแสง เชือเพลิงจะเกิดเป็นกลุ่มไฮดรอกซิลบนพิลเตอร์และออกซิไดร์ค์ คาร์บอนมอนอกไซด์ที่ถูกดูดซับไปเป็นคาร์บอนไดออกไซด์ ข้อดีของวิธีการนี้คือช่วยป้องกันไม่ให้คาร์บอนมอนอกไซด์สัมผัสกับตัว每逢ปฏิกิริยาแพลทินัมโดยตรง การที่จะทำให้พิลเตอร์นี้มีประสิทธิภาพสูงสุดในการขัดคาร์บอนมอนอกไซด์ ในงานวิจัยนี้ได้เสนอไว้ว่าต้องวางแผนไว้ในตัว每逢หน้าสุดและเชื่อมต่อกับขั้วแอดโนดและจะต้องประกอบด้วยเนไฟล์คอน เพื่อให้ออกอนเคลื่อนผ่านและเพื่อเป็นตัวนำประตอนทางหนึ่งด้วย จึงจะได้รับประโยชน์สูงสุดจากพิลเตอร์นี้

US Patent No. 6429019 B1. (2002) ศึกษาระบบการทำไฮโดรเจนให้บริสุทธิ์เพื่อใช้ในเซลล์เชื้อเพลิง โดยผลิตเครื่องมือและคิดวิธีการในการควบคุมความเข้มข้นของคาร์บอนมอนอกไซด์ที่ปนมากับแก๊สเชื้อเพลิงที่ได้จากการกระบวนการรีฟอร์มมิ่ง เครื่องมือนี้สามารถป้องกันตัวเร่งปฏิกิริยาที่ใช้ในเซลล์จากพิษของคาร์บอนมอนอกไซด์ โดยการควบคุมคาร์บอนมอนอกไซด์ในรีฟอร์มเมทแก๊สให้ลดลงอยู่ในระดับที่ตัวเร่งปฏิกิริยาในเซลล์เชื้อเพลิงสามารถรับได้ ซึ่งระบบการขัดคาร์บอนมอนอกไซด์นี้จะเปลี่ยนคาร์บอนมอนอกไซด์ไปเป็นมีเทนซึ่งไม่เป็นพิษกับตัวเร่งปฏิกิริยาสำหรับเซลล์เชื้อเพลิง ในระบบจะทำการควบคุมคาร์บอนมอนอกไซด์โดยตรวจจับสัญญาณความร้อนที่เกิดขึ้นจากปฏิกิริยา เพื่อส่งสัญญาณไปตัวตรวจจับสัญญาณอื่นๆ ภายใต้ชื่อเซลล์เข่นตัวนิกเกิลที่ใช้ควบคุมค่าการนำไฟฟ้าของวัสดุที่ใช้ในปฏิกิริยา

R.C. Urian et al (2003) ศึกษาตัวเร่งปฏิกิริยาเคมีไฟฟ้าสำหรับขั้วแอดโนดเมื่อแก๊สเชื้อเพลิงมีทั้งคาร์บอนมอนอกไซด์และคาร์บอนไดออกไซด์ปนมากับแก๊สเชื้อเพลิงที่ได้จากการกระบวนการรีฟอร์มมิ่ง ในการทดลองนี้จะศึกษาโดยทดสอบระหว่างแพลทินัมและ ruthenium ในสัดส่วน 1:1 และโดยทดสอบระหว่างแพลทินัมและโมลิบดินัมในสัดส่วนต่าง ๆ เพื่อศึกษาถึงผลของคาร์บอนมอนอกไซด์และคาร์บอนไดออกไซด์ต่อสมรรถนะการทำงานของเซลล์เชื้อเพลิง สัดส่วนของรีฟอร์มเมทแก๊สที่ทำการศึกษาจะอยู่ที่ไฮโดรเจน 45% คาร์บอนมอนอกไซด์ 10 พีพีเอ็ม คาร์บอนไดออกไซด์ 15% และมีเทน 1% ส่วนที่เหลือเป็นไนโตรเจน ผลของการบันทึกการทดสอบของเซลล์เชื้อเพลิงที่ติดต่อโดยทดสอบระหว่างแพลทินัมและ ruthenium จะไม่เป็นแนวโน้มที่ชัดเจน เมื่อพิจารณาโดยทดสอบระหว่างแพลทินัมและโมลิบดินัมต่อปริมาณการบันทึกการทดสอบของเซลล์เชื้อเพลิง พบว่าความทนทานต่อตัวเร่งปฏิกิริยาจะเป็นสัดส่วนกับสัดส่วนโดยน้ำหนักของโลหะสมรรถนะระหว่างแพลทินัมและโมลิบดินัม

## 2.10 ความสัมพันธ์กับงานวิจัยที่ทำการศึกษา

ในปัจจุบันยังไม่มีวิธีการไหนที่จะเก็บไฮโดรเจนที่บริสุทธิ์ให้พอดีเพียงสำหรับใช้ในเซลล์เชื้อเพลิง ซึ่งการเก็บไฮโดรเจนในเซลล์เชื้อเพลิงยังเป็นการเสี่ยงต่อการระเบิดและการยกใน การเติมไฮโดรเจนแต่ละครั้งหากไฮโดรเจนมหด เนื่องจากเป็นการเติมภายใต้ภาวะความดันสูง การเก็บไฮโดรเจนในรูปไฮโดรคาร์บอนแล้วผ่านกระบวนการรีฟอร์มมิ่งไปเป็นไฮโดรเจนจึงน่าสนใจ แต่วิธีการนี้มักมีคาร์บอนมอนอกไซด์ปนมากับกระบวนการรีฟอร์มมิ่งไปเป็นไฮโดรเจนจึงน่าสนใจ แต่การบันทึกการผลิตไฮโดรเจนในเซลล์เชื้อเพลิงลดลงอย่างเห็นได้ชัด ในการทดลองนี้จึงศึกษาการขัดคาร์บอนมอนอกไซด์ออกจากแก๊สเชื้อเพลิงโดยใช้ไฮโดรเจนเพอร์-

ออกไซด์เพื่อลดความเป็นพิษของคาร์บอนมอนอกไซด์ที่มีต่อตัวเร่งปฏิกิริยาสำหรับข้าวออนไลน์ โดยทำการขัดควรบอนมอนอกไซด์ออกจากแก๊สเชื้อเพลิงก่อนที่จะเข้าสู่ชั้นตัวเร่งปฏิกิริยา วิธีการที่ใช้ในงานวิจัยคือการเติมไฮโดรเจนเพอร์ออกไซด์ลงในส่วนให้ความชื้นของเซลล์เชื้อเพลิงทางด้านออนไลน์ ศึกษาผลของไฮโดรเจนเพอร์ออกไซด์ต่อตัวเร่งปฏิกิริยาที่ใช้ที่ข้าวออนไลน์ และผลต่อความหนาแน่นกระಡองเซลล์เชื้อเพลิงแบบเยื่อแผ่นเดียบเปลี่ยนไปต่อน

## บทที่ 3

### วิธีการทดลอง

#### 3.1 สารเคมีและอุปกรณ์ที่ใช้ในการวิจัย

##### 3.1.1 แก๊ส

- คาร์บอนมอนอกไซด์ (CO) 500 พีพีเอ็มโมลในไ媳โตรเจน จากบริษัท ไทยอินดัสเตรียลแก๊ส จำกัด (มหาชน)
- แก๊สมากมาตรฐาน (Standard Gas) คาร์บอนมอนอกไซด์ (CO) 250 พีพีเอ็มโมล และ คาร์บอนไดออกไซด์ (CO<sub>2</sub>) 100 พีพีเอ็มโมลในไ媳โตรเจน จากบริษัท ไทยอินดัสเตรียลแก๊ส จำกัด (มหาชน)
- ไ媳โตรเจน (H<sub>2</sub>) ความบริสุทธิ์สูง 99.999% จากบริษัท ไทยอินดัสเตรียลแก๊ส จำกัด (มหาชน)
- ออกซิเจนความบริสุทธิ์สูง 99.999% จากบริษัท เพรากซ์แอร์ (ประเทศไทย) จำกัด
- ไนโตรเจน (N<sub>2</sub>) บริสุทธิ์ 99.995% จากบริษัท ไทยอินดัสเตรียลแก๊ส จำกัด (มหาชน)

##### 3.1.2 สารเคมี

- ไ媳โตรเจนเพอร์ออกไซด์ (H<sub>2</sub>O<sub>2</sub>) AR grade 30 wt% จากเมอร์ค เยอรมัน
- เฟอრัส (II) ชัลเฟตไฮเดรต (FeSO<sub>4</sub>.7H<sub>2</sub>O) AR grade จาก เมอร์ค เยอรมัน
- โพแทสเซียมเพอร์เมงกานेट (KMnO<sub>4</sub>) AR grade จากเมอร์ค เยอรมัน
- โซเดียมออกซาเลต (Na<sub>2</sub>C<sub>2</sub>O<sub>4</sub>) AR grade จากเมอร์ค เยอรมัน
- กรดไ媳โตรคลอริก (HCl) 37 % จากเมอร์ค เยอรมัน
- กรดชัลฟิววิก (H<sub>2</sub>SO<sub>4</sub>) 98% จากเมอร์ค เยอรมัน

##### 3.1.3 อุปกรณ์

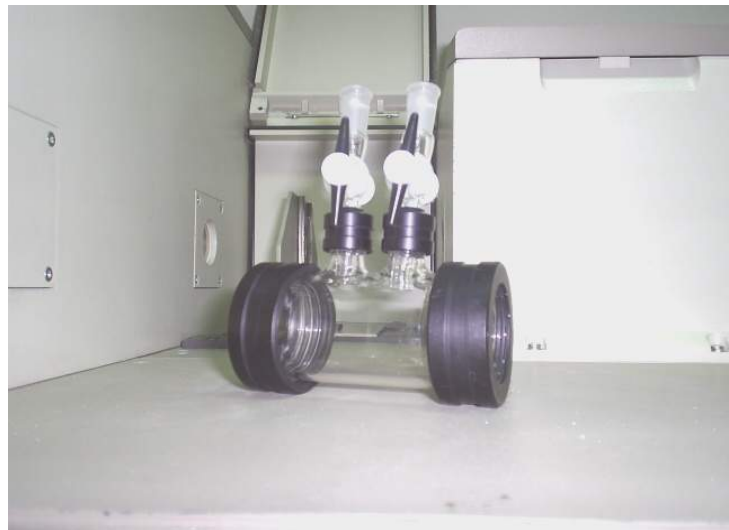
- Gas Chromatograph (GC): Thermo Finnigan 2000
- Fourier Transform Infrared Spectrometer (FT-IR): Perkin Elmer System 2000
- Potentiostat/Galvanostat: Autolab Module PGSTAT30

- ระบบท่อแลวาล์ว จาก Swagelock
- Gas reactor ทำจาก Borosilicate glass
- ชุดควบคุมอุณหภูมิโดยใช้ hot plate และดิจิตอลเทอร์โมมิเตอร์
- หลอด UV-C ขนาด 4 วัตต์ ความยาวคลื่น 254 นาโนเมตรของ Sylvania

### 3.2 เครื่องมือวิเคราะห์

#### 3.2.1 พริโอล์ฟรานส์ฟอร์ม อินฟราเรดสเปกโตรมิเตอร์ (Fourier Transform Infrared Spectrometer, FT-IR)

เครื่อง FT-IR ใช้สำหรับวิเคราะห์かるบอนมอนอกไซด์ที่เหลือและかるบอนไดออกไซด์ที่เกิดจากปฏิกิริยาระหว่างไฮโดรเจนเพอร์ออกไซด์และかるบอนมอนอกไซด์ 500 พีพีเคนซ์ในการทดลองจะเป็นการวิเคราะห์ในเชิงคุณภาพเท่านั้น โดยใช้แก๊สเซลล์ขนาดความยาว 10 เซนติเมตร เส้นผ่านศูนย์กลาง 4.8 เซนติเมตร หน้าต่างของเซลล์ (windows) ทำด้วยโพಡัลสเซียมบอร์มาอย (KBr) วัดการส่งผ่านแสง IR (% transmittance) ในช่วง  $4000 - 370 \text{ } \mu\text{m}^{-1}$  ในแต่ละเวลาที่ทำการศึกษาจะวิเคราะห์ช้า 10 ครั้งและนำมาเฉลี่ยที่เวลาเดียว ทำการวิเคราะห์ที่เวลา 0 2 4 8 และ 16 นาที แก๊สเซลล์แสดงในรูป 3.1

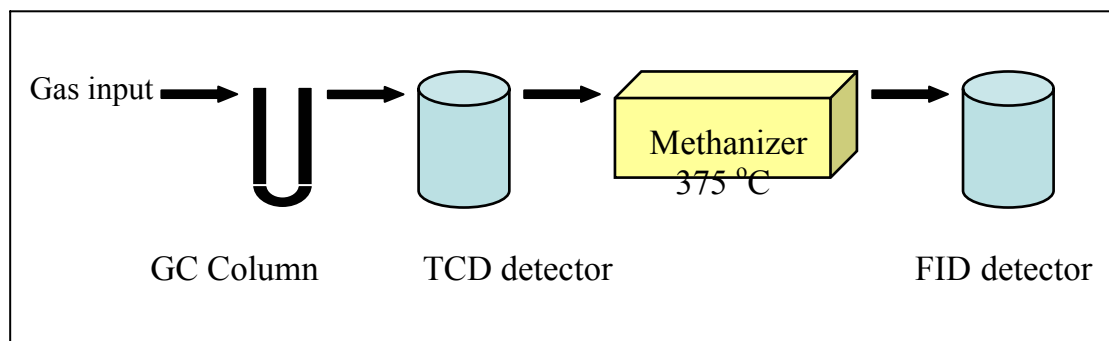


รูปที่ 3.1 แก๊สเซลล์ของเครื่อง FT-IR

### 3.2.2 แก๊สโครมาโทกราฟ (Gas Chromatograph, GC)

แก๊สจากปฏิกริยาระหว่างไฮโดรเจนเพอร์ออกไซด์และคาร์บอนมอนอกไซด์ 500 พีพีเอ็ม ในไฮโดรเจน ถูกวิเคราะห์เชิงปริมาณโดยใช้เครื่องแก๊สโครมาโทกราฟ (GC) ของ Thermo Finnigan Trace GC ที่มีระบบฉีดตัวอย่างเป็นแบบอัตโนมัติ ตั้งอุณหภูมิของ oven ไว้ที่  $120^{\circ}\text{C}$  ใช้ตัวอย่างปริมาณ 50  $\mu\text{l}$  ไมโครลิตรต่อหัวน้ำคั่ง คอลัมน์ที่ใช้คือ Carbosphere, 80/100 mesh เป็นสแตนเลส ความยาว 10  $\text{ft}$  เส้นผ่านศูนย์กลาง 1/8นิ้ว ใช้ในต่อจานเป็นแก๊สพานั่ง ขั้ตราชากว่าเหลของแก๊สพานั่ง 30 มิลลิลิตรต่อน้ำที่ อุณหภูมิของคอลัมน์  $130^{\circ}\text{C}$  คาร์บอนมอนอกไซด์และคาร์บอนไดออกไซด์จะถูกเปลี่ยนเป็นมีเทนโดย methanizer ที่ต่ออยู่ระหว่างคอลัมน์และดีเทคเตอร์ และตรวจวัดโดยไฟลามไออกอีนเซ็นซ์ดีเทคเตอร์ (FID) อุณหภูมิของ methanizer และดีเทคเตอร์ คือ  $375^{\circ}\text{C}$  และ  $150^{\circ}\text{C}$  ตามลำดับ สัญญาณที่ได้ถูกประมวลผลโดยใช้โปรแกรมของ Thermo Finnigan Chrome Card.

เครื่องแก๊สโครมาโทกราฟสอบเทียบด้วยแก๊สมารฐานคาร์บอนมอนอกไซด์และคาร์บอนไดออกไซด์ โครมาโทแกรมของแก๊สตัวอย่างที่ฉีดเข้าไปสามารถระบุตำแหน่งของคาร์บอนมอนอกไซด์และคาร์บอนไดออกไซด์ โดยเปรียบเทียบเวลา กับ โครมาโทแกรมที่ใช้แก๊スマารฐาน ปริมาณของแก๊สทั้ง 2 หาโดยการเปรียบเทียบกับพื้นที่ต่อกำฟของแก๊สมารฐาน ระบบการวิเคราะห์แสดงดังรูปที่ 3.2



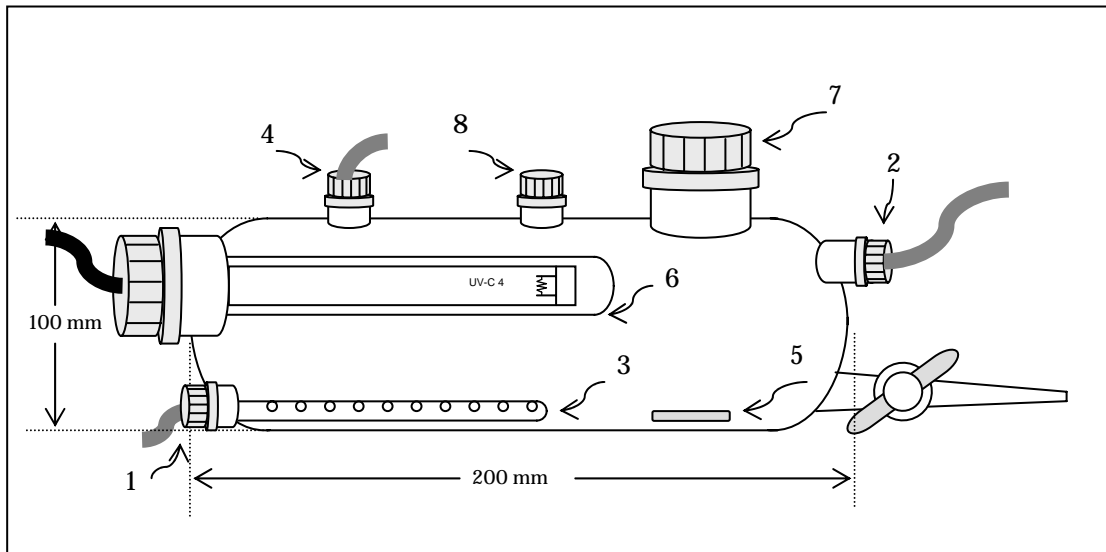
รูปที่ 3.2 ระบบการวิเคราะห์แก๊ส

### 3.2.3 ระบบควบคุมแก๊ส

ระบบควบคุมแก๊สประกอบด้วยวาล์ว, ท่อขนาด 1/8 นิ้ว, เครื่องควบคุมอัตราชาระบบไอล์ฟ์แก๊สปีก์ที่จะเริ่มการทำงานและเมื่อสิ้นสุดการทำงานแต่ละครั้งทำการล้างระบบด้วยไฮดรเจนผ่านวาล์วท่อ gas reactor และระบบจัดตัวอย่างของเครื่องแก๊สโคลามาโทกราฟประมาณ 15 นาที เพื่อไล่แก๊สปันเปื้อนที่อาจตกค้างในระบบ โดยเฉพาะคาร์บอนมอนอกไซด์และคาร์บอนไดออกไซด์ซึ่งหากปนอยู่อาจทำให้การทดลองเกิดการผิดพลาดได้ อัตราการไหลของแก๊สจะถูกควบคุมให้คงที่ตลอดการทดลองในอัตรา 50 มิลลิลิตรต่อนาที แก๊สเกิดจากปฏิกิริยาจะไหลผ่านมายังส่วนดักความชื้นซึ่งบรรจุซิลิกาเจลเพื่อจับความชื้นในแก๊สไม่ให้เข้าสู่เครื่องแก๊สโคลามาโทกราฟ

### 3.2.4 Gas Reactor

ในการทดลองนี้ คาร์บอนมอนอกไซด์ 500 พีพีเอ็มในไฮดรเจนจะทำปฏิกิริยากับไฮดรเจนเพอร์ออกไซด์ใน gas reactor แสดงดังรูปที่ 3.3 ซึ่งจำลองมาจากส่วนให้ความชื้นของเซลล์เชือเพลิงแบบเยื่อแผ่นแลกเปลี่ยน proton โดย gas reactor ทำด้วย borosilicate glass มีปริมาตร 500 มิลลิลิตร ความยาว 200 มิลลิเมตร เส้นผ่าศูนย์กลาง 100 มิลลิเมตร มีหลอด UV ขนาด 4 วัตต์ อยู่ภายใต้แสงดังรูปที่ 3.4 เสียบอยู่ภายใต้ควบคุมหภูมิโดยใช้อ่างน้ำร้อนวางบนแผ่นให้ความร้อน อ่างคุณหภูมิโดยใช้เทอร์โมมิเตอร์แบบดิจิตอล แก๊สตั้งต้นจะผ่านเข้าด้านล่างของ gas reactor และทำปฏิกิริยากับสารละลายไฮดรเจนเพอร์ออกไซด์ที่บรรจุอยู่ภายใต้แก๊สที่เกิดจากปฏิกิริยาจะผ่านออกมาทางด้านบนของ gas reactor

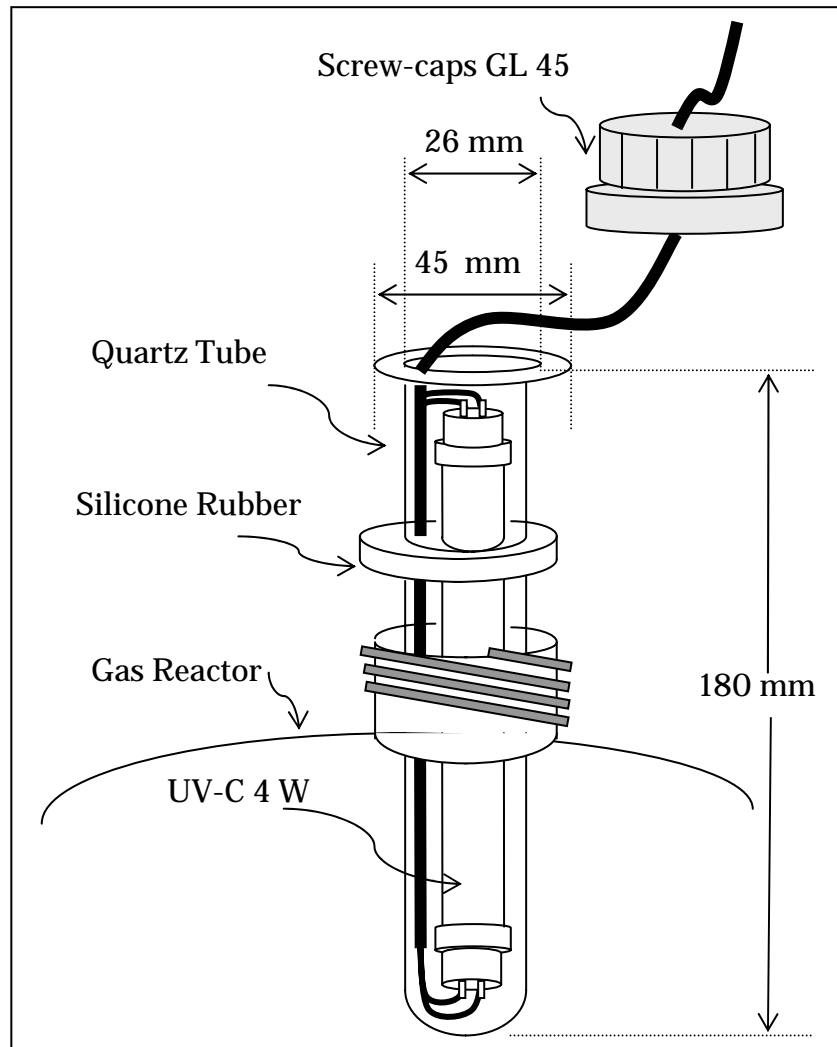


รูปที่ 3.3 Gas Reactor

ส่วนประกอบต่างๆของ gas reactor มีดังนี้

- 1) ทางเข้าของแก๊ส ขนาดเกลี่ย瓦 GL14, ขนาดห่อ 1/8 นิ้ว
- 2) ทางออกของแก๊ส ขนาดเกลี่ย瓦 GL14 ขนาดห่อ 1/8 นิ้ว
- 3) หลอดแก้วยาวเจาะเป็นรูเล็กหลายรู เพื่อให้แก๊สที่ผ่านเข้ามาเกิดเป็นฟองเล็กๆ เพื่อให้สามารถเกิดปฏิกิริยาได้ดี
- 4) ทางเข้าของไฮโดรเจนที่ใช้ไล่แก๊สที่ตกค้างในระบบ ขนาดเกลี่ย瓦 GL14, ขนาดห่อ 1/8 นิ้ว
- 5) แท่งคันแม่เหล็กใช้กวนสารละลายให้เข้ากันด้วยความเร็ว 250 รอบ/นาที
- 6) หลอดบรรจุหลอด UV 4 วัตต์ ขนาดเกลี่ย瓦 GL 45
- 7) ช่องเติมสารละลายไฮโดรเจนเพอร์ออกไซด์ ขนาดเกลี่ย瓦 GL 45
- 8) ช่องสำรอง ขนาดเกลี่ย瓦 GL14

ส่วนต่อต่างๆระหว่างแก๊ส ห่อ หรือจากปิดจะใช้ยางซิลิโคนหรือห่วงยางซิลิโคนรองเสมอ เพื่อป้องกันการรั่วของแก๊ส

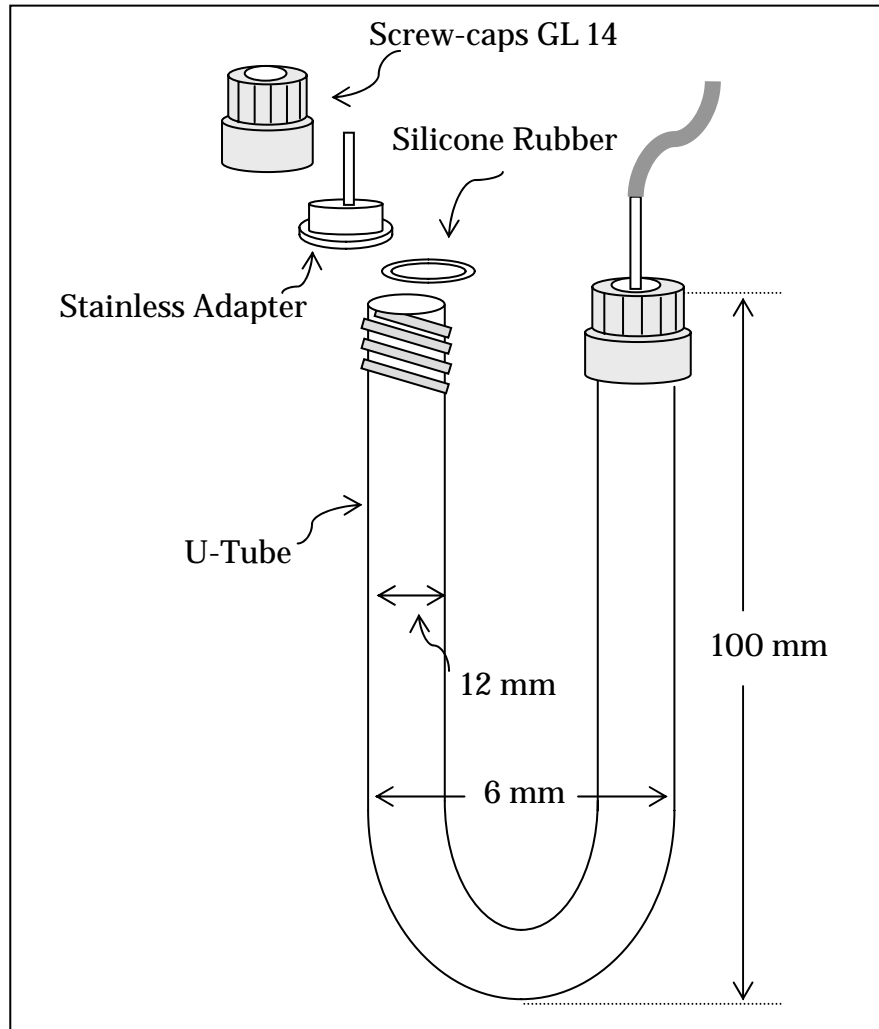


รูปที่ 3.4 หลอด UV

### 3.2.5 U-Tube Reactor

ในการทดสอบผลของไฮโดรเจนเพอร์ออกไซด์ที่มีต่อตัวเร่งปฏิกิริยา (catalyst) ที่ใช้สำหรับขั้วเอนไซด์ของเซลล์เชือกเพลิง จะใช้ตัวเร่งปฏิกิริยา 3 ตัว คือ Pt 10 %wt/Vulcan XC-72, Pt 20 %wt/Vulcan XC-72 และ Pt 20 %wt-Ru 10%wt/Vulcan XC-72 บรรจุใน U-tube reactor ซึ่งเป็นหลอดแก้วรูปตัวยู ทำจาก borosilicate glass ขนาดเส้นผ่าศูนย์กลาง 5 มิลลิเมตร ความยาว 80 มิลลิเมตร ขนาดเกลียว GL12 ต่อกับหัวขนาด 1/8 นิ้ว ตัวเร่งปฏิกิริยาจะถูกบรรจุอยู่ระหว่างไบคาวท์ แก๊สปฏิกิริยาที่ออกมากจาก gas reactor จะผ่านเข้ามาที่ด้านหนึ่งของ U-tube reactor เจรจาตัวเร่งปฏิกิริยาที่อยู่ใน U-tube reactor และผ่านออกไปอีกด้านหนึ่ง ผ่านไปยังส่วนดักความชื้น ผ่านเข้าสู่เครื่องแก๊สโคลโนกราฟเพื่อวิเคราะห์ชนิดและปริมาณของแก๊สผลิตภัณฑ์

อุณหภูมิของ U-tube reactor ควบคุมโดยใช้อ่างน้ำร้อนวางบน hot plate อ่านอุณหภูมิโดยใช้เทอร์โมมิเตอร์แบบดิจิตอล รูป U-tube reactor ที่มีตัวเร่งปฏิกิริยาบรรจุอยู่ แสดงในรูป 3.5



รูปที่ 3.5 U-Tube Reactor

### 3.2.6 ชุดทดสอบเซลล์เชื้อเพลิง (Fuel Cell Test Station)

ความหนาแน่นของกระแสทดสอบโดยชุดทดสอบเซลล์เชื้อเพลิงแบบเยื่อแผ่นแลกเปลี่ยนประตอน ซึ่งส่วนประกอบของชุดทดสอบแบ่งออกเป็น 4 ส่วนหลัก

- ส่วนควบคุมอัตราการไหล (mass flow controller): ของ MKS Instrument รุ่น M100 ใช้สำหรับควบคุมอัตราการไหลของไอกิดรเจนที่ข้าวแครอเนด ออกซิเจนที่ข้าวแคโกร และไนโตรเจนที่ใช้เป็นแก๊สสำหรับໄล์ทำความสะอาดระบบ

- ส่วนให้ความชื้น (Humidifier): ทำจากสแตนเลสทั้งทางด้านนอกและในด้านใน และแค็ตode
- ส่วนวิเคราะห์โวลต์และความหนาแน่นกระแส (Voltage and Current Density Measurement): ใช้เครื่อง Potentiostat/Galvanostat สำหรับวัดความหนาแน่นกระแสในเซลล์เชือเพลิง
  - เซลล์เชือเพลิงแบบเยื่อแผ่นแลกเปลี่ยนโปรตอน (Proton Exchange Membrane Fuel Cell, PEMFC): ของบริษัท ElectroChem, Inc. รุ่น FC05-01SP-REF ส่วน Membrane Electrode Assembly (MEA) เตรียมโดยการอัด

### 3.3 กระบวนการทดลอง

- ส่วนของการทดลองจะแบ่งออกเป็น 4 ส่วน ซึ่งแผนผังขั้นตอนการทดลองแสดงในรูป 3.6
- **ส่วนที่ 1** ศึกษาปฏิกิริยาระหว่างไฮโดรเจนเพอร์ออกไซด์และคาร์บอนมอนอกไซด์ 500 พีพีเอ็ม ในไฮโดรเจน วิเคราะห์แก๊สที่เกิดจากปฏิกิริยาด้วยเครื่อง FT-IR
  - **ส่วนที่ 2** ศึกษาภาวะที่ดีที่สุดในการจัดคาร์บอนมอนอกไซด์ด้วยไฮโดรเจนเพอร์ออกไซด์ วิเคราะห์แก๊สที่เกิดจากปฏิกิริยาด้วยเครื่องแก๊สโคลมาโทกราฟ
  - **ส่วนที่ 3** ศึกษาผลของการใช้ไฮโดรเจนเพอร์ออกไซด์ในการจัดคาร์บอนมอนอกไซด์ต่อตัวเร่งปฏิกิริยาที่ใช้สำหรับขั้วเอนเดคของเซลล์เชือเพลิง
  - **ส่วนที่ 4** ศึกษาผลของการใช้ไฮโดรเจนเพอร์ออกไซด์ในการลดคาร์บอนมอนอกไซด์ต่อค่าความหนาแน่นกระแส (current density) ของเซลล์เชือเพลิง

**ส่วนที่ 1:** ศึกษาปฏิกิริยาระหว่าง CO และ  $H_2O_2$  ทำ  
การวิเคราะห์โดย FT-IR



**ส่วนที่ 2:** ศึกษาภาวะที่ดีที่สุดในการขัด CO โดยใช้  
 $H_2O_2$  ทำการวิเคราะห์โดยใช้ GC



- ผลของความเข้มข้นของไฮโดรเจนเพอร์ออกไซด์



- ผลของอุณหภูมิที่ทำปฏิกิริยา



- ผลของตัวเร่งปฏิกิริยาโลหะ



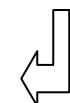
- ผลของแสง UV



- ผลของ pH ต่อปฏิกิริยาที่ใช้เฟอร์รัสไอคอน



- ผลของปริมาณเฟอร์รัสไอคอนต่อปฏิกิริยา



**ส่วนที่ 3:** ศึกษาผลของการขัด CO โดยใช้  $H_2O_2$  ต่อสมรรถนะของ  
ตัวเร่งปฏิกิริยาสำหรับขั้วแอดโนดของเซลล์เชื้อเพลิง



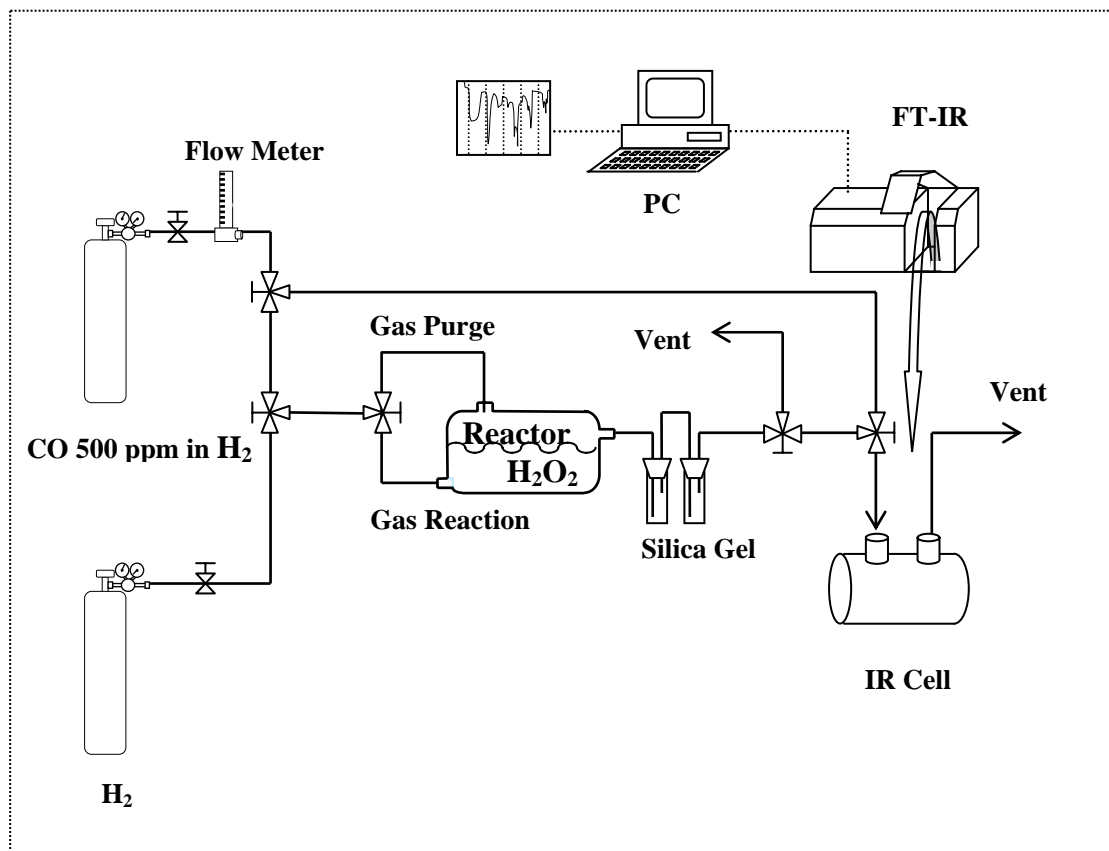
**ส่วนที่ 4:** ศึกษาผลของการขัด CO โดยใช้  $H_2O_2$  ต่อความหนาแน่น  
กระแสของเซลล์เชื้อเพลิง

รูปที่ 3.6 แผนผังการทำงาน

### 3.3.1 การทดลองในส่วนที่ 1

ศึกษาปฏิกิริยาระหว่างไฮโดรเจนเพอร์ออกไซด์และคาร์บอนมอนอกไซด์ 500 พีพีเอ็มในไฮโดรเจน วิเคราะห์แก๊สที่เกิดจากปฏิกิริยาด้วยเครื่อง FT-IR

**เครื่อง FT-IR** ใช้สำหรับวิเคราะห์คาร์บอนไดออกไซด์ที่เกิดจากปฏิกิริยาและคาร์บอนมอนอกไซด์ที่เหลือจากการเกิดปฏิกิริยา แต่การวิเคราะห์ด้วย FT-IR จะใช้วิเคราะห์เชิงคุณภาพได้เท่านั้น ไม่สามารถวิเคราะห์เชิงปริมาณได้ เนื่องจากคาร์บอนไดออกไซด์และคาร์บอนมอนอกไซด์มีค่าการดูดกลืนแสง IR ที่ต่ำ พีคของแก๊สทั้ง 2 จึงไม่สูงมากนัก ประกอบกับไม่สามารถควบคุมปริมาณของคาร์บอนไดออกไซด์ในสิ่งแวดล้อมให้คงที่ได้ ดังนั้นความแม่นยำในการทดสอบที่เวลาต่างๆ กันจึงไม่คงที่ อีกทั้งความซึ่งของแก๊สที่ออกจาก gas reactor จะทำให้หน้าต่างของแก๊สเซลล์ที่ทำการประมวลผลลายได้ แต่อย่างไรก็ตามการวิเคราะห์ด้วย FT-IR สามารถใช้ศึกษาคาร์บอนไดออกไซด์ที่เกิดจากปฏิกิริยาระหว่างคาร์บอนมอนอกไซด์และไฮโดรเจนเพอร์ออกไซด์ได้เพื่อเป็นแนวทางในการศึกษาในส่วนต่อไป การวิเคราะห์ด้วย IR แสดงดังรูปที่ 3.7

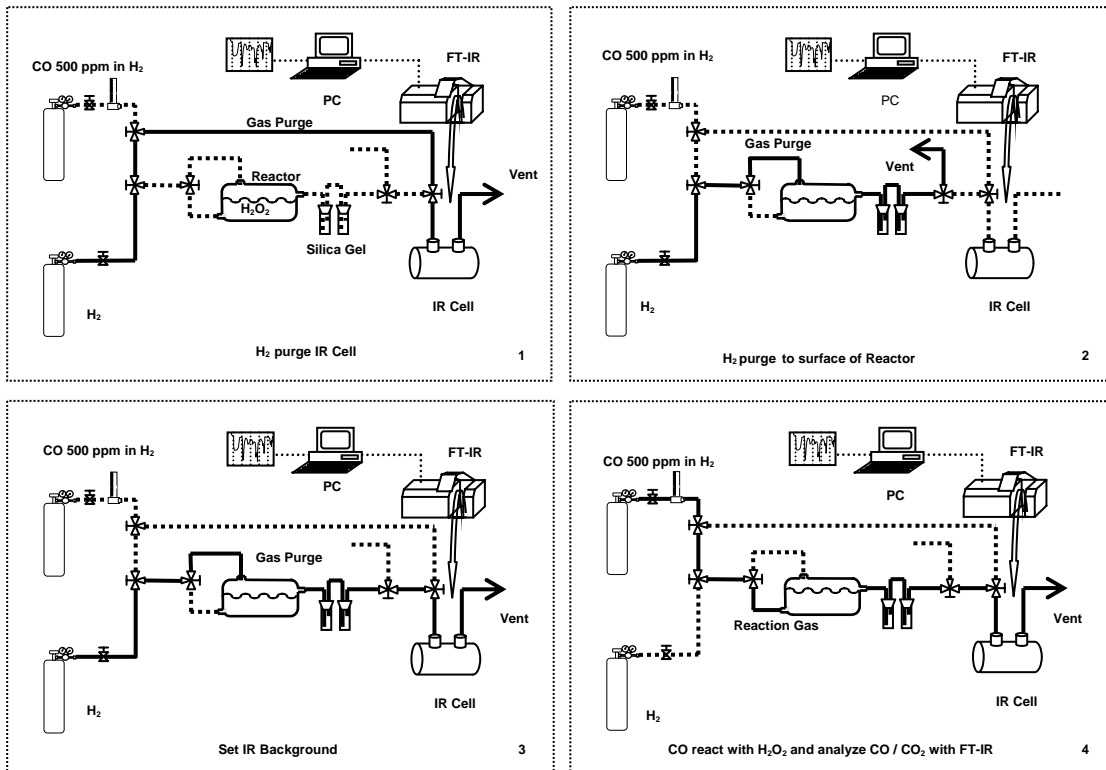


รูปที่ 3.7 การวิเคราะห์โดยใช้ FT-IR

## ขั้นตอนการดำเนินงาน

ในส่วนแรกนี้ FT-IR ใช้สำหรับวิเคราะห์แก๊สผลิตภัณฑ์ซึ่งก็คือคาร์บอนไดออกไซด์ที่เกิดขึ้นระหว่างปฏิกิริยาของคาร์บอนมอนอกไซด์ 500 พีพีเอ็มในไฮโดรเจนและไฮโดรเจนเพอร์ออกไซด์ 30% w/v ที่อุณหภูมิ 30 °C เนื่องจากการใช้เทคนิคทาง IR สามารถวิเคราะห์แก๊สผลิตภัณฑ์ได้อย่างรวดเร็วทุกๆนาที เทคนิคทาง IR ใช้วิเคราะห์แก๊สเชิงคุณภาพได้ดี แต่การวิเคราะห์เชิงปริมาณทำได้ยาก ขั้นตอนการวิเคราะห์คือ

- 1) ก่อนเริ่มทำการทดลองทำการไอลร์ระบบด้วยไฮโดรเจนเพื่อไอลร์แก๊สอินฟ้าที่ปนอยู่ในระบบ แสดงในรูป 3.8 (1)
- 2) เติมสารละลายน้ำไฮโดรเจนเพอร์ออกไซด์ 30 %w/v ปริมาณ 250 มิลลิลิตร ลงใน gas reactor ผ่านไฮโดรเจนเข้าไปที่ผิวน้ำของ gas reactor เป็นเวลาประมาณ 15 นาที เพื่อไอลร์แก๊สอินฟ้าที่ปนอยู่ในระบบ แสดงในรูป 3.8 (2)
- 3) เปิดวาล์วให้ไฮโดรเจนผ่านเข้า IR แก๊สเซลล์ วัดการดูดกลืนแสง IR เป็นค่าพื้นหลัง (background) ถ้ามีพีคของคาร์บอนไดออกไซด์และหรือคาร์บอนมอนอกไซด์ปรากฏอยู่ให้ ผ่านไฮโดรเจนต่อไปอีกและวัดการดูดกลืนแสง IR ใหม่จนไม่มีพีคทั้ง 2 อีก แสดงในรูป 3.8 (3)
- 4) คาร์บอนมอนอกไซด์ 500 พีพีเอ็มในไฮโดรเจนผ่านเข้าสู่ด้านล่างของ gas reactor ด้วยอัตรา 50 มิลลิลิตรต่อนาที คาร์บอนมอนอกไซด์จะทำปฏิกิริยากับสารละลายน้ำไฮโดรเจนเพอร์ออกไซด์เกิดเป็นคาร์บอนไดออกไซด์ ผ่านส่วนดักความชื้น และเข้าสู่แก๊สเซลล์ วัดการดูดกลืนแสง IR ของคาร์บอนไดออกไซด์ที่ประมาณ  $2300 \text{ ซม}^{-1}$  และคาร์บอนมอนอกไซด์ที่ประมาณ  $2100 \text{ ซม}^{-1}$  ในเวลา 0 2 4 8 และ 16 นาที แสดงดังรูป 3.8 (4)
- 5) ทำซ้ำขั้นตอน 1 – 4 แต่ใช้น้ำกลั่นแทนไฮโดรเจนเพอร์ออกไซด์ 30%w/v
- 6) เปรียบเทียบพื้นที่ใต้กราฟของคาร์บอนไดออกไซด์ที่เวลาต่างๆระหว่างการใช้ไฮโดรเจนเพอร์ออกไซด์ 30%w/v และการใช้น้ำกลั่น

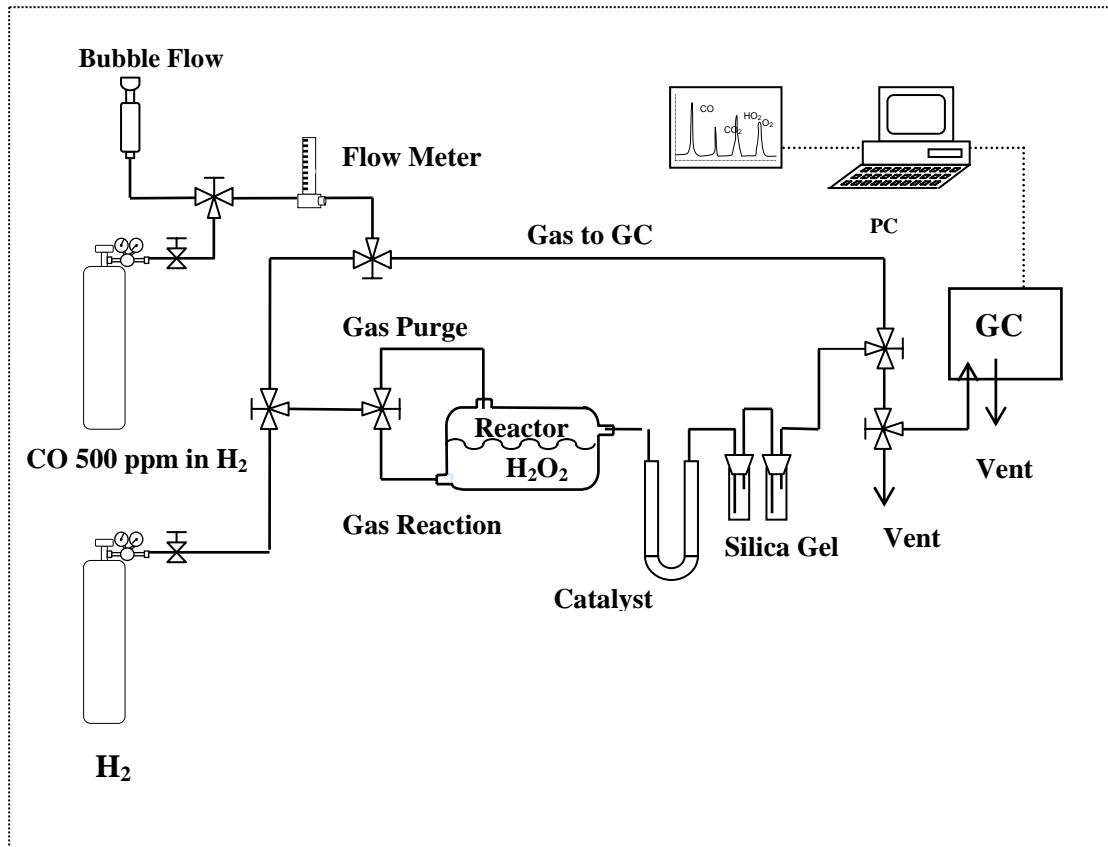


รูปที่ 3.8 ขั้นตอนการวิเคราะห์โดย FT-IR

### 3.3.2 การทดลองในส่วนที่ 2

ศึกษาภาวะที่ดีที่สุดในการขัดค่าวับอนมอนอกไชด์ด้วยไฮโดรเจนเพอร์ออกไซด์วิเคราะห์แก๊สที่เกิดจากปฏิกิริยาด้วยเครื่องแก๊สโคลามาโทกราฟ

ในส่วนนี้จะวิเคราะห์แก๊สที่เกิดจากปฏิกิริยาระหว่างคาร์บอนมอนอกไชด์และสารละลายไฮโดรเจนเพอร์ออกไซด์ โดยใช้เครื่องแก๊สโคลามาโทกราฟ เครื่องมือวิเคราะห์ในส่วนนี้ประกอบด้วยระบบควบคุมแก๊ส gas reactor และเครื่องแก๊สโคลามาโทกราฟ แสดงในรูป 3.9 การวิเคราะห์ด้วยแก๊สโคลามาโทกราฟสามารถวิเคราะห์ได้ทั้งเชิงคุณภาพและเชิงปริมาณ โดยในการทดลองส่วนนี้จะหาภาวะที่ดีที่สุดในการลดปริมาณคาร์บอนมอนอกไชด์ด้วยไฮโดรเจนเพอร์ออกไซด์ ภาวะที่ศึกษาคือผลของการเข้มข้นเริ่มต้นของไฮโดรเจนเพอร์ออกไซด์ ผลของอุณหภูมิ ผลของตัวเร่งปฏิกิริยา โลหะ ผลของแสง UV-C และผลของเฟอร์รัสไออ่อน โดยจะวิเคราะห์หาปริมาณคาร์บอนไดออกไซด์ที่เกิดขึ้น ณ เวลาต่างๆ ตั้งแต่ 0 ถึง 155 นาที ปริมาณคาร์บอนไดออกไซด์ที่เกิดขึ้นสามารถบอกรถึงอัตราการการเกิดปฏิกิริยาระหว่างสารตั้งต้นได้



รูปที่ 3.9 แผนผังการทำงานของการวิเคราะห์โดยใช้แก๊สโคลมาโทกราฟ

### 3.3.2.1 ผลของความเข้มข้นของไฮโดรเจนเพอร์ออกไซด์

ผลของความเข้มข้นเริ่มต้นของไฮโดรเจนเพอร์ออกไซด์ที่มีต่อการลดปริมาณคาร์บอนมอนอกไซด์ศึกษาที่อุณหภูมิคงที่  $30^{\circ}\text{C}$  ความดันบรรยากาศ (ตารางแสดงค่าตัวแปรต่างๆ ในการทดลองแสดงในภาคผนวก ก ตาราง ก-1)

#### ขั้นตอนการทดลอง

- 1) เตรียมสารละลายน้ำมันไฮโดรเจนเพอร์ออกไซด์ 5 10 20 และ 30 %w/v โดยเจือจางสารละลายน้ำมันไฮโดรเจนเพอร์ออกไซด์ 33 %w/v ด้วยน้ำกลั่น
- 2) เติมสารละลายน้ำมันไฮโดรเจนเพอร์ออกไซด์ 5 %w/v 250 มิลลิลิตร ลงใน gas reactor ผ่านไฮโดรเจนเข้าสู่ระบบของเครื่องแก๊สโคลมาโทกราฟเพื่อไล่แก๊สที่ตกค้างในระบบ ตรวจสอบโดยใช้เครื่องแก๊สโคลมาโทกราฟถ้ายังคงมีให้ผ่านไฮโดรเจนต่อไปอีก แสดงใน รูป 3.10 (1)
- 3) เมื่อแก๊สปนเปื้อนที่ตกค้างในระบบหมดไปจากระบบแล้ว ผ่านแก๊สมากต์รู๊ฟ (standard gas) คาร์บอนมอนอกไซด์ 250 พีพีเอ็ม/คาร์บอนไดออกไซด์ 100 พีพีเอ็มเข้าสู่เครื่อง

แก๊สโครมาโทกราฟ ด้วยอัตรา 50 มิลลิลิตร/นาที ระยะเวลาที่แก๊สทั้ง 2 ออกมาจากคลัมป์ (retention time) สร้างกราฟมาตรฐานระหว่างพื้นที่ใต้กราฟกับปริมาณคาร์บอนมอนอกไซด์ 250 พีพีเอ็ม และคาร์บอนไดออกไซด์ 100 พีพีเอ็ม แสดงในรูป 3.10 (2)

4) ผ่านไฮดรเจนเข้าสู่ผิวน้ำของ gas reactor ประมาณ 15 นาที เพื่อไล่แก๊สที่ติดค้างในระบบ ตรวจสอบโดยใช้เครื่องแก๊สโครมาโทกราฟ แสดงในรูป 3.10 (3)

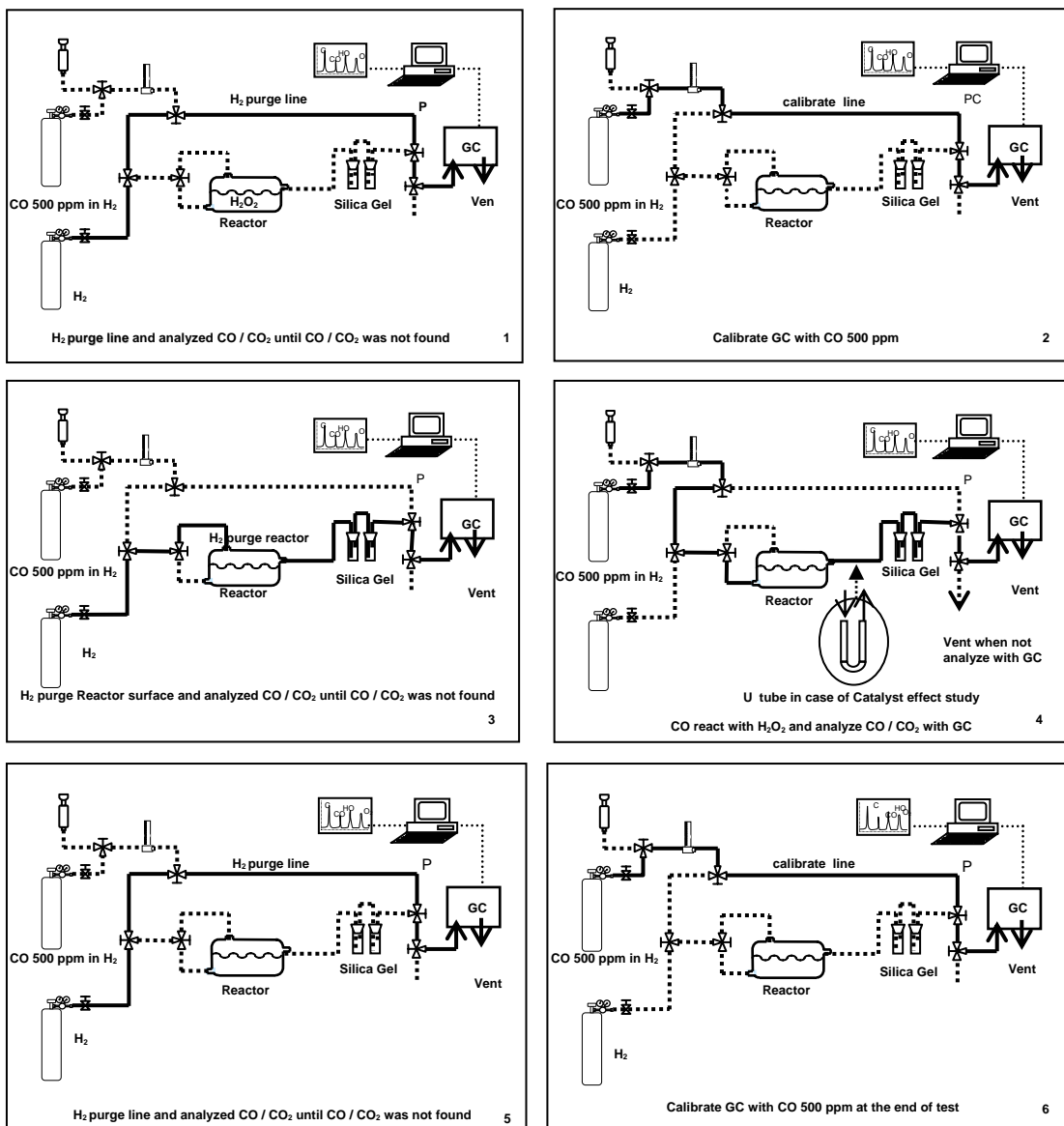
5) ผ่านคาร์บอนมอนอกไซด์ 500 พีพีเอ็ม ในไฮดรเจนเข้าสู่ด้านล่างของ gas reactor ด้วยอัตรา 50 มิลลิลิตร/นาที แก๊สปฏิกิริยาที่ได้ออกจาก gas reactor ทางด้านบน เข้าสู่ส่วนดักความชื้น hab ปริมาณคาร์บอนไดออกไซด์ที่เกิดขึ้น ณ เวลา 0 5 20 35 50 65 80 95 110 125 140 และ 155 นาทีด้วยเครื่องแก๊สโครมาโทกราฟ แสดงในรูป 3.10 (4)

6) เมื่อสิ้นสุดการทดลอง ผ่านไฮดรเจนเข้าสู่ระบบ瓦ล์วของเครื่องแก๊สโครมาโทกราฟเพื่อไล่แก๊สปนเปื้อนที่อาจค้างในระบบ ตรวจสอบว่ามีแก๊สปนเปื้อนในระบบหรือไม่โดยใช้เครื่องแก๊สโครมาโทกราฟ แสดงในรูป 3.10 (5) เมื่อคาร์บอนมอนอกไซด์และคาร์บอนไดออกไซด์หมดไปจากระบบแล้ว ผ่านแก๊สมาร์ฐานคาร์บอนมอนอกไซด์ 250 พีพีเอ็ม/คาร์บอนไดออกไซด์ 100 พีพีเอ็ม เข้าสู่เครื่องแก๊สโครมาโทกราฟ ด้วยอัตรา 50 มิลลิลิตร/นาที อีกครั้งหนึ่ง พื้นที่ใต้กราฟของแก๊สทั้ง 2 ในตอนแรก (ข้อ 3) และครั้งหลัง ต้องไม่แตกต่างกันอย่างมีนัยสำคัญแสดงในรูป 3.10 (6)

7) เริ่มการทดลองใหม่โดยเปลี่ยนเป็นสารละลายไฮดรเจนเพอร์ออกไซด์ 10 20 และ 30 %w/v แทน ทำซ้ำข้อ 2 – 6

8) หา %CO Conversion สร้างกราฟระหว่าง %CO Conversion ที่เวลาต่างๆ ในแต่ละความเข้มข้นของสารละลายไฮดรเจนเพอร์ออกไซด์ที่ใช้

9) ทำการทดลองซุดควบคุมโดยใช้น้ำแทนสารละลายไฮดรเจนเพอร์ออกไซด์



รูปที่ 3.10 ขั้นตอนการวิเคราะห์โดยแก๊สโคลร์มาโทกราฟ

### 3.3.2.2 ผลของอุณหภูมิต่อปฏิกิริยา

ในการศึกษาถึงผลของอุณหภูมิที่ต่อปฏิกิริยาจะห่วงคาร์บอนมอนอกไซด์ และไฮโดรเจนเพอร์ออกไซด์จะทำการทดลองใน gas reactor โดยอุณหภูมิที่ทำการทดลองจะควบคุมโดยใช้ถ่านน้ำร้อนซึ่งให้ความร้อนโดย hot plate อุณหภูมิที่ทำการศึกษาจะอยู่ที่ 30 °C – 50 °C และ 70 °C และความเข้มข้นของไฮโดรเจนเพอร์ออกไซด์ที่ใช้จะเท่ากันทุกๆ การทดลองโดยใช้ค่าความเข้มข้นที่ให้ค่า %CO Conversion สูงที่สุดในการศึกษาถึงผลของความเข้มข้นในการทดลอง

#### 3.3.2.1 ขั้นตอนในการทดลอง เช่นเดียวกับการศึกษาผลของการเพิ่มขั้นของ

ไฮโดรเจนเพอร์ออกไซด์ในข้อ 3.3.2.1 ข้อ 2 - 7 และในข้อ 7 เปลี่ยนตัวแปรจากความเข้มข้นของไฮโดรเจนเพอร์ออกไซด์เป็นอุณหภูมิของ gas reactor ที่  $30^{\circ}\text{C}$   $50^{\circ}\text{C}$  และ  $70^{\circ}\text{C}$  แทน (ตารางแสดงค่าตัวแปรต่างๆในการทดลองแสดงในภาคผนวก ก ตาราง ก-2)

### 3.3.2.3 ผลของตัวเร่งปฏิกิริยาโลหะ

ตัวเร่งปฏิกิริยาโลหะที่ใช้ในการทดลองนี้คือสแตนเลส 316 เป็นวัสดุที่เป็นส่วนประกอบของระบบการทำงานของเซลล์เชื่อมไฟฟ้ายังเหลว โดยเป็นส่วนประกอบของระบบท่อและวาล์ว ต่างๆ สแตนเลสสามารถเจงการถลายตัวของไฮโดรเจนเพอร์ออกไซด์ให้เกิดขึ้นอย่างช้าๆ โดยเกิดเป็นพันธะระหว่างโลหะ และ OH radical ที่ได้มาจากการถลายตัวอย่างช้าๆ ของไฮโดรเจนเพอร์ออกไซด์ ในการศึกษาถึงผลของตัวเร่งปฏิกิริยาโลหะจะทำการศึกษาควบคู่ไปกับอุณหภูมิ เพื่อที่จะศึกษาถึงค่า %CO Conversion ที่เวลาต่างๆ

ในการทดลองจะใช้ไฮโดรเจนเพอร์ออกไซด์ที่ระดับความเข้มข้นที่ให้ค่า %CO Conversion สูงสุดซึ่งได้จากข้อ 3.3.2.1 พร้อมกับใส่ท่อสแตนเลสที่ตัดเป็นท่อนสั้นๆ ไปใน gas reactor ด้วย ขั้นตอนการทดลองเช่นเดียวกับการศึกษาผลของความเข้มข้นของไฮโดรเจนเพอร์ออกไซด์ในข้อ 3.3.2.1 ข้อ 2 - 7 และในข้อ 7 เปลี่ยนตัวแปรจากความเข้มข้นของไฮโดรเจนเพอร์ออกไซด์เป็นอุณหภูมิของ gas reactor ที่  $30^{\circ}\text{C}$   $50^{\circ}\text{C}$  และ  $70^{\circ}\text{C}$  แทน (ตารางแสดงค่าตัวแปรต่างๆในการทดลองแสดงในภาคผนวก ก ตาราง ก-3)

### 3.3.2.4 ผลของการใช้แสง UV-C

ในการศึกษาถึงผลของ UV-C ในการเจงปฏิกิริยาการถลายตัวของไฮโดรเจนเพอร์ออกไซด์ จะใช้แสง UV ที่มีความยาวคลื่น 254 นาโนเมตร เนื่องจากความยาวคลื่นระดับนี้สามารถทำให้ไฮโดรเจนเพอร์ออกไซด์ถลายตัวออกเป็น OH radical ได้มากกว่า ใน การทดลองจะทำการศึกษาควบคู่ไปกับผลของอุณหภูมิ เพื่อต้องการศึกษาว่าที่อุณหภูมิต่างๆ การฉายแสง UV จะมีผลต่อค่า %CO Conversion ต่างกันหรือไม่ โดยอุณหภูมิที่ทำการศึกษาจะอยู่ที่  $30^{\circ}\text{C}$   $50^{\circ}\text{C}$  และ  $70^{\circ}\text{C}$

การทดลองจะใช้ไฮโดรเจนเพอร์ออกไซด์ที่ระดับความเข้มข้นที่ให้ค่า %CO Conversion สูงสุดในข้อ 3.3.2.1 พร้อมกับประกอบชุดหลอด UV ลงไปใน gas reactor ด้วย โดยไม่ต้องใส่ท่อสแตนเลส ขั้นตอนการทดลองเช่นเดียวกับการศึกษาผลของความเข้มข้นของไฮโดรเจนเพอร์ออกไซด์ในข้อ 3.3.2.1 ข้อ 2 - 7 และในข้อ 7 เปลี่ยนตัวแปรจากความเข้มข้นของไฮโดรเจนเพอร์ออกไซด์เป็นอุณหภูมิของ gas reactor ที่  $30^{\circ}\text{C}$   $50^{\circ}\text{C}$  และ  $70^{\circ}\text{C}$  แทน

ในการทดลองนี้เมื่อได้อุณหภูมิที่ให้ค่า %CO Conversion สูงสุดแล้ว ทดสอบผลของ สแตนเลส รวมกับผลของ UV โดยใส่ท่อสแตนเลสที่ตัดเป็นท่อนสั้นๆ พร้อมกับชุดหลอด UV ลงไป ใน gas reactor และใช้ความเข้มข้นของไฮโดรเจนเพอร์ออกไซด์และอุณหภูมิที่ให้ค่า %CO Conversion สูงสุด ทดสอบตามขั้นตอนข้อ 3.4.2.1 (ตารางแสดงค่าตัวแปรต่างๆ ในการทดลอง แสดงในภาคผนวก ก ตาราง ก-4)

### 3.3.2.5 ผลของเฟอร์สไอกอน

ในการศึกษาถึงผลของเฟอร์สไอกอน ( $Fe^{2+}$ ) จะใช้เฟอร์สเซลเฟต ( $FeSO_4 \cdot 7H_2O$ ) ในการ ขัดคาร์บอนมอนอกไซด์ที่ปนมาในกระแสงเชือเพลิง เนื่องจากในงานวิจัยต่างๆ ที่ศึกษาพบว่า เฟอร์สไอกอน สามารถเร่งการสลายตัวของไฮโดรเจนเพอร์ออกไซด์ได้ จึงเป็นปฏิกิริยาที่ช่วยเสริม กับ UV เนื่องจากทั้งปฏิกิริยาระหว่างเฟอร์สไอกอนกับไฮโดรเจนเพอร์ออกไซด์และปฏิกิริยา ระหว่างแสง UV กับไฮโดรเจนเพอร์ออกไซด์ต่างช่วงกันเร่งการสลายตัวของ ไฮโดรเจนเพอร์ออกไซด์ทั้งคู่ จึงน่าสนใจที่จะนำมาศึกษาถึงผลของปฏิกิริยานี้ต่อการขัด คาร์บอนมอนอกไซด์ ปฏิกิริยาของไฮโดรเจนเพอร์ออกไซด์รวมกับเฟอร์สไอกอนและแสง UV เรียกว่าโฟโตเฟนตอน (Photo-Fenton) อุณหภูมิที่ทำการศึกษาจะอยู่ที่  $30^{\circ}C$  เนื่องจาก ปฏิกิริยาโฟโตเฟนตอนเป็นปฏิกิริยาสายความร้อน จึงเกิดได้ที่อุณหภูมิต่ำ ความเข้มข้นของ ไฮโดรเจนเพอร์ออกไซด์ที่ใช้จะเป็นความเข้มข้นที่ให้ค่า %CO Conversion สูงที่สุดที่ได้จากการ ทดลองที่ผ่านมา อัตราการเกิดปฏิกิริยาโฟโตเฟนตอน จะขึ้นกับ pH และปริมาณของเฟอร์ส ไอกอนเป็นสำคัญ (Muruganadham et al., 2004) ในงานวิจัยนี้จึงทำการศึกษาถึงผลของปริมาณ เฟอร์สไอกอนและ pH ที่มีผลต่อ %CO Conversion โดย pH ของสารละลายน้ำที่ทำการศึกษาจะ อยู่ในช่วง pH 1 pH 3 และ pH 5 ในส่วนของการศึกษาผลของปริมาณเฟอร์สไอกอนจะ ทำการศึกษาปริมาณ (โมล) ของเฟอร์สไอกอนที่น้อยกว่าปริมาณของไฮโดรเจนเพอร์ออกไซด์ 100 เท่า 200 เท่า และ 300 เท่า

#### ผลของ pH ของสารละลายน้ำ

ในแต่ละการทดลองที่ทำการศึกษาผลของ pH ของสารละลายน้ำที่มีต่อการขัด คาร์บอนมอนอกไซด์จะกำหนดตัวแปรต่างๆ ใน การทดลองให้คงที่ เช่น อุณหภูมิของ gas reactor ความเข้มข้นของไฮโดรเจนเพอร์ออกไซด์ และ UV ปริมาณของเฟอร์สที่เติมลงไป และอัตราการ ไนโตรของแก๊สที่เข้าทำปฏิกิริยาให้เหมือนกัน

เตรียมสารละลายไอก๊อโรเจนเพอร์ออกไซด์ที่ระดับความเข้มข้นที่ให้ %CO Conversion สูงสุดซึ่งได้จากข้อ 3.3.2.1 ปริมาณ 250 มิลลิลิตร ปรับ pH ของสารละลายเท่ากับ 1 ด้วยกรดซัลฟิวริกเจือจาง แล้วเติมลงใน gas reactor จำนวนปริมาณเพอร์วัสดิออกอนที่ต้องใช้เป็นโมล ให้มีปริมาณโมลน้อยกว่าโมลของไอก๊อโรเจนเพอร์ออกไซด์ 100 เท่า เติมลงใน gas reactor กวนด้วยแท่งแม่เหล็กให้เข้ากัน อุณหภูมิของ gas reactor ควบคุมที่ 30 °C ตลอดการทดลองและเพิ่มหลอด UV เข้าไปใน gas reactor

ขั้นตอนการทดลองเช่นเดียวกับในข้อ 3.3.2.1 ข้อ 2 – 7 แต่ในข้อ 7 เปลี่ยนตัวแปรจากความเข้มข้นของไอก๊อโรเจนเพอร์ออกไซด์เป็นปรับ pH ของสารละลายให้ได้ 1 3 และ 5 แทน (ตารางแสดงค่าตัวแปรต่างๆในการทดลองแสดงในภาคผนวก ก ตาราง ก-5)

### ผลของปริมาณเพอร์วัสดิออกอนในสารละลาย

ในส่วนนี้เมื่อได้ pH ที่เหมาะสมจากการทดลองข้างต้นแล้วจะหาปริมาณเพอร์วัสดิออกอนที่เหมาะสมในการที่จะเปลี่ยนคาร์บอนมอนอกไซด์ไปเป็นคาร์บอนไดออกไซด์ โดยกำหนดตัวแปรคงที่ต่างๆให้เหมือนกันการทดลองข้างต้น คือความเข้มข้นของไอก๊อโรเจนเพอร์ออกไซด์ อุณหภูมิของ gas reactor ควบคุมที่ 30 °C แสง UV อัตราการไหลของคาร์บอนมอนอกไซด์ที่เข้าทำปฏิกิริยา และ pH (ใช้ค่า pH ที่เหมาะสมจากการทดลองข้างต้น) แต่เปลี่ยนปริมาณเพอร์วัสดิออกอนที่เข้าทำปฏิกิริยา

เตรียมสารละลายไอก๊อโรเจนเพอร์ออกไซด์โดยใช้ความเข้มข้นที่ให้ %CO Conversion สูงสุดในข้อ 3.3.2.1 ปริมาณ 250 มิลลิลิตร จากนั้นจำนวนโมลของเพอร์วัสดิออกอนให้น้อยกว่าโมลไอก๊อโรเจนเพอร์ออกไซด์ 50 เท่า 100 เท่า และ 200 เท่า โดยจำนวนจากความเข้มข้นของไอก๊อโรเจนเพอร์ออกไซด์ที่ใช้ในปริมาณ 250 มิลลิลิตร ปรับ pH ของสารละลายให้ได้ค่าเท่ากับค่า pH ที่ให้ %CO Conversion สูงสุดตามข้างต้น เติมลงใน gas reactor กวนด้วยแท่งแม่เหล็กให้เข้ากัน อุณหภูมิของ gas reactor ควบคุมที่ 30 °C ตลอดการทดลองและเพิ่มหลอด UV เข้าไปใน gas reactor

ขั้นตอนการทดลองเช่นเดียวกับในข้อ 3.3.2.1 ข้อ 2 – 7 แต่ในข้อ 7 เปลี่ยนตัวแปรจากความเข้มข้นของไอก๊อโรเจนเพอร์ออกไซด์เป็นจำนวนโมลของเพอร์วัสดิออกอนน้อยกว่าไอก๊อโรเจนเพอร์ออกไซด์ 50 เท่า 100 เท่า และ 200 เท่า (ตารางแสดงค่าตัวแปรต่างๆในการทดลองแสดงในภาคผนวก ก ตาราง ก-6)

### 3.3.3 การทดลองในส่วนที่ 3

ศึกษาผลของการใช้ไฮโดรเจนเพอร์ออกไซด์ในการขัดคาร์บอนมอนอกไซด์ต่อตัวเร่งปฏิกิริยาที่ใช้สำหรับขั้วแอกโนดของเซลล์เชือเพลิง

การทดลองในส่วนนี้จะใช้ตัวเร่งปฏิกิริยา 3 ชนิด ซึ่งเป็นตัวเร่งปฏิกิริยาที่ใช้สำหรับขั้วแอกโนดของเซลล์เชือเพลิงแบบเยื่อแผ่นแลกเปลี่ยนโปรดอนคือ Pt 10 wt%/Vulcan XC-72, Pt 20 wt%/Vulcan XC-72 และ Pt 20 wt%-Ru 10wt%/Vulcan XC-72 ตัวเร่งปฏิกิริยาจะถูกบรรจุใน U-tube reactor ดังรูป 3.5 ทำการศึกษาที่อุณหภูมิ 70 °C ซึ่งเป็นอุณหภูมิการทำงานของเซลล์เชือเพลิง การทดลองในส่วนนี้จะทำต่อเนื่องจากการทดลองในส่วนที่สอง ซึ่งใช้ภาวะที่ดีที่สุดในการขัดคาร์บอนมอนอกไซด์ออกจากแก๊สเชือเพลิงในส่วนที่สองมาศึกษาต่อถึงผลต่อตัวเร่งปฏิกิริยา ในส่วนนี้จะทำการวิเคราะห์คาร์บอนมอนอกไซด์ที่ออกจาก U-tube reactor ที่เวลาต่างๆ โดยใช้เครื่องแก๊สគิริยาที่มีความแม่นยำ โดยถ้ามีการบ่อนอกมานาจาก U-tube reactor แสดงว่าตัวเร่งปฏิกิริยาเริ่มเสียสภาพ เนื่องจากผิวน้ำถูกปอกคลุนด้วยคาร์บอนมอนอกไซด์ขั้นตอนการทดลองดังต่อไปนี้ (ตารางแสดงค่าตัวแปรต่างๆในการทดลองแสดงในภาคผนวก ก ตาราง ก-7)

1) ใช้ภาวะที่ดีที่สุดในการขัดคาร์บอนมอนอกไซด์จากการทดลองในส่วนที่ 2 คือ ความเข้มข้นของสารละลายไฮโดรเจนเพอร์ออกไซด์ อุณหภูมิ และตัวเร่งปฏิกิริยาที่ใช้ใน gas reactor ขั้นตอนการทดลองเหมือนในส่วนที่สองแต่นำ U-tube reactor ซึ่งบรรจุตัวเร่งปฏิกิริยามาต่อ

2) บรรจุตัวเร่งปฏิกิริยาปริมาณ 0.05 กรัมใน U-tube reactor อยู่ระหว่างชั้นของไยคาวท์ ตัวเร่งปฏิกิริยาใน ใช้ Pt 10 wt%/Vulcan XC-72 Pt 20 wt%/Vulcan XC-72 และ Pt 20 wt%-Ru 10 wt%/Vulcan XC-72

3) ทำการวิเคราะห์คาร์บอนมอนอกไซด์ที่ออกจาก U-tube reactor ที่เวลาต่างๆด้วยเครื่องแก๊สគิริยาที่มีความแม่นยำ จนกว่าจะตรวจพบคาร์บอนมอนอกไซด์

4) เปลี่ยนชนิดของตัวเร่งปฏิกิริยาและเริ่มการทดลองใหม่จากข้อ 1-3

5) ทำการทดลองเปรียบเทียบผลแต่เปลี่ยนจากสารละลายไฮโดรเจนเพอร์ออกไซด์ เป็นน้ำกลันปริมาณ 250 มิลลิลิตรแทน ภาวะอื่นๆ คืออุณหภูมิ ตัวเร่งปฏิกิริยาที่ใช้ใน gas reactor และตัวเร่งปฏิกิริยาทั้ง 3 ชนิดใน U-tube reactor ยังเหมือนเดิม

### 3.3.4 การทดลองในส่วนที่ 4

ศึกษาผลของการใช้ไฮโดรเจนเพอร์ออกไซด์ในการลดคาร์บอนมอนอกไซด์ต่อค่าความหนาแน่นกระแสของเซลล์เชื้อเพลิง

ทำการศึกษาสมรรถนะของเซลล์เชื้อเพลิงในหน่วยทดสอบเซลล์เชื้อเพลิงแบบเยื่อแผ่นแลกเปลี่ยนไฮดรอกซิล (fuel cell test station) แสดงดังรูป 3.11 การทดลองในส่วนนี้จะแทนที่ส่วนให้ความชัดเจนด้านข้อแอนด์ของเซลล์เชื้อเพลิงด้วย gas reactor ศึกษาสมรรถนะของเซลล์เชื้อเพลิงเมื่อมีคาร์บอนมอนอกไซด์ปนมากับแก๊สเชื้อเพลิง โดยทำการทดลองเปรียบเทียบ 3 การทดลอง คือ 1) ใช้ไฮโดรเจนบริสุทธิ์เป็นแก๊สเชื้อเพลิง 2) ใช้ไฮโดรเจนที่มีคาร์บอนมอนอกไซด์ 500 พีพีเอ็มปนอยู่ และ 3) ไฮโดรเจนที่มีคาร์บอนมอนอกไซด์ 500 ปนอยู่ในแต่ถูกจัดด้วยสารละลายไฮดรเจนเพอร์ออกไซด์ตามภาวะที่ดีที่สุดที่ได้จากการทดลองในส่วนที่ 2 เปรียบเทียบสมรรถนะของเซลล์เชื้อเพลิงของห้อง 3 การทดลอง (ตารางแสดงค่าตัวแปรต่างๆในการทดลองแสดงในภาคผนวก ก ตาราง ก-8)

#### 3.3.4.1 การเตรียม Membrane Electrode Assembly (MEA)

MEA ที่ใช้ในการทดสอบเซลล์เชื้อเพลิงแบบเยื่อแผ่นแลกเปลี่ยนไฮดรอกซิล จะประกอบด้วยข้าวแอลโดยทั่วไปจะประกอบกันโดยมีเมมเบรนวางอยู่ตรงกลาง ข้าวไฟฟ้าที่นำมาเตรียม MEA จะมีแพลทินัมอยู่ในปริมาณ 1 มิลลิกรัมต่ำตารางเซนติเมตร โดยข้าวไฟฟ้าที่ใช้จะมีขนาด 5 ตารางเซนติเมตร ในการเตรียม MEA จะต้องทำการทำความสะอาดเมมเบรนก่อนจึงจะนำเมมเบรนและข้าวไฟฟ้ามาประกอบ MEA อีกที

##### - การเตรียม Membrane (Laminie et al., 2000)

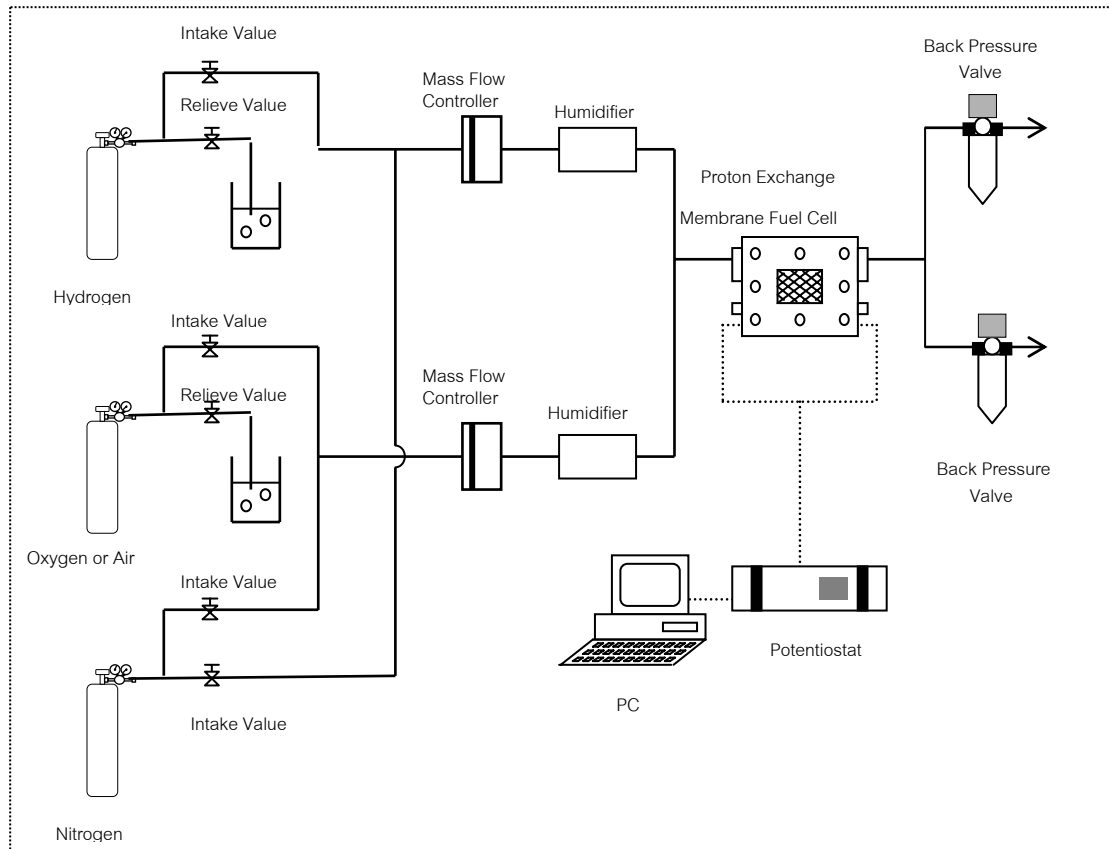
ในขั้นแรกนำเนฟฟิโอนเมมเบรน (Nafion 117) มาทำความสะอาดโดยการแช่ในน้ำกลืน 100 มิลลิลิตร ที่อุณหภูมิ  $80^{\circ}\text{C}$  เป็นเวลา 1 ชั่วโมง หลังจากนั้นนำไปแขวนในสารละลายไฮดรเจนเพอร์ออกไซด์ความเข้มข้น 3 %w/w ปริมาณ 100 มิลลิลิตร ที่อุณหภูมิ  $80^{\circ}\text{C}$  เป็นเวลา 1 ชั่วโมง เพื่อขจัดสารอินทรีย์ที่อยู่บนผิวน้ำของเมมเบรน นำเมมเบรนแซ่ต่อในกรดซัลฟิวริกความเข้มข้น 0.5 มิลลิวีต์ ปริมาณ 100 มิลลิลิตร ที่อุณหภูมิ  $80^{\circ}\text{C}$  เป็นเวลา 1 ชั่วโมง เพื่อขจัดไอออนของโลหะ ขั้นตอนสุดท้ายนำเยื่อแผ่นแลกเปลี่ยนไปแขวนในน้ำกลืน 100 มิลลิลิตรอีกครั้งที่อุณหภูมิ  $80^{\circ}\text{C}$  เป็นเวลา 1 ชั่วโมง ในขั้นสุดท้ายนี้จะทำสามครั้งเพื่อไล่คลอไรด์ไอออนออกให้หมด

### - การประกอบ MEA

นำข้าวไฟฟ้าประกอบกันทั้งสองด้านโดยมีเมมเบรนวางอยู่ตรงกลาง นำแผ่นพลาสติกกันความร้อนวางด้านนอกเพื่อป้องกันไม่ให้ MEA ติดกับเหล็กและวางแผนแผ่นเหล็กเรียบประกอบด้านนอกสุดอีกครั้ง ทำการอัดด้วยความร้อนที่อุณหภูมิ  $130^{\circ}\text{C}$  ความดัน 50 กิโลกรัม/ตารางเซนติเมตร เป็นเวลา 1.5 นาที หลังจากนั้นนำ MEA ที่ได้เก็บในถุงด้านความชื้นเพื่อใช้ในการศึกษาต่อไป

#### 3.3.4.2 การทดสอบความหนาแน่นกระแส

- 1) นำ MEA ประกอบเข้ากับเซลล์เชือกาวแบบเยื่อแผ่นแดกเปลี่ยนโปรดอน ควบคุมอุณหภูมิของเซลล์ให้อยู่ที่  $80^{\circ}\text{C}$  ผ่านในไทรเจนเข้าที่ข้าวaceous โอดและแคโทดด้วยอัตรา 200 มิลลิตร/นาที นาน 60 นาที เพื่อไล่แก๊สปันเปื้อนในระบบ
- 2) เปิดไทรเจนด้วยอัตรา 50 มิลลิตร/นาที ผ่านตัวควบคุมอัตราการไหล (mass flow controller) และส่วนให้ความชื้นเข้าสู่เซลล์เชือกาวแบบเยื่อแผ่นด้านแอโนด ส่วนออกซิเจนเข้าทางด้านข้าว แคโทดโดยผ่านตัวควบคุมอัตราการไหลและส่วนให้ความชื้นด้วยอัตรา 50 มิลลิตรต่อนาที
- 3) เปิดเครื่อง Potentiostat/Galvanostat ก่อนที่จะเริ่มการทดลองเป็นเวลา 30 นาทีเพื่อทำการอุ่นเครื่อง เปิด GPES โปรแกรม ตั้งค่าความต่างศักย์ต่างๆ ที่ต้องการเก็บค่ากระแส เมื่อครบเวลากดปุ่ม cell enable ที่เครื่อง Potentiostat/Galvanostat และเริ่มเก็บค่าการทดลอง
- 4) เริ่มการบันทึกเมื่อค่าถึง open circuit voltage กดปุ่มเซลล์ cell enable bottom และตามด้วยปุ่ม start ที่โปรแกรม GPES ทำการเก็บค่าของแต่ละความต่างศักย์ที่ตั้งไว้
- 5) เปลี่ยน MEA และเริ่มการทดลองใหม่อีกครั้งโดยเปลี่ยนจากไทรเจนบริสุทธิ์เป็นไทรเจนที่มีคาร์บอนมอนอกไซด์ปนอยู่ 500 พีพีเอ็ม เริ่มทำการทดลองใหม่จาก 2-4
- 6) เริ่มการทดลองที่ใช้ไทรเจนเพอร์ออกไซด์ในการจัดคาร์บอนมอนอกไซด์ โดยการนำ gas reactor มาต่อแทนส่วนให้ความชื้นทางด้านแอโนดของเซลล์เชือกาวแบบเยื่อแผ่นและใช้ภาวะที่ดีที่สุดในการจัดคาร์บอนมอนอกไซด์ที่ได้จากการทดลองส่วนที่ 2 หลังจากนั้นทำการทดลองตาม 2-4
- 7) เมื่อสิ้นสุดการทดลองปิดโปรแกรม GPES และปิดเครื่องคอมพิวเตอร์



รูปที่ 3.11 แผนผังการทำงานของหน่วยทดสอบเซลล์เชื้อเพลิงแบบเยื่อแผ่นแลกเปลี่ยนprotocon

### 3.5 การคำนวณ

#### การคำนวณค่า %CO Conversion

ในการคำนวณขัตตราการเกิดปฏิกิริยาจะทำการคำนวณจากแก๊สที่ออกจากรีเซปเตอร์ที่ เกิดต่าง ๆ โดยจะคำนวนเป็น %CO Conversion ที่เวลาใด ๆ แล้วผลที่ได้มานี้ยันเป็นกราฟ % CO Conversion ที่เวลาต่าง ๆ และแสดงสมการ

$$\%CO_{conversion} = \frac{[CO_2]}{[CO]_0} \times 100 \quad [3.1]$$

$[CO_2]$  = ปริมาณของ  $CO_2$  ในแก๊สผลิตภัณฑ์

$[CO]_0$  = ปริมาณของ CO ที่เข้าทำปฏิกิริยา

#### การคำนวณค่าความเข้มข้นของไฮโดรเจนเพอร์ออกไซด์

การคำนวณหาปริมาณความเข้มข้นของสารละลายไฮโดรเจนเพอร์ออกไซด์เพื่อหาความเข้มข้นเริ่มต้นในแต่ละขวดจะแสดงอย่างละเอียดในภาคผนวก ค

## บทที่ 4

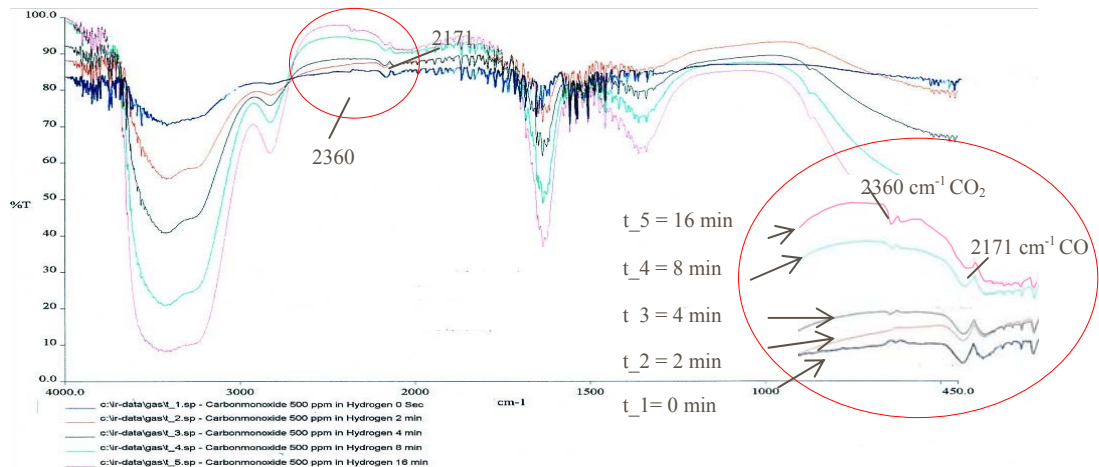
### ผลการทดลองและวิจารณ์ผล

#### 4.1 ส่วนที่ 1 ศึกษาปฏิกิริยาระหว่างไฮโดรเจนเพอร์ออกไซด์และคาร์บอนมอนอกไซด์ 500 พีพีเอ็มในไฮโดรเจน

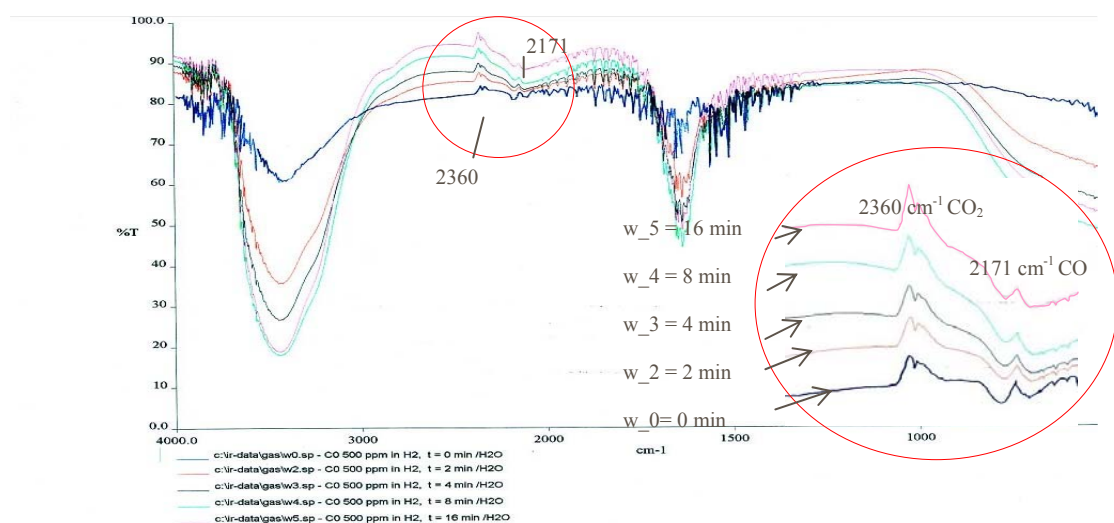
ในการทดลองนี้จะใช้ FT-IR ในการวิเคราะห์พื้นที่ตัวกราฟของคาร์บอนไดออกไซด์เท่านั้น เนื่องจากคาร์บอนไดออกไซด์เป็นแก๊สผลิตภัณฑ์ซึ่งจะทำการวิเคราะห์โดยใช้ FT-IR ได้ง่ายกว่า คาร์บอนมอนอกไซด์ การจับกันของออกซิเจนและคาร์บอนของคาร์บอนไดออกไซด์จะจับกันด้วย พันธะสอง (double bond) สามารถมองเห็นการเปลี่ยนแปลงได้ง่ายกว่าเมื่อแสง IR ส่งผ่านเข้าไป สันพันธะ ซึ่งจะแตกต่างกับคาร์บอนมอนอกไซด์ที่จะตอมของออกซิเจนกับคาร์บอนจับกันด้วย พันธะสาม (triple bond) ที่มีความแข็งแรงทำให้แสง IR ไปสั่นได้น้อยลงเมื่อมองเห็นการเปลี่ยนแปลง ยก ไม่เลกูลที่จับกันด้วยพันธะสาม เช่น คาร์บอนมอนอกไซด์ และไนโตรเจน ( $N_2$ ) จึงไม่นิยม วิเคราะห์ด้วย FT-IR ตำแหน่งพีคของคาร์บอนไดออกไซด์อยู่ที่  $2360\text{ cm}^{-1}$  ส่วนพีคของคาร์บอน มอนอกไซด์จะอยู่ที่  $2171\text{ cm}^{-1}$  ตำแหน่งของพีคทั้งสองยืนยันโดยการใช้แก๊斯มาตรฐานผ่านเข้า แก๊สเชลล์ และวัดการดูดกลืนแสง IR

รูปที่ 4.1 แสดงถึง FT-IR สเปกตรัมของแก๊สผลิตภัณฑ์ที่เกิดจากปฏิกิริยาระหว่าง คาร์บอนมอนอกไซด์ 500 พีพีเอ็มในไฮโดรเจนให้ผ่านไฮโดรเจนเพอร์ออกไซด์ ส่วนรูปที่ 4.2 แสดงถึง FT-IR สเปกตรัมของแก๊สผลิตภัณฑ์ระหว่างคาร์บอนมอนอกไซด์ 500 พีพีเอ็มใน ไฮโดรเจนให้ผ่านน้ำ

ตาราง ข-1 ในภาคผนวก ข. แสดงพื้นที่ตัวกราฟของคาร์บอนไดออกไซด์วัดที่  $2360\text{ cm}^{-1}$  เปรียบเทียบระหว่างการทดลองที่ใช้ไฮโดรเจนเพอร์ออกไซด์และน้ำ ในการหาพื้นที่ตัวกราฟต้อง เปลี่ยนหน่วยวัดจาก %การส่งผ่านแสง (%Transmittance, %T) เป็นค่าการดูดกลืนแสง (Absorbance, A) ก่อนแล้วคำนวณด้วยโปรแกรม Spectrum 2000 ของเครื่อง FT-IR หน่วยวัด เป็น การดูดกลืนแสงต่อเซนติเมตร ( $A\cdot\text{cm}^{-1}$ )



รูปที่ 4.1 FT-IR สเปคตัมของแก๊สผลิตภัณฑ์ที่เกิดจากปฏิกิริยาระหว่าง  
คาร์บอนมอนอกไซด์ 500 พีพีเอ็มในไฮโดรเจนและไฮโดรเจนเพอร์ออกไซด์ 30 %w/v ที่เวลาต่างๆ



รูปที่ 4.2 FT-IR สเปคตัมของแก๊สผลิตภัณฑ์ที่เกิดจากปฏิกิริยาระหว่าง  
คาร์บอนมอนอกไซด์ 500 พีพีเอ็มในไฮโดรเจนและน้ำ ที่เวลาต่างๆ

เมื่อคาร์บอนมอนอกไซด์ 500 พีพีเอ็ม ทำปฏิกิริยา กับไไฮโดรเจนเพอร์ออกไซด์ ใน gas reactor พบร่วมกันที่ 500 °C พบว่าพื้นที่ต่อกำฟของคาร์บอนไดออกไซด์จะเพิ่มขึ้นเมื่อเวลาเพิ่มขึ้น โดยในตอนแรก พื้นที่ต่อกำฟของคาร์บอนไดออกไซด์จะอยู่ที่  $-0.1105 \text{ A/cm}$  ที่เวลา 0 นาที (คิดเป็นค่าพื้นหลัง) และเมื่อเวลาเพิ่มขึ้น พื้นที่ต่อกำฟของคาร์บอนไดออกไซด์จะเพิ่ม จากเวลา 2 4 8 และ 16 นาที ที่เวลา 16 นาที IR สเปกตรัมจะแสดงค่าพื้นที่ต่อกำฟอยู่ที่  $0.2026 \text{ A cm}^{-1}$  เมื่อเปรียบเทียบกับ การทดลองที่ใช้น้ำ ในตอนเริ่มแรกที่เวลา 0 นาที พื้นที่ต่อกำฟของคาร์บอนไดออกไซด์อยู่ที่  $-0.3994 \text{ A cm}^{-1}$  แต่เมื่อเวลาผ่านไปเรื่อยๆ พื้นที่ต่อกำฟของคาร์บอนไดออกไซด์กลับลดลง (เป็น ค่าลบมากขึ้น) และที่เวลาสุดท้ายที่ 16 นาที พื้นที่ต่อกำฟของคาร์บอนมอนอกไซด์เป็น  $-0.7746 \text{ A cm}^{-1}$  ซึ่งน้อยลง เทียบกับเวลาในตอนเริ่มต้น

จากการทดลองนี้จึงสามารถสรุปได้ว่าเมื่อ คาร์บอนมอนอกไซด์ 500 พีพีเอ็ม ในไไฮโดรเจน ผ่านเข้าไปใน gas reactor ที่มีสารละลายไไฮโดรเจนเพอร์ออกไซด์อยู่ พบร่วมกับคาร์บอนมอนอกไซด์ สามารถทำปฏิกิริยา กับไไฮโดรเจนเพอร์ออกไซด์ เกิดเป็นคาร์บอนไดออกไซด์ได้ แต่ถ้าการวิเคราะห์โดยเทคนิคทางด้าน IR ไม่เหมาะสมที่จะวิเคราะห์แก๊สเนื่องจากเป็นการยากที่จะควบคุมสิ่งแวดล้อมในการทดลองแต่ ละครั้งให้เหมือนกัน เช่นปริมาณคาร์บอนไดออกไซด์หรือความชื้นในบรรยากาศ เนื่องจาก คาร์บอนไดออกไซด์ในสิ่งแวดล้อมจะรบกวนการทดลอง จึงทำการทดลองซ้ำได้ยาก นอกจากนี้ หน้าต่างของแก๊สเซลล์ที่ต้องติดตั้งอยู่ในตู้ทดลอง ไม่สามารถต่อความชื้นได้ โดยจะดูดซับ ความชื้นที่ปั่นมากับแก๊สหรือในสิ่งแวดล้อมทำให้หน้าต่างของเซลล์ละลายไม่สามารถใช้งานได้อีก ต่อไป ข้อดีของ FT-IR คือใช้เวลาในการวิเคราะห์ผลเพียง 1 นาทีก็สามารถวิเคราะห์ผลซ้ำไดถึง 10 ครั้ง เมื่อเปรียบเทียบกับเครื่องแก๊สโครมาโทกราฟซึ่งวิเคราะห์ได้ยากและใช้เวลานาน เมื่อทราบ ทดลองในส่วนที่หนึ่งแล้วว่า คาร์บอนมอนอกไซด์สามารถทำปฏิกิริยา กับไไฮโดรเจนเพอร์ออกไซด์ได้ จึงทำการศึกษาต่อในส่วนที่สอง เป็นการหาภาวะที่ดีที่สุดในการขัดคาร์บอนมอนอกไซด์ออกจาก แก๊สเชื้อเพลิง โดยใช้ไไฮโดรเจนเพอร์ออกไซด์ซึ่งจะช่วยเพิ่มสมรรถนะการทำงานของเซลล์เชื้อเพลิง ให้เพิ่มขึ้น



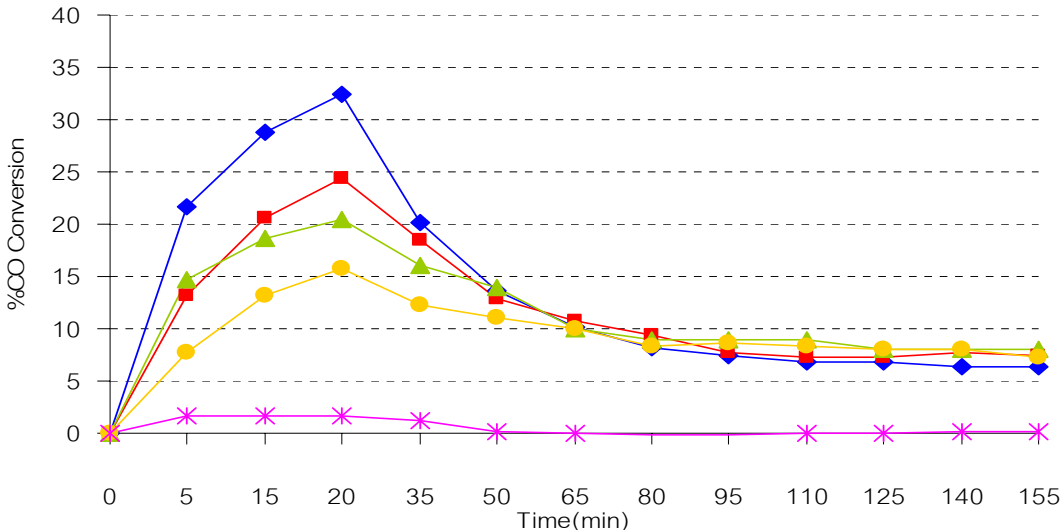
การทดลองนี้สรุปได้ว่า คาร์บอนมอนอกไซด์ที่ปั่นมากับแก๊สเชื้อเพลิงสามารถทำปฏิกิริยา กับไไฮโดรเจนเพอร์ออกไซด์ เกิดเป็นคาร์บอนไดออกไซด์ได้ แต่ถ้าการวิเคราะห์โดยเทคนิคทางด้าน IR ไม่เหมาะสมที่จะวิเคราะห์แก๊สเนื่องจากเป็นการยากที่จะควบคุมสิ่งแวดล้อมในการทดลองแต่ ละครั้งให้เหมือนกัน เช่นปริมาณคาร์บอนไดออกไซด์หรือความชื้นในบรรยากาศ เนื่องจาก คาร์บอนไดออกไซด์ในสิ่งแวดล้อมจะรบกวนการทดลอง จึงทำการทดลองซ้ำได้ยาก นอกจากนี้ หน้าต่างของแก๊สเซลล์ที่ต้องติดตั้งอยู่ในตู้ทดลอง ไม่สามารถต่อความชื้นได้ โดยจะดูดซับ ความชื้นที่ปั่นมากับแก๊สหรือในสิ่งแวดล้อมทำให้หน้าต่างของเซลล์ละลายไม่สามารถใช้งานได้อีก ต่อไป ข้อดีของ FT-IR คือใช้เวลาในการวิเคราะห์ผลเพียง 1 นาทีก็สามารถวิเคราะห์ผลซ้ำไดถึง 10 ครั้ง เมื่อเปรียบเทียบกับเครื่องแก๊สโครมาโทกราฟซึ่งวิเคราะห์ได้ยากและใช้เวลานาน เมื่อทราบ ทดลองในส่วนที่หนึ่งแล้วว่า คาร์บอนมอนอกไซด์สามารถทำปฏิกิริยา กับไไฮโดรเจนเพอร์ออกไซด์ได้ จึงทำการศึกษาต่อในส่วนที่สอง เป็นการหาภาวะที่ดีที่สุดในการขัดคาร์บอนมอนอกไซด์ออกจาก แก๊สเชื้อเพลิง โดยใช้ไไฮโดรเจนเพอร์ออกไซด์ซึ่งจะช่วยเพิ่มสมรรถนะการทำงานของเซลล์เชื้อเพลิง ให้เพิ่มขึ้น

## 4.2 ส่วนที่ 2 ศึกษาภาวะที่ดีที่สุดในการขัดคาร์บอนมอนออกไซด์โดยใช้ไฮโดรเจนเพอร์ออกไซด์

ภาวะและตัวแปรต่างๆ มีผลโดยตรงต่อปฏิกิริยาระหว่าง คาร์บอนมอนออกไซด์และสารละลายน้ำไฮโดรเจนเพอร์ออกไซด์ การวิเคราะห์ในส่วนนี้จะทำการวิเคราะห์โดยใช้ เครื่องแก๊สโคลมาโทกราฟ เพื่อค่า %CO Conversion ของคาร์บอนมอนออกไซด์ไปเป็นคาร์บอนไดออกไซด์ที่เวลาต่างๆ แก๊สที่เกิดจากปฏิกิริยาออกจากรีซิวัล gas reactor ไปยังส่วนดักความชื้นและเข้าสู่เครื่องแก๊สโคลมาโทกราฟ คาร์บอนมอนออกไซด์ 500 พีพีเอ็ม ผ่านเข้าสู่ gas reactor ด้วยอัตรา 50 มิลลิลิตรต่อนาที ที่ความดันบรรยายกาศ แก๊สผลิตภัณฑ์ที่ได้จะประกอบด้วย คาร์บอนมอนออกไซด์ คาร์บอนไดออกไซด์ ไฮโดรเจน และออกซิเจน เครื่องแก๊สโคลมาโทกราฟ จะทำการเก็บค่าแก๊สผลิตภัณฑ์เวลาต่างๆ วิเคราะห์หนาบริมาณคาร์บอนไดออกไซด์ที่เกิด โดยเบรียบเทียบค่ากับแก๊สมาตรฐานที่ได้ฉีดเข้าไปต่อนแรก คำนวณ %CO Conversion ที่เวลาต่างๆ ดังแสดงในสมการ 3.1 ในบทที่ 3 ค่า %CO Conversion ที่เวลาต่างๆ ที่คำนวณได้จะนำมาเขียนเป็นกราฟเทียบกับเวลา การทดลองส่วนนี้ตัวแปรที่ศึกษา คือ ความเข้มข้นของสารละลายน้ำไฮโดรเจนเพอร์ออกไซด์ อุณหภูมิที่เกิดปฏิกิริยา ตัวเร่งปฏิกิริยาโลหะ การใช้แสง UV และการใช้เฟอร์รัสไอโอดินร่วมกับแสง UV โดยในส่วนของเฟอร์รัสจะศึกษาลึกลงของ pH และปริมาณเฟอร์รัสไอโอดิน

### 4.2.1 ผลของความเข้มข้นของไฮโดรเจนเพอร์ออกไซด์

เตรียมสารละลายน้ำไฮโดรเจนเพอร์ออกไซด์ความเข้มข้น 5 %w/v 10 %w/v 20 %w/v และ 30 %w/v โดยการเจือจางไฮโดรเจนเพอร์ออกไซด์เข้มข้น 33%w/v ด้วยน้ำกลั่น เติมลงใน gas reactor ผ่านแก๊สคาร์บอนมอนออกไซด์ 500 พีพีเอ็ม ในไฮโดรเจนเข้าทำปฏิกิริยาด้วยอัตรา 50 มิลลิลิตรต่อนาที ทดลองที่อุณหภูมิ 30°C ความดันบรรยายกาศ คาร์บอนมอนออกไซด์จะทำปฏิกิริยากับสารละลายน้ำไฮโดรเจนเพอร์ออกไซด์เกิดเป็นคาร์บอนไดออกไซด์ วิเคราะห์คาร์บอนไดออกไซด์ที่เกิดด้วยเครื่องแก๊สโคลมาโทกราฟ มาคำนวณค่า %CO Conversion ที่เวลาต่างๆ นำมาเขียนกราฟระหว่าง %CO Conversion และเวลาได้ดังรูปที่ 4.3

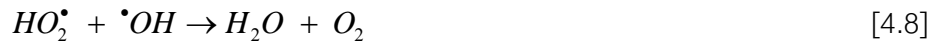


รูปที่ 4.3 %CO Conversion เมื่อไฮโดรเจนเพอร์ออกไซด์ความเข้มข้นต่างๆ ทำปฏิกิริยา กับคาร์บอนมอนอกไซด์ 500 พีไฟเอ็ม ที่อุณหภูมิ 30 °C; (♦) H<sub>2</sub>O<sub>2</sub> 5 %w/v; (■) H<sub>2</sub>O<sub>2</sub> 10 %w/v; (▲) H<sub>2</sub>O<sub>2</sub> 20 %w/v; (●) H<sub>2</sub>O<sub>2</sub> 30 %w/v; (\*) น้ำกัลลัน

จากรูปที่ 4.3 แสดงค่า %CO Conversion ที่เวลาต่างๆ โดยจากการพบร่วมกันทุกๆ การทดลองค่า %CO Conversion จะสูงในช่วงแรกแต่หลังจากเวลาผ่านไปประมาณ 50 นาทีค่า Conversion จะลดลงอย่างต่อเนื่องจนกระทั้งอยู่ในระดับคงที่ เมื่อเวลาผ่านไปนานมากขึ้น ข้อมูลค่า %CO Conversion ที่เวลาต่างๆ แสดงในภาคผนวก ๖ ตาราง ๔-๒

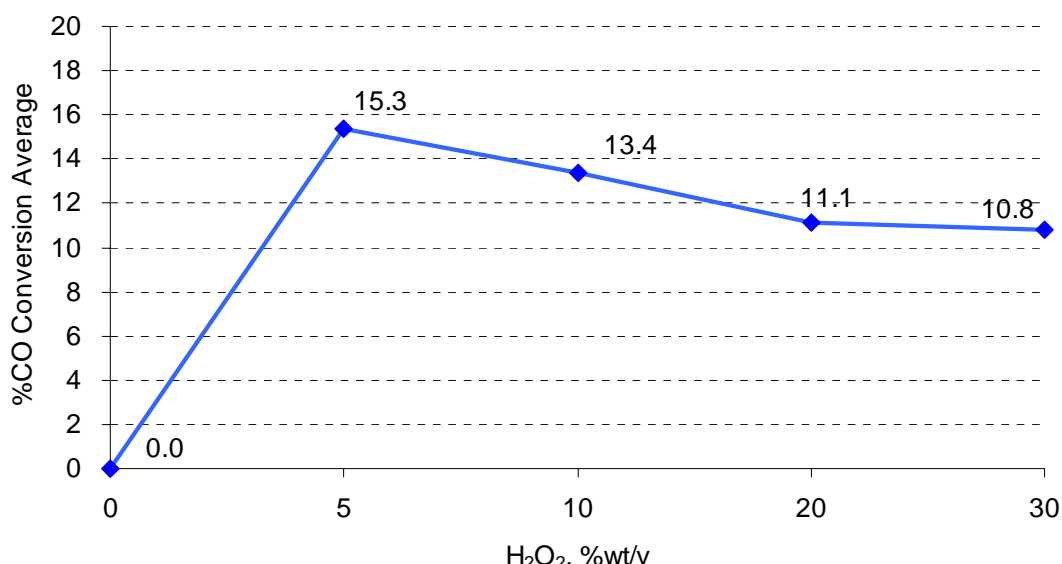
อธิบายได้ว่าเมื่อไฮโดรเจนเพอร์ออกไซด์ถูกด้วยไฮดรอกซิลเรดิคัล (hydroxyl radical, •OH) ซึ่ง •OH เป็นสารออกซิไดซ์ที่แรงมากสามารถไปทำปฏิกิริยากับคาร์บอนมอนอกไซด์ เกิดเป็นคาร์บอนไดออกไซด์ สมการการเกิดปฏิกิริยาแสดงดังสมการที่ 4.2 และ 4.3 แต่เมื่อเวลาผ่านไปมากขึ้น •OH และไฮโดรเจนเรดิคัล (hydrogen radical, H<sup>•</sup>) จะทำปฏิกิริยากับไฮโดรเจนเพอร์ออกไซด์ที่มากเกินพอก็จะเปลี่ยนเป็นไฮดรอกซิลเรดิคัล (perhydroxyl radicals, HO<sub>2</sub><sup>•</sup>) หรือ H<sup>•</sup> ทำปฏิกิริยากับออกซิเจนก็สามารถเกิดเป็น HO<sub>2</sub><sup>•</sup> ได้อีก ซึ่ง HO<sub>2</sub><sup>•</sup> นี้สามารถรวมตัวกันเองเกิดเป็นไฮโดรเจนเพอร์ออกไซด์ หรือรวมตัวกับ •OH เกิดเป็นน้ำ ดังสมการ 4.4 - 4.8 (Allen et al., 1995)





ดังนั้นการเพิ่มความเข้มข้นของไฮโดรเจนเพอร์ออกไซด์จะทำให้การเกิดปฏิกิริยาระหว่างคาร์บอนมอนอกไซด์และ  $\cdot OH$  ลดลง และเกิดคาร์บอนไดออกไซด์ดังสมการ 4.3 ลดลง อันเป็นผลเนื่องมาจากการเพิ่มปริมาณของ  $HO_2^\bullet$  ซึ่งจะไปแย่งทำปฏิกิริยากับ  $\cdot OH$  ได้มากกว่า ค่า %CO Conversion จึงลดลงเมื่อความเข้มข้นของไฮโดรเจนเพอร์ออกไซด์เพิ่มขึ้น

เมื่อคิดค่า %CO Conversion เฉลี่ยในช่วงเวลา 155 นาทีที่ทดสอบ พบว่าที่ความเข้มข้นสารละลายน้ำไฮโดรเจนเพอร์ออกไซด์ 5 %w/v จะให้ค่า %CO Conversion ที่สูงที่สุด ถัดมาเป็น 10 %w/v 20 %w/v และ 30 %w/v ตามลำดับเมื่อเขียนกราฟเฉลี่ยจะเห็นการเปลี่ยนแปลงที่ชัดขึ้นดังรูปที่ 4.4

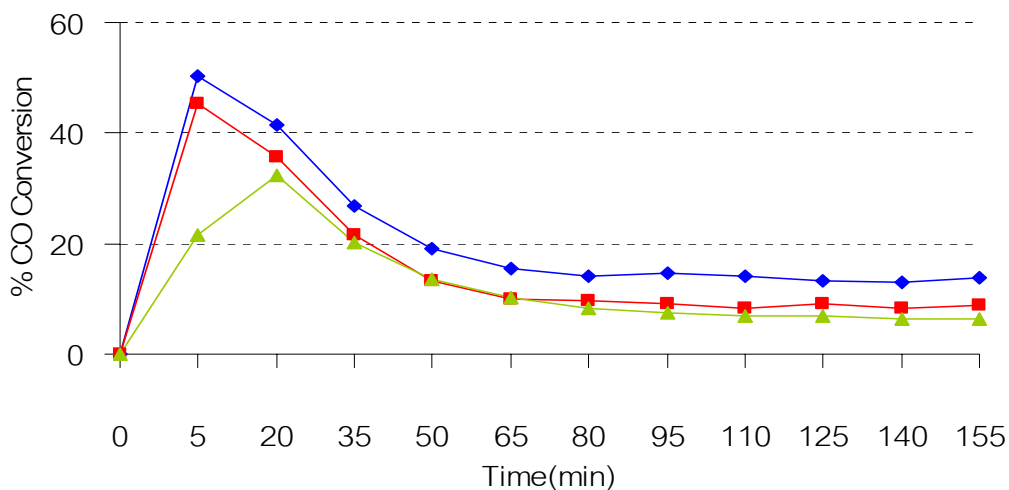


รูปที่ 4.4 ค่าเฉลี่ยของ %CO Conversion เมื่อไฮโดรเจนเพอร์ออกไซด์ความเข้มข้นต่างๆ ทำปฏิกิริยากับคาร์บอนมอนอกไซด์ 500 พีพีเอ็ม ที่อุณหภูมิ 30 °C

เมื่อได้ความเข้มข้นของไฮโดรเจนเพอร์ออกไซด์ที่ดีที่สุด คือ 5 %w/v จากนั้นจึงนำความเข้มข้นนี้ไปศึกษาต่อถึงผลของอุณหภูมิที่มีต่อค่า %CO Conversion ในการทดลองต่อไป

#### 4.2.2 ผลของอุณหภูมิต่อปฏิกิริยา

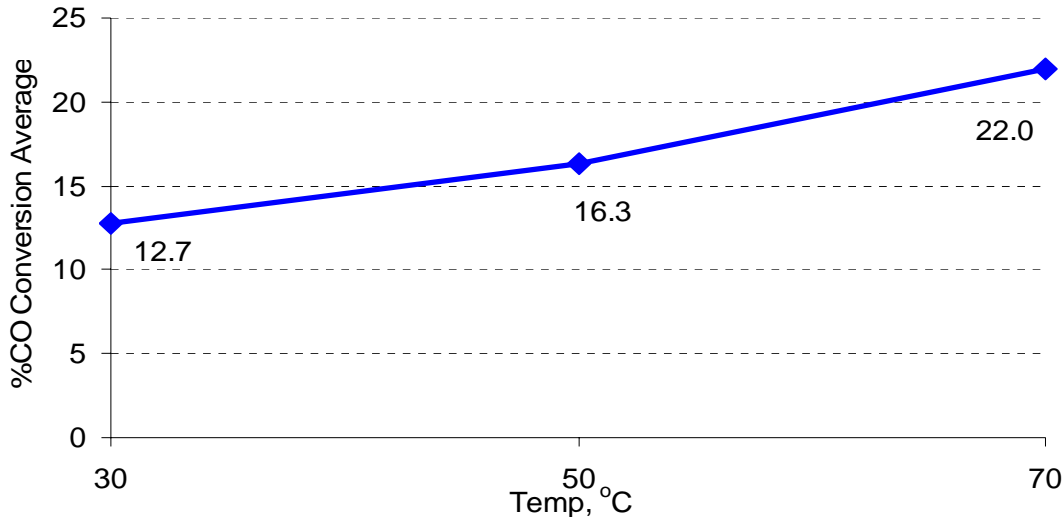
ในการศึกษาผลของอุณหภูมิจะทำการศึกษาโดยกำหนดให้ความเข้มข้นของไฮโดรเจนเพอร์ออกไซด์มีค่าคงที่ในทุกๆ การทดลองโดยจะใช้ความเข้มข้นที่ให้ค่า %CO Conversion สูงที่สุดจากการทดลองที่แล้ว คือความเข้มข้น 5 %w/v เติมลงไปใน gas reactor อุณหภูมิที่ทำการศึกษาจะอยู่ที่ 30 °C 50 °C และ 70 °C แก๊สที่ทำปฏิกิริยามีคาร์บอนมอนอกไซด์ 500 พีพีเอ็มในไฮโดรเจน ค่า %CO Conversion ที่เวลาใด ๆ แสดงดังรูปที่ 4.5 ข้อมูลค่า %CO Conversion ที่เวลาต่างๆ แสดงในภาคผนวก ข ตาราง ข-3



รูปที่ 4.5 %CO Conversion เมื่อไฮโดรเจนเพอร์ออกไซด์ 5% ทำปฏิกิริยา กับคาร์บอนมอนอกไซด์ 500 พีพีเอ็ม ที่อุณหภูมิต่างๆ; (♦) 70 °C; (■) 50 °C; (▲) 30 °C

จากรูปที่ 4.5 พบว่าเมื่อเพิ่มอุณหภูมิจะทำให้ค่า %CO Conversion เพิ่มขึ้นเมื่อเวลาเพิ่มขึ้น ที่ 70 °C %CO Conversion สูงที่สุดถึง 50 % ในช่วง 5 นาทีแรก โดยสูงกว่าที่ 50 °C และ 30 °C ตามลำดับ แต่หลังจากนั้นก็จะลดลงเหมือนในการทดลองที่แล้ว เนื่องจากการเพิ่มอุณหภูมิทำให้ไฮโดรเจนเพอร์ออกไซด์สลายตัวได้มากขึ้นทำให้เกิด  $\cdot\text{OH}$  ได้มากกว่าที่อุณหภูมิ 30 °C โดยการที่คาร์บอนมอนอกไซด์จะไปทำปฏิกิริยากับ  $\cdot\text{OH}$  จึงมีมากกว่าที่อุณหภูมิต่ำ สมการแสดงปฏิกิริยาระหว่างคาร์บอนมอนอกไซด์และ  $\cdot\text{OH}$  แสดงดังสมการ 4.2 – 4.3 ในตอนเริ่มแรกค่า CO conversion สูงขึ้นในทุกๆ อุณหภูมิการทดลองแต่เมื่อเวลาผ่านไป CO conversion จะลดลงเหมือนกับการทดลองที่ผ่านมา เป็นผลมาจากการที่ไฮโดรเจนเพอร์ออกไซด์จะเปลี่ยนเป็น  $\text{HO}_2^{\cdot}$  ซึ่งไม่ทำปฏิกิริยากับคาร์บอนมอนอกไซด์แต่จะรวมตัวกันเองเกิดเป็นไฮโดรเจนเพอร์-

ออกไซด์ แต่ในการทดลองนี้ที่อุณหภูมิสูงไอกไซด์สามารถที่จะแตกตัวเป็น  $\cdot\text{OH}$  ได้มากกว่า ดังนั้นโอกาสในการเกิดปฏิกิริยา กับคาร์บอนมอนอกไซด์จึงมีมากกว่าที่อุณหภูมิต่ำ



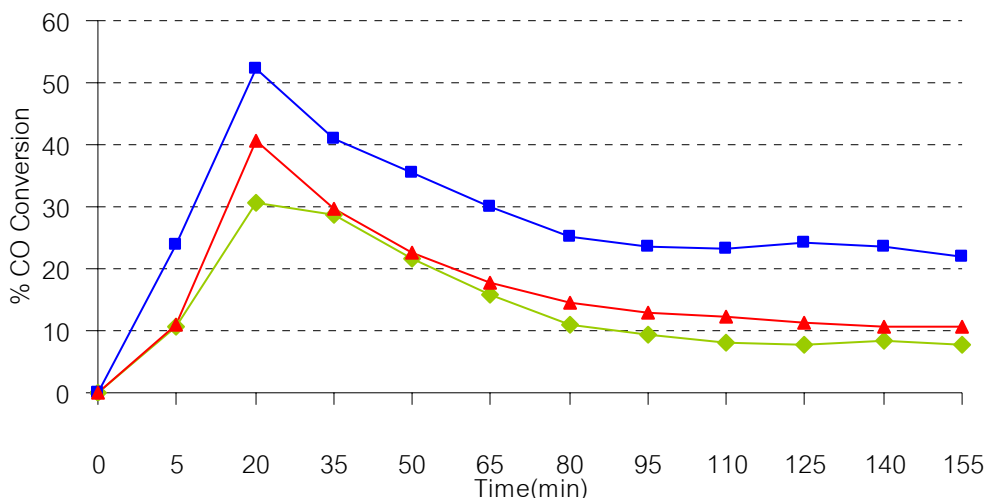
รูปที่ 4.6 ค่าเฉลี่ยของ %CO Conversion เมื่อไอกไซด์เจนเพอร์ออกไซด์ 5% ทำปฏิกิริยา กับคาร์บอนมอนอกไซด์ 500 พีพีเอ็ม ที่อุณหภูมิต่างๆ

เมื่อพิจารณาค่า %CO Conversion เฉลี่ยในช่วงอุณหภูมิที่ทำการศึกษาและภายในเวลา 155 นาที พบร่วมกันที่อุณหภูมิ  $70^{\circ}\text{C}$  จะให้ค่าเฉลี่ยสูงที่สุด จึงนำค่าอุณหภูมิที่ได้นี้ไปศึกษาต่อถึงผลของตัวเร่งปฏิกิริยาโลหะที่มีต่อค่า %CO Conversion ในกราฟทดลองต่อไป ในการศึกษานี้ไม่ได้ทดลองที่อุณหภูมิมากกว่า  $70^{\circ}\text{C}$  เนื่องจากไอกไซด์เจนเพอร์ออกไซด์สลายตัวให้น้ำและออกซิเจนที่อุณหภูมิ  $100^{\circ}\text{C}$  (Merck Schuchardt, 2005) ซึ่งเป็นข้อจำกัดของ gas reactor ที่ทำด้วยแก้วไม่สามารถทดสอบต่อแรงดันที่เพิ่มขึ้นเนื่องจากการเพิ่มอุณหภูมิได้ และที่อุณหภูมิสูงจะทำให้ความชื้นในระบบมากเกินไป นอกจากนี้ที่อุณหภูมิ  $70^{\circ}\text{C}$  ยังเป็นอุณหภูมิการทำงานของเซลล์เชื้อเพลิงพีอีเอ็ม ด้วย

#### 4.2.3 ผลของตัวเร่งปฏิกิริยาโลหะ

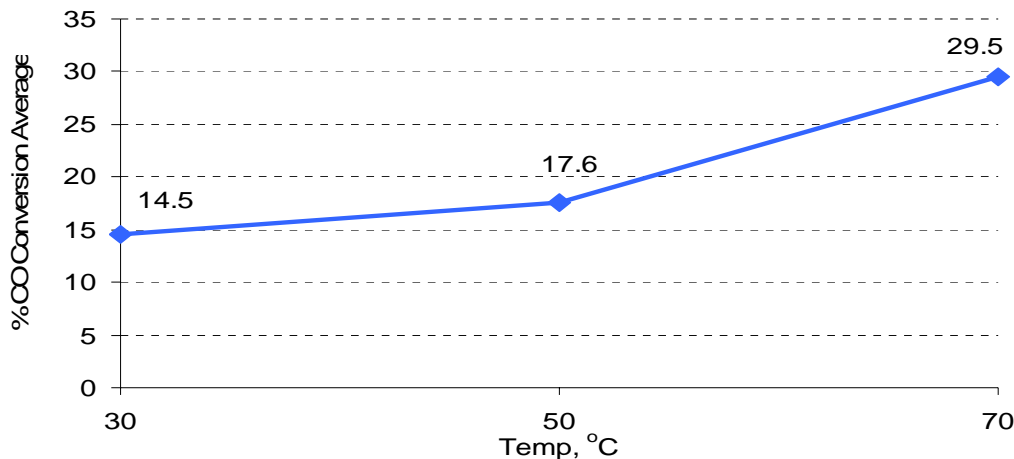
ตัวเร่งปฏิกิริยาโลหะสามารถเร่งให้ไอกไซด์เจนเพอร์ออกไซด์สลายตัวอย่างช้าๆ บนผิวน้ำของโลหะเกิดพันธะระหว่างโลหะและไอกไซด์เจนเพอร์ออกไซด์ ( $\text{M}-\text{OH}$  bond) (Miller et al, 2001) การทดลองเลือกใช้สแตนเลส เนื่องจากเป็นวัสดุที่เป็นส่วนประกอบในระบบการทำงานของเซลล์ เชื้อเพลิงแบบเยื่อแผ่นแลกเปลี่ยนprotocon โดยจะเป็นวัสดุของส่วนให้ความชื้น ระบบท่อและวาล์ว ของเซลล์เชื้อเพลิง ในส่วนนี้จะใช้สารละลายน้ำ  $5\text{ \%w/v}$  และท่อสแตนเลสที่

ตัดเป็นท่อนสั้นๆ ใส่ลงไปใน gas reactor ซึ่งจำลองเป็นส่วนให้ความชื้นของเซลล์เรือเพลิง ทดลองศึกษาควบคู่ไปกับการเปลี่ยนอุณหภูมิโดยอุณหภูมิที่ทำการศึกษาจะอยู่ที่  $30^{\circ}\text{C}$   $50^{\circ}\text{C}$  และ  $70^{\circ}\text{C}$  ตามลำดับ เมื่อนำผลการทดลองที่ได้มาเขียนกราฟความสัมพันธ์ระหว่าง %CO Conversion และเวลาแสดงดังรูปที่ 4.7 ข้อมูลค่า %CO Conversion ที่เวลาต่างๆ แสดงในภาคผนวก ๑ ตาราง ๔-๔



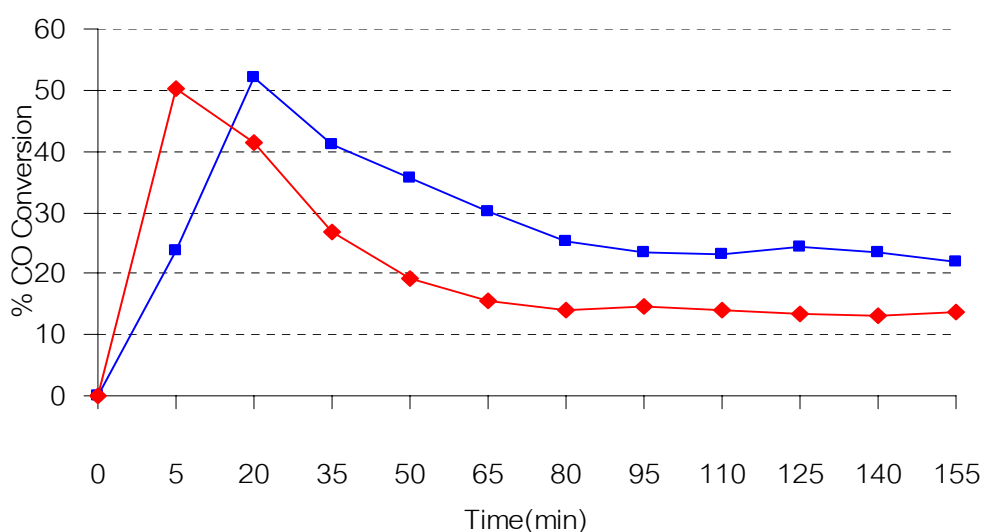
รูปที่ 4.7 %CO Conversion เมื่อไอลิดราเจนเพอร์ออกไซด์ 5% ทำปฏิกิริยา กับ คาร์บอนมอนอกไซด์ 500 พีพีเอ็ม มีสแตนเลสเป็นตัวเร่งปฏิกิริยา ที่อุณหภูมิต่างๆ; (■)  $70^{\circ}\text{C}$ ; (▲)  $50^{\circ}\text{C}$ ; (◆)  $30^{\circ}\text{C}$

จากรูปที่ 4.7 แสดง %CO Conversion ที่เวลาต่าง ๆ พบร่วมที่  $70^{\circ}\text{C}$  จะให้ %CO Conversion ที่สูงสุด รองลงมาเป็น  $50^{\circ}\text{C}$  และ  $30^{\circ}\text{C}$  ตามลำดับ นั่นคืออุณหภูมิสูงขึ้นทำให้เกิดการสลายตัวของไอลิดราเจนเพอร์ออกไซด์บนผิวของตัวเร่งปฏิกิริยาโดย hakkได้ดีขึ้น



รูปที่ 4.8 ค่าเฉลี่ยของ %CO Conversion เมื่อไฮดรเจนเพอร์ออกไซด์ 5% ทำปฏิกิริยา กับคาร์บอนมอนอกไซด์ 500 พีพีเอ็ม มีสแตนเลสเป็นตัวเร่งปฏิกิริยา ที่อุณหภูมิต่างๆ

จากรูปที่ 4.8 แสดงค่าเฉลี่ยของ %CO Conversion ในช่วงเวลา 155 นาที โดยอุณหภูมิที่ให้ค่า conversion ที่สูงที่สุดคือ  $70^{\circ}\text{C}$  เปรียบเทียบ %CO Conversion ที่อุณหภูมิเดียวกัน เมื่อใส่และไม่ใส่ตัวเร่งปฏิกิริยาสแตนเลสลงไป แสดงดังรูป 4.9



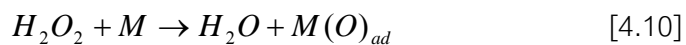
รูปที่ 4.9 %CO Conversion เมื่อไฮดรเจนเพอร์ออกไซด์ 5% ทำปฏิกิริยา กับ คาร์บอนมอนอกไซด์ 500 พีพีเอ็ม ที่อุณหภูมิ  $70^{\circ}\text{C}$ ; (♦) ไม่เติมสแตนเลส; (■) เติมสแตนเลส

จากรูปที่ 4.9 พบร่วมกันคือสูงสุด 52% และคงที่อยู่ที่ประมาณ 24% ส่วนเมื่อไม่เติมที่อุณหภูมิเดียว ก็สูงสุด 50% และในระยะเวลาอยู่ที่ประมาณ 14% ปฏิกิริยาการสลายตัวของไฮโดรเจนเพอร์ออกไซด์บนผิวสแตนเลสแสดงดังสมการ 4.9 – 4.11 (Bellows et al., 1998)

### ปฏิกิริยาร่วม



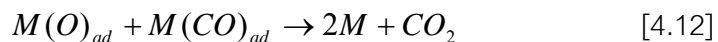
### การสลายตัวในขั้นแรก



เมื่อ M เป็นแทนตัวแหน่งคุณดูบบนผิวของโลหะ ปฏิกิริยานี้เป็นการรวมตัวกันเกิดเป็นออกซิเจน



คาร์บอนมอนอกไซด์ที่ถูกดูดซับอยู่บนผิวหน้าโลหะ จะถูกออกซิไดซ์โดยออกซิเจนที่สร้างพันธะกับโลหะ (M-O) ที่มาจากการสลายตัวของไฮโดรเจนเพอร์ออกไซด์ ปฏิกิริยาแสดงดังสมการ 4.12



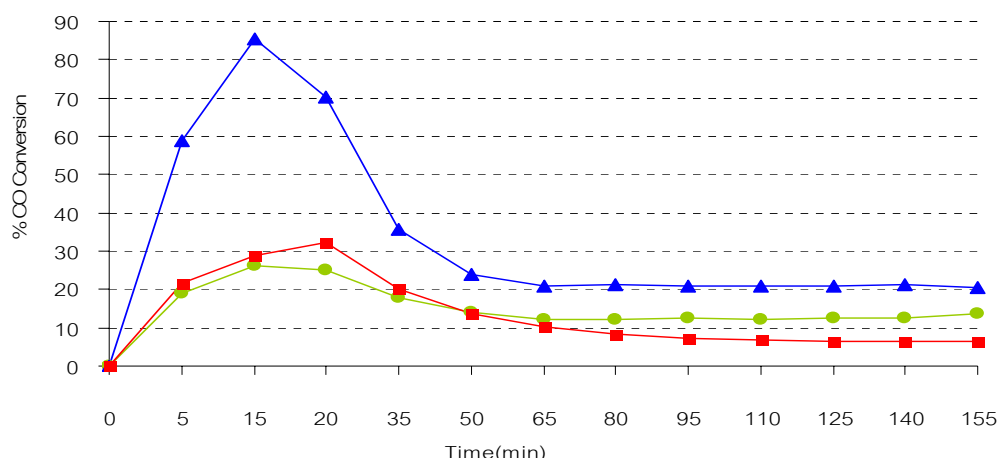
เมื่อเติมสแตนเลสลงไปเป็นตัวเร่งปฏิกิริยาในสารละลายไฮโดรเจนเพอร์ออกไซด์ ทำให้เกิดตัวแหน่งในการทำปฏิกิริยาของคาร์บอนมอนอกไซด์มากขึ้น แทนที่จะเกิดการสลายตัวของไฮโดรเจนเพอร์ออกไซด์จากอุณหภูมิเพียงอย่างเดียว คาร์บอนมอนอกไซด์จึงทำปฏิกิริยากับไฮโดรเจนเพอร์ออกไซด์เกิดเป็นคาร์บอนไดออกไซด์ไดมากขึ้น

#### 4.2.4 ผลของการใช้แสง UV-C

แสง UV เป็นส่วนประกอบหลักของปฏิกิริยา photolysis ของไฮโดรเจนเพอร์ออกไซด์ แสง UV-C ความยาวคลื่น 254 นาโนเมตรใช้ในการศึกษาถึงผลของ UV ในการทำทดลองนี้ เนื่องจากแสง UV ทำให้ไฮโดรเจนเพอร์ออกไซด์แตกตัวให้  $\cdot\text{OH}$  ได้มากกว่าในปฏิกิริยาอื่น ๆ โดยในการทดลองนี้ จะทำการศึกษาถึงผลของ UV ที่อุณหภูมิต่างๆ เพื่อต้องการเปรียบเทียบว่าที่อุณหภูมิต่างๆ แสง UV มีผลกับการทำทดลองอย่างไรบ้าง ปฏิกิริยา photolysis ของไฮโดรเจนเพอร์ออกไซด์แสดงดังสมการที่ 4.13 (Allen et al., 1995)

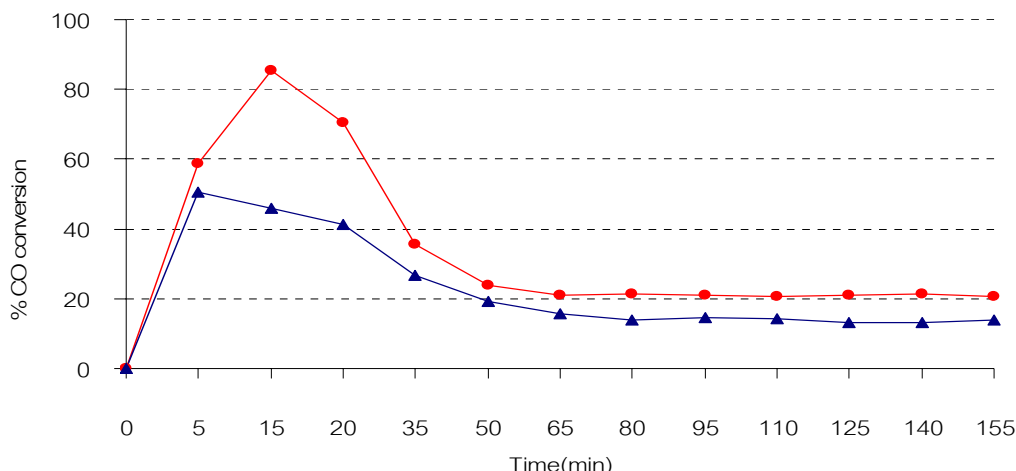


การทำทดลองโดยใช้สารละลายน้ำไฮโดรเจนเพอร์ออกไซด์ 5% w/v ทำปฏิกิริยากับ 500 พีพีเอ็ม คาร์บอนมอนอกไซด์ พร้อมกับผ่านแสง UV เป็นตัวเร่งปฏิกิริยา ข้อมูลค่า %CO Conversion ที่เวลาต่างๆ แสดงในรูปที่ 4.10 และภาคผนวก ๔ ตาราง ๔-๕



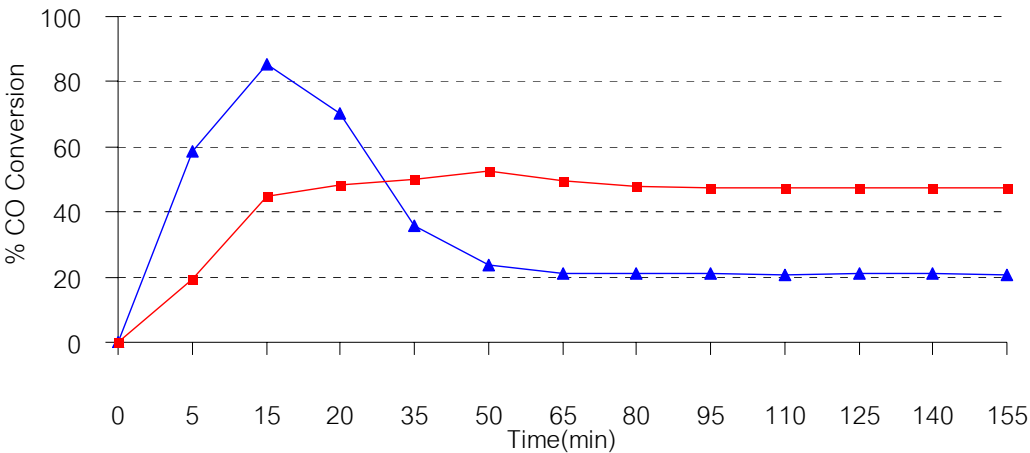
รูปที่ 4.10 %CO Conversion เมื่อไฮโดรเจนเพอร์ออกไซด์ 5% ทำปฏิกิริยากับ คาร์บอนมอนอกไซด์ 500 พีพีเอ็ม เมื่อมี UV-C เป็นตัวเร่งปฏิกิริยา ที่อุณหภูมิต่างๆ; ( $\blacktriangle$ ) 70 °C; ( $\blacksquare$ ) 50 °C; ( $\blacksquare$ ) 30 °C

จากรูปที่ 4.10 แสดงผลของแสง UV ต่อ %CO Conversion โดยทำการศึกษาที่อุณหภูมิต่างๆ จากผลการทดลองพบว่าเมื่ออุณหภูมิเพิ่มขึ้น %CO Conversion จะเพิ่มขึ้น ค่า conversion มากสุดถึง 85 % ที่อุณหภูมิ  $70^{\circ}\text{C}$  เนื่องจากที่อุณหภูมนี้จะเกิด  $\cdot\text{OH}$  ได้มากขึ้น โดย  $\cdot\text{OH}$  ที่เกิดมากขึ้นสามารถตัวกับคาร์บอนมอนอกไซด์ในแก๊สเชื้อเพลิงเกิดเป็นคาร์บอนไดออกไซด์ ดังสมการ 4.3



รูปที่ 4.11 %CO Conversion เมื่อไฮโดรเจนเพอร์ออกไซด์ 5% ทำปฏิกิริยากับคาร์บอนมอนอกไซด์ 500 พีพีเอ็มที่อุณหภูมิ  $70^{\circ}\text{C}$ ; ( $\blacktriangle$ ) ไม่มีตัวเร่งปฏิกิริยาใดๆ; ( $\bullet$ ) มี UV เป็นตัวเร่งปฏิกิริยา

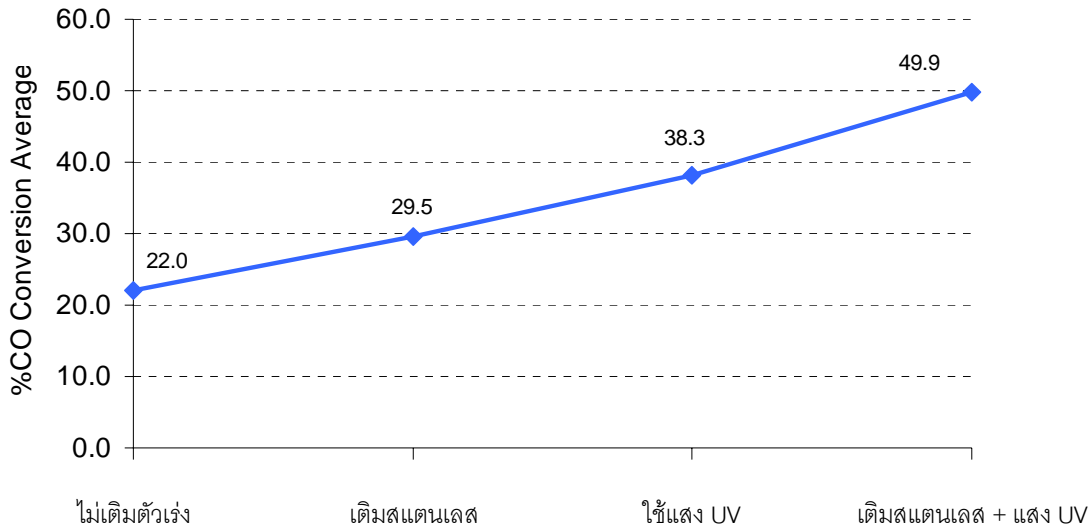
จากรูปที่ 4.11 เมื่อเปรียบเทียบระหว่างใช้ UV และไม่ใช้ UV ที่อุณหภูมิเดียวกันที่  $70^{\circ}\text{C}$  พบว่าเมื่อฉายแสง UV จะให้ %CO Conversion สูงสุดถึง 85 % และคงที่ 21 % ในระยะเวลาเนื่องจากแสง UV สามารถเร่งการสลายตัวของไฮโดรเจนเพอร์ออกไซด์ให้สลายตัวไปเป็น  $\cdot\text{OH}$  ได้ดีกว่าปฏิกิริยาดังกล่าวแล้วในสมการ 4.13



รูปที่ 4.12 %CO Conversion เมื่อไฮดรเจนเพอร์ออกไซด์ 5% ทำปฏิกิริยากับ คาร์บอนมอนอกไซด์ 500 พีพีเอ็มที่อุณหภูมิ  $70^{\circ}\text{C}$ ; ( $\blacktriangle$ ) มี UV เป็นตัวเร่ง; ( $\blacksquare$ ) มี UV และสแตนเลสเป็นตัวเร่งปฎิกิริยา

เมื่อทดลองใช้แสง UV รวมกับสแตนเลสเป็นตัวเร่งปฏิกิริยา โดยใช้สารละลายไฮดรเจนเพอร์ออกไซด์ 5% w/v ผลที่ได้แสดงดังรูปที่ 4.12 คือ %CO Conversion ในระยะเวลาที่ 15 นาทีแรกใช้แสง UV เพียงอย่างเดียว จะให้ %CO Conversion สูงที่สุดถึง 85% แต่เมื่อเวลาผ่านไปหลังจาก 15 นาทีแล้ว %CO Conversion จะลดลงอยู่ที่ 21% ในขณะที่การทดลองที่เติมสแตนเลสลงไปพร้อมกับการให้แสง UV พบว่า %CO Conversion คงที่ตลอดอยู่ที่ 50% ไม่ลดลงเหมือนกับการทดลองที่ใช้แสง UV เพียงอย่างเดียว

แสง UV สามารถเร่งการสลายตัวของไฮดรเจนเพอร์ออกไซด์ไปเป็น  $\cdot\text{OH}$  ได้อย่างรวดเร็ว ดังสมการ 4.13 แต่ในขณะเดียวกัน  $\cdot\text{OH}$  ก็สามารถไปรวมตัวกับ  $\text{HO}_2^{\cdot}$  ซึ่งจะไม่ทำปฏิกิริยากับ คาร์บอนมอนอกไซด์ แต่จะไปทำปฏิกิริยากับองค์กริเดนไฮดร์ออกไซด์อีกรั้ง ดังนั้น %CO Conversion จึงลดลงอย่างรวดเร็ว แต่เมื่อเติมตัวเร่งปฏิกิริยาที่เป็นสแตนเลสลงไปใน gas reactor ด้วยการทำให้เกิดพันธะ M-OH ระหว่างไฮดรเจนเพอร์ออกไซด์และผิวของสแตนเลส ซึ่ง คาร์บอนมอนอกไซด์สามารถทำปฏิกิริยากับไฮดรเจนเพอร์ออกไซด์บนพื้นผิวของสแตนเลสเกิดเป็นคาร์บอนไดออกไซด์ การเติมสแตนเลสเป็นตัวเร่งปฏิกิริยาทำให้มีพื้นที่ในการเกิดปฏิกิริยามากขึ้นดังสมการ 4.12 ในขณะที่การใช้แสง UV เพียงอย่างเดียวจะให้ผลดีในระดับหนึ่ง แต่ถ้ามีการเพิ่มสแตนเลสเข้าไปด้วยจะช่วยเร่งการเกิดปฏิกิริยาระหว่างคาร์บอนมอนอกไซด์และไฮดรเจนเพอร์ออกไซด์ได้มากขึ้น %CO Conversion ระยะยาวจึงดีขึ้นในอัตราที่คงที่ตลอดการทดลอง ดังรูปที่ 4.12



รูปที่ 4.13 ค่าเฉลี่ยของ %CO Conversion เมื่อไออกไซด์เจนเพอร์ออกไซด์ 5% ทำปฏิกิริยา กับคาร์บอนมอนอกไซด์ 500 พีพีเอ็มที่อุณหภูมิ 70 °C

จากรูปที่ 4.13 แสดงกราฟเปรียบเทียบระหว่าง %CO Conversion เฉลี่ยของปฏิกิริยาที่ 70 °C เมื่อใช้ตัวเร่งปฏิกิริยาที่ต่างกัน โดยจะเห็นว่าเมื่อเติมสแตนเลสพร้อมกับการฉายแสง UV ที่ อุณหภูมิ 70 °C จะให้ค่า %CO Conversion สูงที่สุด

#### 4.2.5 ผลของเฟอร์รัสไอโอน

เฟอร์รัสไอโอนสามารถเร่งการถลายน้ำของไออกไซด์เจนเพอร์ออกไซด์เกิด  $\cdot\text{OH}$  ได้เหมือนกัน โดยปฏิกิริยาการถลายตัวของไออกไซด์เจนเพอร์ออกไซด์ที่ใช้เฟอร์รัสและมีแสง UV เข้าร่วมเรียกว่า ปฏิกิริยาโฟโตเฟนตอน (Photo-Fenton) การทดลองในส่วนนี้ทดลองใช้ปฏิกิริยาโฟโตเฟนตอน ใน การขัดจักรบอนมอนอกไซด์ที่ปนมากับแก๊สเชื้อเพลิง การเกิดปฏิกิริยาออกซิเดชันของ Fenton reagent ( $\text{Fe}^{2+}$ ) เกิดขึ้นได้เนื่องจากการที่เฟอร์รัสเร่งการถลายตัวของไออกไซด์เจนเพอร์ออกไซด์เกิด เป็น  $\cdot\text{OH}$  ในตัวกลางที่เป็นกรด โดย  $\cdot\text{OH}$  จะมีค่า oxidation potential ที่สูงมาก (2.8 eV) (Mandal et al., 2004) โดยปฏิกิริยาสามารถที่จะให้  $\cdot\text{OH}$  เพิ่มเติมจากปฏิกิริยา photolysis ( $\cdot\text{OH}$ ) ปฏิกิริยาจะเกิดได้ในตัวกลางที่เป็นกรด ปฏิกิริยานี้จะให้  $\cdot\text{OH}$  อย่างช้าๆ ดังแสดงในสมการ 4.14

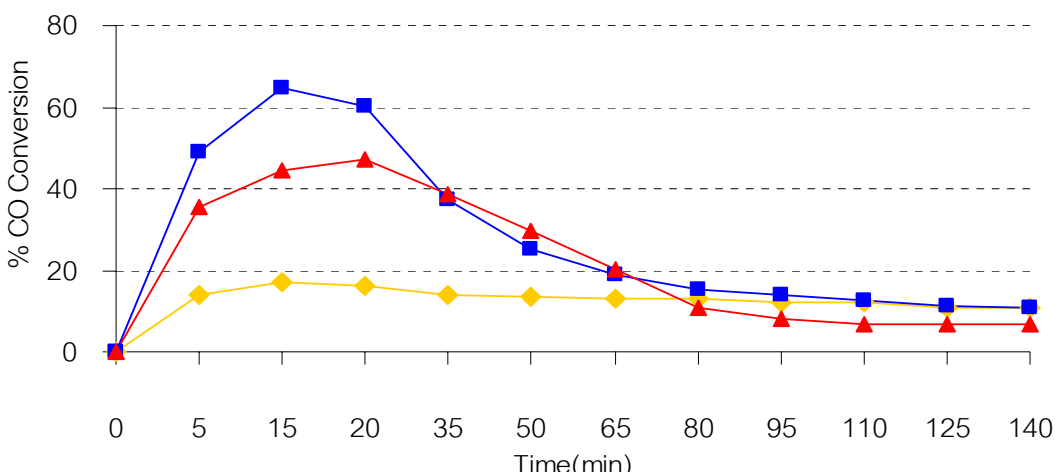


ในการทดลองนี้จะศึกษาหาภาวะที่ดีที่สุดในการขัดคาร์บอนมอนอกไซด์ในปฏิกิริยาที่ใช้เฟอร์รัสเป็นตัวเร่งปฏิกิริยา จากงานวิจัยที่ผ่านมาพบว่า pH ของสารละลายเป็นตัวแปรที่สำคัญในการเกิดปฏิกิริยาโพโตเฟนต่อน และสัดส่วนของเฟอร์รัส/ไอโอนต้องอยู่ในระดับที่เหมาะสมจึงจะเกิดปฏิกิริยาได้ดี

จากการวิจัยที่เกี่ยวข้อง (Muruganandham et al., 2004) มีผู้ศึกษาประเมินเฟอร์รัส/ไอโอนในสารละลายที่เหมาะสมในการให้  $\cdot\text{OH}$  คือต้องอยู่ในปริมาณโมลของเฟอร์รัสน้อยกว่าโมลของไฮโดรเจนเพอร์ออกไซด์ 100 เท่า ปฏิกิริยาโพโตเฟนต่อนจึงจะเกิดได้ดี ในงานวิจัยนี้จะทำการศึกษาถึง pH ที่เหมาะสมของปฏิกิริยา และประเมินเฟอร์รัส/ไอโอนที่เหมาะสมสำหรับปฏิกิริยา เพื่อศึกษาถึงตัวแปรที่ดีที่สุดในการขัดคาร์บอนมอนอกไซด์ออกจากแก๊สเชื้อเพลิง

#### 4.2.5.1 ผลของ pH ของสารละลาย

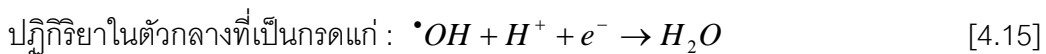
pH ของสารละลายในปฏิกิริยาโพโตเฟนต่อนที่ทำการศึกษาในการขัดคาร์บอนมอนอกไซด์ ออกจากการแก๊สเชื้อเพลิงของเซลล์เชื้อเพลิงแบบเยื่อแผ่นแลกเปลี่ยนprototon คือ pH 1 pH 3 และ pH 5 ทำการทดลองที่อุณหภูมิ 30 °C ความเข้มข้นของไฮโดรเจนเพอร์ออกไซด์ 5 %w/v ในการทดลองนี้จะศึกษาผลของ pH ต่อ %CO Conversion จึงกำหนดให้ปริมาณของเฟอร์รัส/ไอโอน มีค่าคงที่ ในปริมาณที่น้อยกว่าโมลของไฮโดรเจนเพอร์ออกไซด์ 100 เท่า ทำการเก็บข้อมูล %CO Conversion ที่เวลาต่างๆ ผลที่ได้แสดงดังรูปที่ 4.14 ข้อมูลค่า %CO Conversion ที่เวลาต่างๆ แสดงในภาคผนวก ข ตาราง ข-6



รูปที่ 4.14 %CO Conversion เมื่อไฮโดรเจนเพอร์ออกไซด์ 5% ทำปฏิกิริยากับคาร์บอนมอนอกไซด์ 500 พีพีเอ็มที่อุณหภูมิ 30 °C; โมลของ  $\text{Fe}^{2+} < \text{H}_2\text{O}_2 = 100$  เท่า;  
(■) pH = 3; (▲) pH = 5; (◆) pH = 1

เมื่อทำการเปลี่ยนเทียบ %CO Conversion ที่ pH 1 pH 3 และ pH 5 พบร่วมกับ pH 3 จะให้ %CO Conversion ที่สูงที่สุด ต่อมากเป็น pH 5 และ pH 1 ตามลำดับ นั่นคือที่ pH 3 เกิด  $\cdot\text{OH}$  ตามสมการ 4.14 ได้ดีที่สุด การที่  $\cdot\text{OH}$  เกิดขึ้นมากทำให้เกิดปฏิกิริยา กับคาร์บอนมอนอกไซด์ ได้มากขึ้น %CO Conversion จึงมากขึ้น

pH ของสารละลายควบคุมการเกิด  $\cdot\text{OH}$  ของปฏิกิริยาไฟโตเฟนตอน และควบคุมความเข้มข้นของเฟอร์รัสไอออนในสารละลาย ดังนั้น pH จะเป็นตัวแปรที่สำคัญมากของปฏิกิริยาไฟโตเฟนตอน ในกรณีที่ pH ของสารละลายเป็น 1 อัตราการเกิดปฏิกิริยาจะถูกจำกัดเนื่องจาก  $\cdot\text{OH}$  ที่เกิดในปฏิกิริยาจะไปทำปฏิกิริยากับprotofenton ในกรณีที่ pH 3 เกิดเป็นน้ำดังแสดงในสมการที่ 4.15



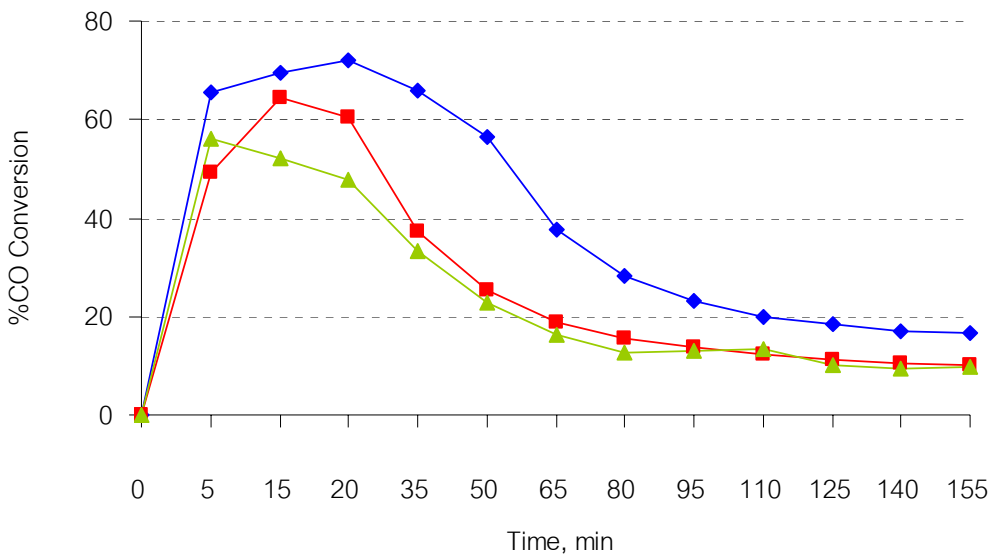
ในขณะที่ pH 5 เฟอร์รัสที่เติมลงไปเพื่อต้องการให้ไปจับกับไฮโดรเจนเพอร์ออกไซด์เพื่อให้เกิดเป็น  $\cdot\text{OH}$  กลับไปเกิดเป็น กลุ่มก้อนของ hydroxo complex ของ เฟอร์ริกไอออน ( $\text{Fe}^{3+}$ ) เกิดขึ้น ในปฏิกิริยาดังแสดงในสมการที่ 4.16 - 4.17 (Muruganandham et al., 2004)(สุรังค์, 2535)



$\text{Fe}^{3+}$  ที่ได้จากปฏิกิริยาที่ pH 5 จะเกิดเป็นตะกอนสีน้ำตาลแดงและไม่สามารถทำปฏิกิริยาได้อีก

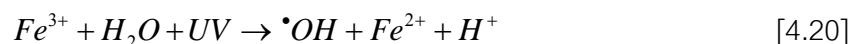
#### 4.2.5.2 ผลของปริมาณเฟอร์รัสในสารละลาย

ความสามารถในการเกิดปฏิกิริยาออกซิเดชันของปฏิกิริยาไฟโตเฟนตอน เนื่องมาจากการเกิด  $\cdot\text{OH}$  ของปฏิกิริยาที่เกิดจากเฟอร์รัสไปทำให้ไฮโดรเจนเพอร์ออกไซด์แตกตัวเป็น  $\cdot\text{OH}$  ในตัวกลางที่เป็นกรด นอกจาก pH ของสารละลายแล้วปริมาณของเฟอร์รัสที่เติมลงไปก็มีผลอย่างมากต่อปฏิกิริยาไฟโตเฟนตอน ในการทดลองนี้จะศึกษาถึงผลของปริมาณเฟอร์รัส ไอออน โดยทำการทดลองที่ pH 3 ซึ่งเป็น pH ที่ดีที่สุดที่ได้จากการทดลองที่แล้ว ปริมาณของเฟอร์รัสไอออนที่ทำการศึกษาจะอยู่ที่น้อยกว่าโมลของไฮโดรเจนเพอร์ออกไซด์ 50 เท่า 100 เท่า และ 200 เท่า โดยในการทดลองจะใส่เฟอร์รัสลงไปใน gas reactor ผลการทดลองที่ได้แสดงดังรูปที่ 4.15 ข้อมูลค่า %CO Conversion ที่เวลาต่างๆ แสดงในภาคผนวก ๑ ตาราง ๔-7



รูปที่ 4.15 %CO Conversion เมื่อไฮโดรเจนเพอร์ออกไซด์ 5% ทำปฏิกิริยา กับ คาร์บอนมอนอกไซด์ 500 พีไฟเอ็มที่อุณหภูมิ 30 °C; pH = 3; (▲) ไมล Fe<sup>2+</sup> < H<sub>2</sub>O<sub>2</sub> = 50 เท่า; (■) ไมล Fe<sup>2+</sup> < H<sub>2</sub>O<sub>2</sub> = 100 เท่า; (◆) ไมล Fe<sup>2+</sup> < H<sub>2</sub>O<sub>2</sub> = 200 เท่า

ในปฏิกิริยาที่ศึกษาถึงผลของปริมาณเฟอร์สไอกอนพบว่า %CO Conversion แปรผันแบบผกผันกับปริมาณเฟอร์ส โดยเฟอร์สไอกอนจะเร่งการแตกตัวของไฮโดรเจนเพอร์ออกไซด์ เกิดเป็น ·OH อย่างรวดเร็วในตอนแรกทำให้ %CO Conversion จะสูงในช่วงแรกในทุกๆ ปริมาณ เฟอร์สที่ทำการทดลอง แต่เมื่อเวลาผ่านไป %CO Conversion จะลดลง จากรูปที่ 4.15 พบว่าที่ ไมลเฟอร์สไอกอนน้อยกว่าไมลของไฮโดรเจนเพอร์ออกไซด์ 200 เท่า จะให้ %CO Conversion สูง ที่สุด ถัดมาเป็น 100 เท่า และ 50 เท่า ปฏิกิริยาของเฟอร์สไอกอนแสดงดังสมการ 4.18 - 4.21 (Muruganandham et al., 2004)



ปฏิกิริยาโฟโตเฟนตอนจะให้ประสิทธิภาพมากกว่าปฏิกิริยา photochemistry เนื่องจากสามารถผลิต  $\cdot\text{OH}$  ได้มากกว่าโดยปฏิกิริยา photochemistry จะให้  $\cdot\text{OH}$  ดังสมการที่ 4.18 แต่สำหรับปฏิกิริยาโฟโตเฟนตอนจะได้  $\cdot\text{OH}$  ทั้งจากสมการ 4.18 และ 4.19 โดยการเกิดปฏิกิริยากับคาร์บอนมอนอกไซด์จะมีมากกว่า แต่เมื่อปริมาณของเฟอร์รัสไอออนที่เติมลงไปเพิ่มมากขึ้นจะไปเร่งให้ไฮโดรเจนเพอร์ออกไซด์ถลวยตัวอย่างรวดเร็วเกิดเป็นออกซิเจน ซึ่งจะเกิดปฏิกิริยากับคาร์บอนมอนอกไซด์เกิดได้ยากกว่า  $\cdot\text{OH}$  ทำให้ปฏิกิริยาเกิดได้ไม่ดี %CO Conversion จึงลดลง เมื่อโมลของ  $\text{Fe}^{2+}$  ที่เติมลงไปเพิ่มมากขึ้น

จากการทดลองในส่วนที่สองพบว่าภาวะที่ดีที่สุดในการขัดคาร์บอนมอนอกไซด์ออกจากแก๊สเชื้อเพลิง คือใช้ไฮโดรเจนเพอร์ออกไซด์ความเข้มข้น 5 %w/v อุณหภูมิในการเกิดปฏิกิริยา 70 °C และมีการใช้ตัวเร่งปฏิกิริยา 2 ชนิดไปพร้อม ๆ กันคือเติมสแตนเลสลงไปพร้อมด้วยการฉายแสง UV-C พบว่าเป็นภาวะที่ให้ %CO Conversion สูงที่สุดเมื่อเทียบกับตัวแปรอื่น ๆ โดยในการทดลองที่ใช้เฟอร์รัสไอออนพบว่า pH ที่เหมาะสมสำหรับการทดลองคือ pH 3 ซึ่งมีภาวะเป็นกรดจึงไม่เหมาะสมกับระบบการทำงานของเซลล์เชื้อเพลิงแบบเยื่อแผ่นแลกเปลี่ยนprotoionเนื่องจากจะเกิดการกัดกร่อนระบบการทำงานของเซลล์เชื้อเพลิงทำให้เกิดความเสียหายได้ นอกจากนี้ปฏิกิริยาของเฟอร์รัสจะควบคุมปฏิกิริยาให้เป็นไปตามที่ต้องการยกเว้นจากมีความชับช้อนของปฏิกิริยา มากยังไม่มีการพิสูจน์ได้แน่ชัดว่าปฏิกิริยาเป็นไปในแนวไหน

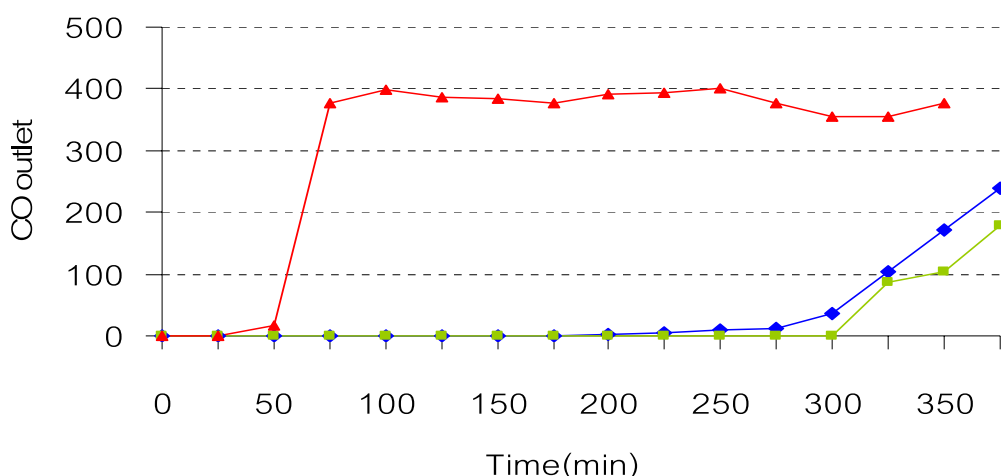
ดังนั้นการทดลองในส่วนต่อไปในส่วนที่ 3 จึงใช้ภาวะที่สามารถขัดคาร์บอนมอนอกไซด์ได้มากที่สุด ศึกษาต่อถึงผลของการขัดคาร์บอนมอนอกไซด์โดยใช้ไฮโดรเจนเพอร์ออกไซด์ต่อตัวเร่งปฏิกิริยาที่ข้าวเอนดอน

#### 4.3 ส่วนที่ 3 ศึกษาผลของการใช้ไฮโดรเจนเพอร์ออกไซต์ในการขัด คาร์บอนมอนอกไซด์ต่อตัวเร่งปฏิกิริยาที่ใช้สำหรับข้าวเอนดอนของเซลล์เชื้อเพลิง

การทดลองในส่วนนี้จะทำการบรรจุตัวเร่งปฏิกิริยาที่ต้องการศึกษาลงใน U-tube reactor แก๊สเชื้อเพลิงที่มีคาร์บอนมอนอกไซด์ปนอยู่ทำปฏิกิริยากับสารละลายไฮโดรเจนเพอร์ออกไซด์ใน gas reactor คาร์บอนมอนอกไซด์บางส่วนจะเปลี่ยนไปเป็นคาร์บอนไดออกไซด์ ส่วนคาร์บอนมอนอกไซด์ที่เหลือจะถูกป้อนมาพร้อมกับไฮโดรเจนและไฮโดรเจนเพอร์ออกไซด์ไปยัง U-tube reactor โดยคาร์บอนมอนอกไซด์จะถูกขัดออกครั้งที่ผิวน้ำของตัวเร่งปฏิกิริยาโดยใช้ออกซิเจนที่ได้จากการถลวยตัวของไฮโดรเจนเพอร์ออกไซด์มาทำปฏิกิริยากับคาร์บอนมอนอกไซด์เกิดเป็นคาร์บอนไดออกไซด์ (Bellows et al., 1997) การทดลองในส่วนนี้จะ

แบ่งออกเป็น 2 การทดลอง โดยการทดลองแรกใช้ไฮโดรเจนเพอร์ออกไซด์ ส่วนการทดลองที่สอง เป็นการทดลองเบรียบเทียบโดยใช้น้ำใส่ลงไปแทนไฮโดรเจนเพอร์ออกไซด์เพื่อดูว่าหากไม่ใช้ไฮโดรเจนเพอร์ออกไซด์แล้วผลที่ได้จะเป็นอย่างไร ตัวเร่งปฏิกิริยาที่ใช้มี 3 ชนิด ซึ่งเป็นตัวเร่งปฏิกิริยาสำหรับขั้วแอนโโนดของเซลล์เชื้อเพลิงคือ 1) Pt 10 %wt/Vulcan XC-72 2) Pt 20 %/Vulcan XC-72 และ 3) Pt 20 %wt-Ru 10 %wt/Vulcan XC-72

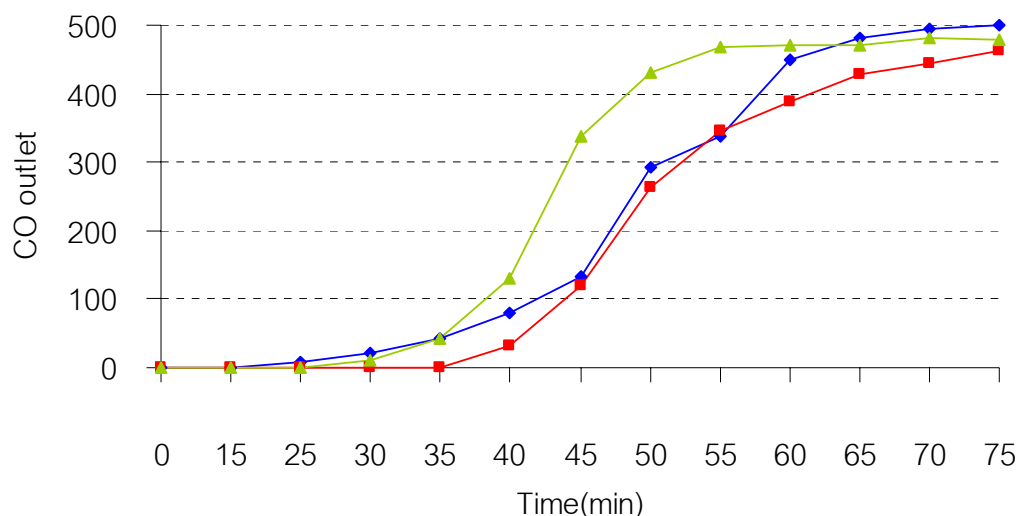
ภาวะที่ใช้ในการทดลองในส่วนที่ 3 นี้คืออุณหภูมิ 70 °C ไฮโดรเจนเพอร์ออกไซด์ความเข้มข้น 5 %w/v มีการฉายแสง UV-C และเติมสแตนแลสใน gas reactor โดยจากการทดลองในส่วนที่ 2 ที่ผ่านมาพบว่าสามารถจัดการบอนมอนออกไซด์ได้มากถึง 50% และเมื่อนำ gas reactor ในส่วนที่ 2 มาต่อ กับ U-tube reactor ในส่วนที่ 3 ทำการวัดปริมาณคาร์บอนมอนออกไซด์ที่ออกจาก U-tube reactor ที่เวลาต่างๆ โดยใช้เครื่องแก๊สโคลромาโทกราฟ ถ้าพีคของคาร์บอนมอนออกไซด์เริ่มปรากฏแสดงว่าตัวเร่งปฏิกิริยาเริ่มสูญเสียสภาพแล้ว นำผลที่ได้มาเขียนกราฟเทียบกับเวลาแสดงดังรูปที่ 4.16 และรูป 4.17



รูปที่ 4.16 CO ที่ออกจาก catalyst reactor ที่เวลาใดๆ เมื่อใช้ตัวเร่งปฏิกิริยาสำหรับขั้วแอนโโนดต่างชนิดกัน; (▲) Pt 10 %wt/ Vulcan; (◆) Pt 20 %wt/ Vulcan; (■) Pt 10 % -Ru 10 % wt/ Vulcan; เติมไฮโดรเจนเพอร์ออกไซด์ 5 %w/v ใน gas reactor อุณหภูมิ 70 °C

รูปที่ 4.16 และ 4.17 แสดงปริมาณคาร์บอนมอนออกไซด์ (พีพีเอ็มโมล) ที่ออกจาก U-tube reactor ที่เวลาใดๆ เมื่อใช้ตัวเร่งปฏิกิริยาต่างชนิดกัน โดยรูปที่ 4.16 จะเติมสารละลายไฮโดรเจนเพอร์ออกไซด์ 5% w/v ลงใน gas reactor ส่วนรูปที่ 4.17 จะเติมน้ำกลันลงไปแทนไฮโดรเจนเพอร์ออกไซด์ ผลการทดลองที่ได้พบว่าเมื่อเติมไฮโดรเจนเพอร์ออกไซด์ลงไปใน gas reactor และใช้ภาวะที่ดีที่สุดในการขัดคาร์บอนมอนออกไซด์ สามารถตรวจพบ

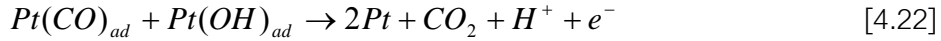
かる์บอนมอนอกไซด์ เมื่อเวลาผ่านไปมากกว่า 6 ชั่วโมงเมื่อใส่ตัวเร่งปฏิกิริยา Pt 20%/Vulcan และ Pt 20%-Ru10%/Vulcan แต่เมื่อแทนที่ไฮโดรเจนเพอร์ออกไซด์ที่ใช้ด้วยน้ำพบว่าสามารถตรวจพบ かる์บอนมอนอกไซด์ที่ออกจาก U-tube reactor เมื่อเวลาผ่านไปเพียง 35 นาที และเริ่มนิ่งมากขึ้น เมื่อเวลาผ่านไปถึง 50 นาที



รูปที่ 4.17 CO ที่ออกจาก catalyst reactor ที่เวลาใดๆ เมื่อใช้ตัวเร่งปฏิกิริยาสำหรับขั้วแอนด์ต่างชนิดกัน (▲) Pt 10 %wt/ Vulcan; (◆) Pt 20 %wt/ Vulcan; (■) Pt 10 % -Ru 10 % wt/ Vulcan; เติมน้ำกลั่นใน gas reactor อุณหภูมิ 70 °C

จากการทดลองนี้จึงสามารถสรุปได้ว่าในส่วนของการเติมไฮโดรเจนเพอร์ออกไซด์ลงไปเพื่อขัดかる์บอนมอนอกไซด์ออกจากแก๊สเชื้อเพลิง かる์บอนมอนอกไซด์ 500 พีพีเอ็มที่ปั่นมากับแก๊สเชื้อเพลิงถูกขัดออกไปก่อนใน gas reactor หลังจากนั้นかる์บอนมอนอกไซด์ที่เหลืออยู่ส่วนหนึ่งจะผ่านไปยัง U-tube reactor พร้อมกับออกซิเจนที่ได้จากการสลายตัวของไฮโดรเจนเพอร์ออกไซด์ หรือไฮโดรเจนเพอร์ออกไซด์ที่อยู่ในสถานะไอ かる์บอนมอนอกไซด์ที่เหลืออยู่เมื่อเจอตัวเร่งปฏิกิริยาสำหรับขั้วแอนด์จะรวมตัวกับออกซิเจนที่ได้จากการสลายตัวของไฮโดรเจนเพอร์ออกไซด์บนผิวน้ำของตัวเร่งปฏิกิริยาอีกครั้งหนึ่ง เกิดเป็นかる์บอนไดออกไซด์จากการทดลองจะเห็นว่าเวลาผ่านไปนานถึง 6 ชั่วโมงจึงจะเริ่มปรากฏพิคของかる์บอนไดออกไซด์ การใช้ไฮโดรเจนเพอร์ออกไซด์จึงเป็นการช่วยทำความสะอาดผิวน้ำของตัวเร่งปฏิกิริยาอีกทางหนึ่ง

ปฏิกิริยาออกซิเดชันของคาร์บอนมอนอกไซด์ไปเป็นคาร์บอนไดออกไซด์ที่ดำเน่นง แพลทินัมซึ่งเป็นตัวเร่งปฏิกิริยาสำหรับข้าวแครโนดแสดงดังสมการที่ 4.22 (Schmidt et al., 2001)



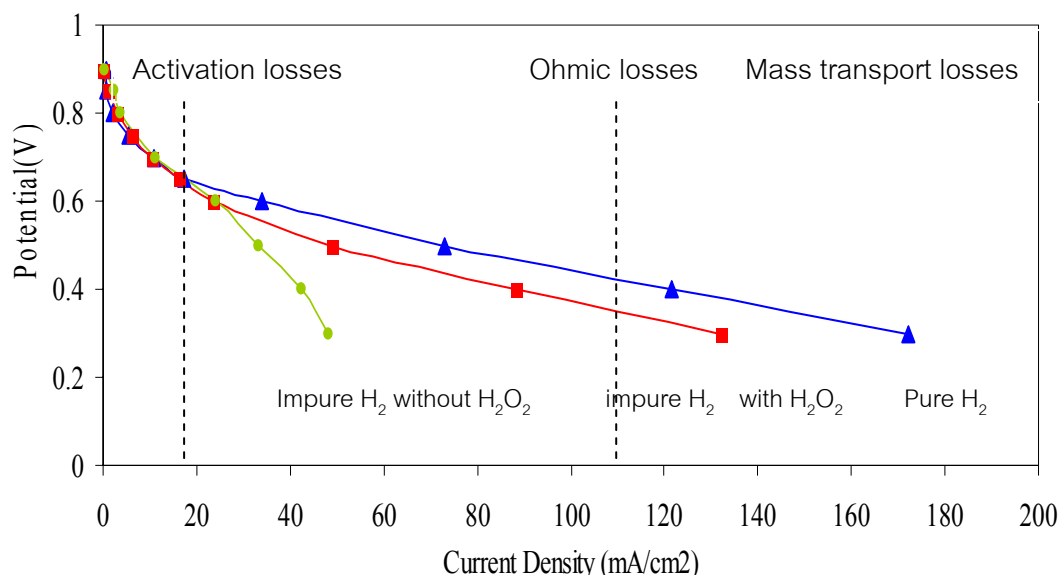
ส่วนในการทดลองที่ใช้ Pt 10%/Vulcan พบร่วมกับ Pt ของ คาร์บอนมอนอกไซด์ จะเริ่มปรากฏ เมื่อเวลาผ่านไปเพียง 60 นาที ที่เป็นช่วงนี้เนื่องจากการออกซิเดชันของคาร์บอนมอนอกไซด์ไปเป็น คาร์บอนไดออกไซด์โดยใช้ไฮโดรเจนเพอร์ออกไซด์บนผิวน้ำของตัวเร่งปฏิกิริยาต้องการพื้นที่ใน การให้คาร์บอนมอนอกไซด์จับและในขณะเดียวกันต้องการพื้นที่บนผิวด้วยตัวเร่งปฏิกิริยาที่จะเร่งให้ ไฮโดรเจนเพอร์ออกไซด์แตกตัว ถ้าพื้นที่ผิวของตัวเร่งปฏิกิริยาน้อยเกินไปหรือมากเกินไปปฏิกิริยานี้ จะเกิดได้ไม่ดี (Schmidt et al., 2001) เพราะฉะนั้นในการทดลองนี้ปริมาณ คาร์บอนมอนอกไซด์ อาจจะมากเกินไป หรือพื้นที่ผิวของตัวเร่งปฏิกิริยาอาจจะน้อยเกินไป ตัวเร่งปฏิกิริยาจึงเสียสภาพอย่างรวดเร็วภายใน 50 นาที

#### 4.4 ส่วนที่ 4 ศึกษาผลของการใช้ไฮโดรเจนเพอร์ออกไซด์ในการลด คาร์บอนมอนอกไซด์ต่อความหนาแน่นกระแสงของเซลล์เชือเพลิง

การทดลองในส่วนนี้ต้องการศึกษาว่าเมื่อคาร์บอนมอนอกไซด์ถูกจัดออกไประดับใดโดยใช้ ไฮโดรเจนเพอร์ออกไซด์แล้วจะมีผลอย่างไรต่อค่าความหนาแน่นกระแสงในเซลล์เชือเพลิงแบบเยื่อ แผ่นแลกเปลี่ยนprototon ซึ่งในการทดลองจะนำ gas reactor มาต่อแทนส่วนให้ความชื้นของเซลล์ เชือเพลิงทางด้านแอนโนด ในส่วนนี้ได้แบ่งการทดลองออกเป็นสามการทดลองเพื่อเปรียบเทียบผลการทดลองแรกจะใช้ไฮโดรเจนบริสุทธิ์เป็นแก๊สเชือเพลิงและใส่น้ำลงไประดับส่วนให้ความชื้นทางด้าน แอนด์ การทดลองที่สองเปลี่ยนจากไฮโดรเจนบริสุทธิ์เป็นไฮโดรเจนที่มีคาร์บอนมอนอกไซด์ 500 พีพีเอ็มปานอยู่ และการทดลองที่สามเป็นการทดลองที่ใช้ไฮโดรเจนที่มีคาร์บอนมอนอกไซด์ 500 พีพีเอ็มปานอยู่ และเติมสารละลายไฮโดรเจนเพอร์ออกไซด์ 5% w/v พร้อมกับ UV-C และสแตนเลสลงใน gas reactor ผลการทดลองทั้งสามการทดลองแสดงดังรูปที่ 4.18

จากผลการทดลองในรูป 4.18 พบร่วมกับค่าความหนาแน่นกระแสงของเซลล์จะลดลงอย่างรวดเร็วในการทดลองที่ใช้แก๊สเชือเพลิงที่มีคาร์บอนมอนอกไซด์ปานอยู่ 500 พีพีเอ็มและใช้น้ำเติมใน gas reactor แต่เมื่อเติมสารละลายไฮโดรเจนเพอร์ออกไซด์ 5% w/v พร้อมกับใช้แสง UV-C และโลหะสแตนเลสใน gas reactor พบร่วมกับค่าความหนาแน่นกระแสงของเซลล์จะมีค่าใกล้เคียงกับเซลล์เชือเพลิงที่ใช้ไฮโดรเจนบริสุทธิ์ เป็นที่น่าสังเกตว่าทั้งสามการทดลองนี้จะแสดงผลช่วง

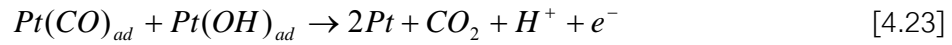
Activation losses เนื่องจาก แต่พอเข้าสู่ช่วง Ohmic losses และ Mass transport losses ต่างกันอย่างเห็นได้ชัดโดยพบว่าความหนาแน่นของกระแสจะตกอย่างรวดเร็ว เมื่อใช้แก๊สเชื้อเพลิงที่มีค่าวัสดุอนมอนอกไซด์ปานอยู่ 500 พีพีเอม และเมื่อใช้ไฮโดรเจนเพอร์ออกไซด์ในการจัดค่าวัสดุอนมอนอกไซด์จะมีค่าใกล้เคียงกับการทดลองที่ใช้ไฮโดรเจนบริสุทธิ์ที่เป็นเช่นนี้ เพราะค่าวัสดุอนมอนอกไซด์จะถูกจัดโดยใช้ไฮโดรเจนเพอร์ออกไซด์ การที่ค่าความหนาแน่นกระแสของเซลล์เชื้อเพลิงลดลงเนื่องจากเกิด over voltage ทางด้านแอนโโนด ซึ่งเกิดจากการดูดซับอย่างแข็งแรงของ ค่าวัสดุอนมอนอกไซด์ปานผิวน้ำของตัวเร่งปฏิกิริยาทำให้ไฮโดรเจนไม่สามารถเข้าไปทำงานปฏิกิริยาได้



รูปที่ 4.18 ความสัมพันธ์ระหว่างความต่างศักย์และความหนาแน่นกระแสเมื่อใช้แก๊สเชื้อเพลิงชนิดต่างๆ: (▲) ใช้ไฮโดรเจนบริสุทธิ์เป็นแก๊สเชื้อเพลิง เติมน้ำใน gas reactor; (■) ใช้ไฮโดรเจนที่มีค่าวัสดุอนมอนอกไซด์ 500 พีพีเอมและเติมไฮโดรเจนเพอร์ออกไซด์ใน gas reactor; (●) ใช้ไฮโดรเจนที่มีค่าวัสดุอนมอนอกไซด์ 500 พีพีเอม เติมน้ำใน gas reactor

เมื่อใช้สารละลายไฮโดรเจนเพอร์ออกไซด์ในการจัดค่าวัสดุอนมอนอกไซด์โดยการแทนที่ส่วนให้ความชื้นทางด้านข้าวแอนโโนดด้วย gas reactor ในการทดลองส่วนที่สอง ค่าวัสดุอนมอนอกไซด์ จะถูกจัดโดยอกในส่วนนี้ก่อน ปฏิกิริยาที่เกิดขึ้นใน reactor แสดงดังสมการ 4.9 - 4.12

หลังจากนั้น คาร์บอนมอนออกไซด์ ที่เหลือจะถูกป้อนไปร้อนกับไออกไซโดเจนเพอร์ออกไซด์ที่อยู่ในสถานะแก๊สไปเกิดปฏิกิริยากันอีกครั้งเกิดเป็นคาร์บอนไดออกไซด์บนผิวน้ำของตัวเร่งปฏิกิริยาสำหรับข้าวแอลูมิโนด โดยปฏิกิริยาบนผิวน้ำของข้าวแอลูมิโนดแสดงดังสมการ 4.23 (Schmidt et al., 2001)



การใช้ไออกไซโดเจนเพอร์ออกไซด์ร้อนกับ UV และสแตนเลสในการขัดคาร์บอนมอนออกไซด์ทำให้เซลล์เชื้อเพลิงมีค่าความหนาแน่นกระแสงไกลัสคี่ยงกับเซลล์เชื้อเพลิงที่ใช้ไออกไซโดเจนบริสุทธิ์เป็นแก๊สเชื้อเพลิง

## บทที่ 5

### สรุปผลการศึกษาและข้อเสนอแนะ

#### 5.1 สรุปผลการศึกษา

การทดลองในส่วนที่ 1 จะทำการศึกษาปฏิกิริยาระหว่างคาร์บอนมอนออกไซด์ 500 พีพีเอ็มในไฮโดรเจน และไฮโดรเจนเพอร์ออกไซด์โดยใช้ FT-IR การทดลองในส่วนนี้เพื่อต้องการศึกษาว่าคาร์บอนมอนออกไซด์ที่ปั่นมากับไฮโดรเจนสามารถทำปฏิกิริยา กับไฮโดรเจนเพอร์ออกไซด์ เกิดเป็นคาร์บอนไดออกไซด์ได้หรือไม่ เพื่อเป็นแนวทางการศึกษาในส่วนต่อไป จากการทดลองโดยตรวจด้วย FT-IR พบร่วมกันของสารที่ปั่นอยู่ใน gas reactor ที่บรรจุสารละลายไฮโดรเจนเพอร์ออกไซด์ IR สเปคตัมแสดงถึงปริมาณคาร์บอนไดออกไซด์ที่เพิ่มขึ้นเมื่อเวลาผ่านไปมากขึ้น ซึ่งเมื่อเปรียบเทียบกับการทดลองที่ใช้น้ำแทนไฮโดรเจนเพอร์ออกไซด์ พบร่วมกันของสารที่ปั่นอยู่ใน gas reactor ที่บรรจุสารละลายไฮโดรเจนเพอร์ออกไซด์ IR สเปคตัมแสดงถึงปริมาณคาร์บอนไดออกไซด์ที่เพิ่มขึ้นเมื่อเวลาผ่านไป เมื่อทราบจากการทดลองแล้วว่า ปฏิกิริยาระหว่างคาร์บอนมอนออกไซด์และไฮโดรเจนเพอร์ออกไซด์สามารถเกิดขึ้นได้จริง จึงทำการศึกษาต่อในการทดลองส่วนที่ 2 เพื่อหาภาวะที่ดีที่สุดในการขัดคาร์บอนมอนออกไซด์ออกจากการแก๊สเชื้อเพลิงโดยใช้ไฮโดรเจนเพอร์ออกไซด์

การทดลองในส่วนที่ 2 แบ่งการทดลองย่อยๆ ออกเป็น 5 การทดลองเพื่อหาภาวะที่ดีที่สุดในการขัดคาร์บอนมอนออกไซด์

การทดลองแรกศึกษาถึงผลของการเพิ่มความเข้มข้นของไฮโดรเจนเพอร์ออกไซด์ในการขัดคาร์บอนมอนออกไซด์พบว่าที่ความเข้มข้น 5 %w/v จะให้ค่า %CO Conversion เฉลี่ยสูงที่สุด

ในส่วนของอุณหภูมิเมื่อความเข้มข้นไฮโดรเจนเพอร์ออกไซด์คงที่ 5 %w/v พบร่วมกันของ gas reactor ที่ 70 °C จะให้ค่าเฉลี่ยของ %CO Conversion สูงสุดคือ 22 %

การศึกษาผลของตัวเร่งปฏิกิริยา 2 ชนิดคือสแตนเลสและแสตนเลส UV-C พบร่วมกับการใช้ตัวเร่งปฏิกิริยาสามารถเร่งการแตกตัวของไฮโดรเจนเพอร์ออกไซด์ 5 %w/v ทำให้คาร์บอนมอนออกไซด์เปลี่ยนเป็นคาร์บอนไดออกไซด์มากขึ้น โดยอุณหภูมิการทำงานของ gas reactor ที่เพิ่มขึ้นจะทำให้การเกิดปฏิกิริยามากขึ้น อุณหภูมิที่เหมาะสมในการทำงานของตัวเร่งปฏิกิริยาทั้ง 2 คือ 70 °C โดยในตัวเร่งปฏิกิริยาสแตนเลสให้ค่าเฉลี่ยของ %CO Conversion 30 % และตัวเร่งปฏิกิริยา UV-C ให้ค่าเฉลี่ยของ %CO Conversion 38 % ในขณะที่อุณหภูมิ 70 °C เท่ากันแต่ไม่มีตัวเร่งปฏิกิริยาใดๆ ค่าเฉลี่ยของ %CO Conversion เพียงแค่ 22 %เท่านั้น การทดลองส่วนนี้แสดง

ค่าเฉลี่ยของ %CO Conversion สูงสุดถึง 50 % เมื่อใช้ตัวเร่งปฏิกิริยา 2 ชนิดคือสแตนเลสและ UV-C ร่วมกัน

การทดลองต่อมาศึกษาปฏิกิริยาไฟโตเฟนตอนซึ่งเป็นการใช้เพอร์ซิลิโอดอนร่วมกับ UV ใน การเร่งการแตกตัวของไฮโดรเจนเพอร์ออกไซด์ พบว่าที่ pH 3 และจำนวนโมลของเพอร์ซิลิโอดอน น้อยกว่าโมลของไฮโดรเจนเพอร์ออกไซด์ 200 เท่า จะเร่งการเกิดปฏิกิริยาในการเปลี่ยน คาร์บอนมอนอกไซด์ไปเป็นคาร์บอนไดออกไซด์ โดยมีค่าเฉลี่ยของ %CO Conversion 41 % แต่ การใช้ปฏิกิริยาไฟโตเฟนตอนไม่เหมาะสมที่จะใช้งานจริงในเซลล์เชื้อเพลิง เนื่องจากภาวะการ ทำงานที่เป็นกรด pH 3 และความซับซ้อนของปฏิกิริยาซึ่งยังอธิบายได้ไม่ชัดเจน

ดังนั้นภาวะที่ดีที่สุดในการขัดคาร์บอนมอนอกไซด์ออกจากแก๊สเชื้อเพลิงโดยใช้ ไฮโดรเจนเพอร์ออกไซด์คือ ใช้ไฮโดรเจนเพอร์ออกไซด์ 5 %w/v อุณหภูมิ 70 °C และใช้ตัวเร่ง ปฏิกิริยาสแตนเลสร่วมกับแสง UV-C โดยจะให้ค่าเฉลี่ยของ %CO Conversion สูงสุดถึง 50 %

ในการศึกษาผลของการขัดคาร์บอนมอนอกไซด์โดยใช้ไฮโดรเจนเพอร์ออกไซด์ที่มีต่อ สมรรถนะของตัวเร่งปฏิกิริยาที่ข้าวแครونดในส่วนที่ 3 ตัวเร่งปฏิกิริยาที่ศึกษาสามชนิดบรรจุใน P-tube reactor ทำการศึกษาโดยใช้ภาวะที่ดีที่สุดข้างต้น พบว่าการใช้ไฮโดรเจนเพอร์ออกไซด์ สามารถเพิ่มสมรรถนะของตัวเร่งปฏิกิริยาให้มีความทนทานกับคาร์บอนมอนอกไซด์มากกว่าไม่ ใช้ได้ถึง 7 เท่า นอกจากนี้พบว่าหลังจากที่คาร์บอนมอนอกไซด์ถูกขัดออกโดยใช้ ไฮโดรเจนเพอร์ออกไซด์ใน gas reactor และ คาร์บอนมอนอกไซด์ที่เหลืออยู่ยังสามารถทำ ปฏิกิริยากับไฮโดรเจนเพอร์ออกไซด์ที่ผิวน้ำของตัวเร่งปฏิกิริยาเกิดเป็นคาร์บอนไดออกไซด์ได้อีก แทนที่ตัวเร่งปฏิกิริยาจะสูญเสียสภาพไปในเนื้องจากถูกคาร์บอนมอนอกไซด์ปักคุณพื้นผิว

ในส่วนสุดท้ายทำการศึกษาถึงผลของการขัดคาร์บอนมอนอกไซด์โดยใช้ ไฮโดรเจนเพอร์ออกไซด์ที่มีต่อค่าความหนาแน่นกระแสเมื่อใช้ภาวะที่ดีที่สุดข้างต้น พบว่า ประสิทธิภาพของเซลล์เชื้อเพลิงใกล้เคียงกับการใช้ไฮโดรเจนบริสุทธิ์เป็นแก๊สเชื้อเพลิง ซึ่งแตกต่าง อย่างชัดเจนกับเมื่อไม่ใช้ไฮโดรเจนเพอร์ออกไซด์ เนื่องจากค่า current density จะลดลงอย่าง รวดเร็ว

## 5.2 ข้อเสนอแนะ

จากการทดลองทั้งหมดสรุปได้ว่าการใช้ไฮโดรเจนเพอร์ออกไซด์ 5 %w/v อุณหภูมิ 70 °C และใช้ตัวเร่งปฏิกิริยาสแตนเลสร่วมกับแสง UV-C สามารถเพิ่มประสิทธิภาพของเซลล์เชื้อเพลิง แบบเยื่อแผ่นแลกเปลี่ยนโปรดอรอนโดยไม่มีผลเสียต่อตัวเร่งปฏิกิริยาในเซลล์เชื้อเพลิง โดยที่

ประสิทธิภาพของเซลล์เชื้อเพลิงไกล์เคียงกับการใช้ไฮโดรเจนบริสุทธิ์เป็นแก๊สเชื้อเพลิง ใน การศึกษาต่อไปควรที่จะออกแบบ gas reactor ให้ใช้เป็นส่วนให้ความชื้นที่สามารถใช้งานได้จริง โดยออกแบบเป็นสแตนเลสที่มีหลอด PV-C บรรจุอยู่ สามารถให้ความร้อนได้ สารละลาย ไฮโดรเจนเพอร์ออกไซด์สามารถเหลาเข้าส่วนให้ความชื้นพร้อมกับแก๊สเชื้อเพลิงเพื่อเข้าทำปฏิกิริยา ในส่วนนี้อย่างต่อเนื่อง ไฮโดรเจนเพอร์ออกไซด์ที่เหลือจากปฏิกิริยาจะถูกดูดออกจากส่วนให้ความชื้น และเวียนกลับเข้าไปใช้ใหม่ตลอดเวลา

## รายการอ้างอิง

สุกัญญา ทองคำ. ผลของข้าไฟฟ้าแบบมีตัวเร่งปฏิกิริยาต่อสมรรถนะการทำงานของเซลล์เชื้อเพลิงแบบเยื่อแผ่นแลกเปลี่ยนโปรดอน. วิทยานิพนธ์ปริญญามหาบัณฑิต, คณะวิทยาศาสตร์ จุฬาลงกรณ์มหาวิทยาลัย, 2547.

สุรangs อนุกูล. ปฏิกิริการเคมีคุณภาพวิเคราะห์. พิมพ์ครั้งที่ 2. กรุงเทพมหานคร: สำนักพิมพ์ จุฬาลงกรณ์มหาวิทยาลัย, 2535.

Allen, T. L.; Fink, W. H.; and Volman, D. H. Photochemistry of gaseous hydrogen peroxide carbon monoxide system. Journal of Photochemistry. 85 (1995):201-205.

Bellows, R. J.; Marucchi-Soos, E.; and Reynolds, R. P. The Mechanism of CO Mitigation in Proton Exchange Membrane Fuel Cells Using Dilute H<sub>2</sub>O<sub>2</sub> in the Anode Humidifier. Electrochemical and Solid-State Letter. 1 (1998): 69.

Brodrecnt, D. J.; Prater, D. N.; and Rusel, J. J. Novel Fuel cell using Hydrogen Peroxide [Online]. Available from: <http://www.swiftenterprises.net>.

Chunzhi, H.; Kenz, M. R.; and Fenton, J. M. Selective Oxidation of CO in Hydrogen under Fuel Cell Operating Conditions. Journal of Electrochemical Society, 148, 10 (2001): A1116-A1124.

Divisek, J.; Oetjen, H. F.; Peinecke, V.; Schmidt, V. M.; and Stimming, U. Components for PEM fuel cell systems using hydrogen and CO containing fuels. Journal of Electrochimica Acta. 143 (1998): 3811-3815.

Haug, A. T.; White, R. E.; Weidner, J. W.; and Huang, W. Development of a Novel CO Tolerant Proton Exchange Membrane Fuel Cell Anode. Journal of Electrochemical Society, 149(2002): A862-A867.

Jan, A. G. The History of Improving Automobile Emissions: Infrared Spectroscopic Analysis of Tailpipe Exhaust over a Serveral-Decade Model-Year Range. The Chemical Editor. 8, 6(2003).

Kaewjai Khumvilaisak. Selective CO Oxidation in the presences of Hydrogen for fuel cell applications. Master's Thesis, Petrochemical Technology, The Petroleum and Petrochemical College, Chulalongkorn University, Bangkok, Thailand, 2001.

- Klaus, E. B.; Bernd, R. U.; Joachim, S. U.; Raimund, S. U. Device and method for combined purification and compression of hydrogen containing CO and the use thereof in fuel cell assemblies. US Patent 6361896 B1. 2002.
- Laminie, J., Dick, D. Fuel Cell Systems Explained. Chichester: John Wiley & Sons, 2000.
- Mandal, A.; Ojha, K.; Asim K. De; Bhattacharjee, S. Removal of catchol from aqueous solution by advanced photo-oxidation process. Journal of Chemical Engineering, 102(2004): 203-208.
- Merck Schuchardt, Hydrogen Peroxide Safety Data Sheet [Online]. 2005. Available from: <http://www.merck.co.th/en/manual/msds/thai/8222/822287.htm>
- Miller, D. O.; Rusek, J. J. Electrocatalysis in hydrogen peroxide cells. 4<sup>th</sup> Annual Hydrogen Peroxide Conference, Netherlands, June 2001 [Online]. Available from: <http://www.swiftenterprises.net>.
- Muruganadham, M.; Swaminathan, M. Decolorization of Reactive Orange 4 by Fenton and photo-Fenton oxidation technology. Dyes and Pigments, 63(2004): 315-321.
- Schmidt, V. M.; Oetjen, H.-F.; and Divisek, J. Performance Improvement of a PEMFC Using Fuels with CO by Addition of Oxygen-Envolving Compounds. Journal of Electrochemical Society, 144(1997): L237.
- Schmidt, V. M.; Rodriguez, J. L.; and Pastor, E. The Influence of H<sub>2</sub>O<sub>2</sub> on the Adsorption and Oxidation of CO on Pt Electrodes in Sulfuric Acid Solution. Journal of Electrochemical Society, 148, 4(2001): A293-A298.
- Schneider, R. F. Titration of Hydrogen Peroxide Solution [Online]. 2005. Available from: <http://www.ic.sunysb.edu/Class/che133/lectures/susb035.pdf>
- Sedmak, G.; Hocevar, S.; and Levec, L. Kinetic of Selective CO Oxidation in excess of H<sub>2</sub> over the nanostructured Cu<sub>0.1</sub>Ce<sub>0.9</sub>O<sub>2-y</sub> Catalyst. Journal of Catalysis, 213(2003): 135-150.
- Urian, R. C.; Gulla, A. F.; and Mukerjee, S. Electrocatalysis of reformate tolerance in proton exchange membranes fuel cell. Journal of Electrocatalytical Chemistry, 554 555(2003): 427-437.
- Van Keulen. Hydrogen Purification. World Patent 9915460. 1999.
- Volman, D. H. Photochemistry of gaseous hydrogen peroxide carbon monoxide system. Journal of Photochemistry. 100(1996): 1-3.

ภาคผนวก

### ภาคผนวก ก

**ตาราง ก-1** ตัวแปรในการทดลอง 3.3.2.1 ศึกษาถึงผลของการเข้มข้นเริ่มต้นของสารละลายน้ำไฮโดรเจนเพอร์ออกไซด์

การทดลองชุดที่	ความเข้มข้นสารละลายน้ำ $\text{H}_2\text{O}_2$	อุณหภูมิ ( $^{\circ}\text{C}$ )
1	5 %w/v	30 $^{\circ}\text{C}$
2	10 %w/v	30 $^{\circ}\text{C}$
3	20 %w/v	30 $^{\circ}\text{C}$
4	30 %w/v	30 $^{\circ}\text{C}$
5	นำกลับ	30 $^{\circ}\text{C}$

**ตาราง ก-2** ตัวแปรในการทดลอง 3.3.2.2 ศึกษาผลของการอุณหภูมิ

การทดลองชุดที่	ความเข้มข้นสารละลายน้ำ $\text{H}_2\text{O}_2$	อุณหภูมิ ( $^{\circ}\text{C}$ )
1	ความเข้มข้นที่ให้ผลสูงที่สุดในการทดลอง 3.3.2.1	30 $^{\circ}\text{C}$
2	ความเข้มข้นที่ให้ผลสูงที่สุดในการทดลอง 3.3.2.1	50 $^{\circ}\text{C}$
3	ความเข้มข้นที่ให้ผลสูงที่สุดในการทดลอง 3.3.2.1	70 $^{\circ}\text{C}$

ตารางที่ ก-3 ตัวแปรในการทดลอง 3.3.2.3 ศึกษาผลของตัวเร่งปฏิกิริยาโดยหะ

การทดลองชุดที่	อุณหภูมิ ( $^{\circ}\text{C}$ )	ตัวเร่งปฏิกิริยา	ความเข้มข้นสารละลายน้ำ $\text{H}_2\text{O}_2$
1	30 $^{\circ}\text{C}$	สแตนเลส	ความเข้มข้นที่ให้ผลสูงที่สุดในการทดลอง 3.4.2.1
2	50 $^{\circ}\text{C}$	สแตนเลส	ความเข้มข้นที่ให้ผลสูงที่สุดในการทดลอง 3.4.2.1
3	70 $^{\circ}\text{C}$	สแตนเลส	ความเข้มข้นที่ให้ผลสูงที่สุดในการทดลอง 3.4.2.1

ตาราง ก-4 ตัวแปรในการทดลอง 3.3.2.4 ศึกษาผลของการใช้แสง UV-C

การทดลองชุดที่	อุณหภูมิ ( $^{\circ}\text{C}$ )	ตัวเร่งปฏิกิริยา	ความเข้มข้นสารละลายน้ำ $\text{H}_2\text{O}_2$
1	30 $^{\circ}\text{C}$	UV-C	ความเข้มข้นที่ให้ผลสูงที่สุดในการทดลอง 3.3.2.1
2	50 $^{\circ}\text{C}$	UV-C	ความเข้มข้นที่ให้ผลสูงที่สุดในการทดลอง 3.3.2.1
3	70 $^{\circ}\text{C}$	UV-C	ความเข้มข้นที่ให้ผลสูงที่สุดในการทดลอง 3.3.2.1
4	70 $^{\circ}\text{C}$	แสง UV-C พร้อมกับสแตนเลส	ความเข้มข้นที่ให้ผลสูงที่สุดในการทดลอง 3.3.2.1

ตาราง ก-5 ตัวแปรในการทดลอง 3.2.2.5 ศึกษาผลของ pH ของสารละลายนิปฏิกิริยาโพโตเฟน-ตอกน

การทดลอง ชุดที่	pH	ปริมาณโมล $\text{Fe}^{2+} < \text{H}_2\text{O}_2$	ตัวเร่ง ปฏิกิริยา	ความเข้มข้นสารละลายนิ $\text{H}_2\text{O}_2$	อุณหภูมิ (°C)
1	1	100 เท่า	UV-C	ความเข้มข้นที่ให้ผลสูง ที่สุดในการทดลอง 3.3.2.1	30 °C
2	3	100 เท่า	UV-C	ความเข้มข้นที่ให้ผลสูง ที่สุดในการทดลอง 3.3.2.1	30 °C
3	5	100 เท่า	UV-C	ความเข้มข้นที่ให้ผลสูง ที่สุดในการทดลอง 3.3.2.1	30 °C

ตาราง ก-6 ตัวแปรในการทดลอง 3.3.2.5 ศึกษาผลของปริมาณเพอร์วัสดิออกอนในสารละลายนิปฏิกิริยา

การทดลอง ชุดที่	โมล $\text{Fe}^{2+} < \text{H}_2\text{O}_2$	pH	ตัวเร่งปฏิกิริยา	ความเข้มข้น สารละลายนิ $\text{H}_2\text{O}_2$	อุณหภูมิ (°C)
1	50 เท่า	pH ที่ให้ผลสูง ที่สุดในการ ทดลอง 3.3.2.5 ส่วนแรก	UV-C	ความเข้มข้นที่ ให้ผลสูงที่สุด ในการทดลอง 3.4.2.4	30 °C
2	100 เท่า	pH ที่ให้ผลสูง ที่สุดในการ ทดลอง 3.4.2.5 ส่วนแรก	UV-C	ความเข้มข้นที่ ให้ผลสูงที่สุด ในการทดลอง 3.4.2.1	30 °C
3	200 เท่า	pH ที่ให้ผลสูง ที่สุดในการ ทดลอง 3.4.2.5 ส่วนแรก	UV-C	ความเข้มข้นที่ ให้ผลสูงที่สุด ในการทดลอง 3.4.2.1	30 °C

ตาราง ก-7 ตัวแปรในการทดลอง 3.3.3 ศึกษาผลของการใช้ดสารบentonite กับไนโตรเจนเพอร์ออกไซด์ที่มีต่อสมรรถนะของตัวเร่งปฏิกิริยาที่ใช้ในเซลล์เชื้อเพลิง

การทดลอง ชุดที่	Catalysts reactor		Gas Reactor		
	ตัวเร่ง ปฏิกิริยา	อุณหภูมิ (°C)	ตัวเร่ง ปฏิกิริยา	อุณหภูมิ (°C)	ความเข้มข้น สารละลาย $H_2O_2$
1	Pt 10 wt% / Vulcan	อุณหภูมิที่ ให้ผลสูงที่สุด ในการทดลอง 3.3.2.4	UV-C + สแตนเลส	อุณหภูมิที่ ให้ผลสูงที่สุด ในการทดลอง 3.3.2.4	ความเข้มข้นที่ ให้ผลสูงที่สุด ในการทดลอง 3.3.2.1
2	Pt 20 wt% / Vulcan	อุณหภูมิที่ ให้ผลสูงที่สุด ในการทดลอง 3.3.2.4	UV-C + สแตนเลส	อุณหภูมิที่ ให้ผลสูงที่สุด ในการทดลอง 3.3.2.4	ความเข้มข้นที่ ให้ผลสูงที่สุด ในการทดลอง 3.3.2.1
3	Pt 20 wt% -Ru 10 wt%	อุณหภูมิที่ ให้ผลสูงที่สุด ในการทดลอง 3.3.2.4	UV-C + สแตนเลส	อุณหภูมิที่ ให้ผลสูงที่สุด ในการทดลอง 3.3.2.4	ความเข้มข้นที่ ให้ผลสูงที่สุด ในการทดลอง 3.3.2.1
4	Pt 10 wt% / Vulcan	อุณหภูมิที่ ให้ผลสูงที่สุด ในการทดลอง 3.3.2.4	UV-C + สแตนเลส	อุณหภูมิที่ ให้ผลสูงที่สุด ในการทดลอง 3.3.2.4	นำกลับ
5	Pt 20 wt% / Vulcan	อุณหภูมิที่ ให้ผลสูงที่สุด ในการทดลอง 3.3.2.4	UV-C + สแตนเลส	อุณหภูมิที่ ให้ผลสูงที่สุด ในการทดลอง 3.3.2.4	นำกลับ
6	Pt 20 wt% -Ru 10 wt%	อุณหภูมิที่ ให้ผลสูงที่สุด ในการทดลอง 3.3.2.4	UV-C + สแตนเลส	อุณหภูมิที่ ให้ผลสูงที่สุด ในการทดลอง 3.3.2.4	นำกลับ

ตาราง ก-8 ตัวแปรในการทดลอง 3.3.4 ศึกษาลักษณะผลของการขัดควร์บอนมอนอกไซด์โดยใช้ไฮโดรเจนเพอร์ออกไซด์ที่มีต่อค่าความหนาแน่นกระแสน้ำ

การทดลอง ชุดที่	แอโนด		แคಠอด	
	แก๊ส เชื้อเพลิง	ส่วนให้ความชื้น	แก๊ส เชื้อเพลิง	ส่วนให้ความชื้น
1	$H_2$	น้ำกลั่น	$O_2$	น้ำกลั่น
2	500 ppm CO / $H_2$	น้ำกลั่น	$O_2$	น้ำกลั่น
3	500 ppm CO / $H_2$	$H_2O_2$ + ตัวเร่งปฏิกิริยา ภาวะที่ให้ผลสูงที่สุดใน การทดลองส่วนที่ 2	$O_2$	น้ำกลั่น

### ภาคผนวก ๖

**ตาราง ๖-1 พื้นที่ใต้กราฟของคาร์บอนไดออกไซด์ที่เวลาต่าง ๆ**

500 พีไฟเอ็ม คาร์บอนมอนอกไซด์ ทำปฏิกิริยา กับ	พื้นที่ใต้กราฟของคาร์บอนไดออกไซด์, A.cm <sup>-1</sup>				
	0 นาที	2 นาที	4 นาที	8 นาที	16 นาที
H <sub>2</sub> O <sub>2</sub> 30%w/v	-0.1105	-0.0420	0.0131	0.0329	0.2026
H <sub>2</sub> O	-0.3994	-0.5366	-0.5790	-0.6551	-0.7746

**ตาราง ๖-2 ผลของความเข้มข้นของไฮโดรเจนเพอร์อوكไซด์**

เวลา, นาที	อุณหภูมิ 30 °C				
	%CO Conversion				
	ชุดที่ 1 H <sub>2</sub> O <sub>2</sub> 5%w/v	ชุดที่ 2 H <sub>2</sub> O <sub>2</sub> 10%w/v	ชุดที่ 3 H <sub>2</sub> O <sub>2</sub> 20%w/v	ชุดที่ 4 H <sub>2</sub> O <sub>2</sub> 30%w/v	ชุดที่ 5 Water
0	0	0	0	0	0
5	22	13	15	8	2
20	32	24	20	16	2
35	20	18	16	12	1
59	14	13	14	11	0
65	10	11	10	10	0
80	8	9	9	8	0
95	7	8	9	9	0
110	7	7	9	8	0
125	7	7	8	8	0
140	6	8	8	8	0
155	6	7	8	7	0

ตาราง ข-3 ผลของอุณหภูมิต่อปฏิกิริยา

เวลา, นาที	$H_2O_2$ 5 %w/v		
	%CO Conversion		
	ชุดที่ 1 30 °C	ชุดที่ 2 50 °C	ชุดที่ 3 70 °C
0	0	0	0
5	22	45	50
20	32	36	41
35	20	21	27
50	14	13	19
65	10	10	16
80	8	10	14
95	7	9	15
110	7	8	14
125	7	9	13
140	6	8	13
155	6	9	14

ตาราง ข-4 ผลของตัวเร่งปฏิกิริยาโลหะ

เวลา, นาที	$H_2O_2$ 5 %w/v + ตัวเร่งปฏิกิริยาสแตนเลส		
	%CO Conversion		
	ชุดที่ 1 30 °C	ชุดที่ 2 50 °C	ชุดที่ 3 70 °C
0	0	0	0
5	10	11	24
20	31	41	52
35	29	30	41
50	22	23	36
65	16	18	30
80	11	15	25
95	9	13	24
110	8	12	23
125	8	11	24
140	8	11	23
155	8	10	22

ตาราง ข-5 ผลของการใช้แสง UV-C

เวลา, นาที	$H_2O_2$ 5 %w/v + ตัวเร่งปฏิกิริยา UV-C			
	%CO Conversion			
	ชุดที่ 1 30 °C	ชุดที่ 2 50 °C	ชุดที่ 3 70 °C	ชุดที่ 4 70 °C + สแตนเลส
0	0	0	0	0
5	22	19	59	20
15	29	26	85	45
20	32	25	70	48
35	20	18	36	50
50	14	14	24	53
65	10	12	21	50
80	8	12	21	48
95	7	12	21	47
110	7	12	21	47
125	6	12	21	47
140	6	12	21	47
155	6	14	21	47

ตาราง ข-6 ผลของ pH ของสารละลายในการทดลองที่ปริมาณ  $Fe^{2+}$  คงที่

เวลา, นาที	$Fe^{2+} < H_2O_2$ 100 เท่า, $H_2O_2$ 5 %w/v อุณหภูมิ 30 °C + ตัวเร่งปฏิกิริยา UV-C		
	% CO Conversion		
	ชุดที่ 1 pH = 1	ชุดที่ 2 pH = 3	ชุดที่ 3 pH = 5
0	0	0	0
5	14	49	35
15	17	65	44
20	16	60	47
35	14	37	38
50	14	25	30
65	13	19	20
80	13	15	11
95	12	14	8
110	12	12	7
125	11	11	7
140	11	11	7

ตาราง ช-7 ผลของปริมาณ  $\text{Fe}^{2+}$  ในสารละลายน้ำที่ pH คงที่

เวลา, นาที	$\text{pH} = 3, \text{H}_2\text{O}_2 5 \% \text{w/v}$ อุณหภูมิ $30^\circ\text{C}$ + ตัวเร่งปฏิกิริยา UV-C		
	% CO Conversion		
	ชุดที่ 1 $\text{Fe}^{2+} < \text{H}_2\text{O}_2$ 50 เท่า	ชุดที่ 2 $\text{Fe}^{2+} < \text{H}_2\text{O}_2$ 100 เท่า	ชุดที่ 3 $\text{Fe}^{2+} < \text{H}_2\text{O}_2$ 200 เท่า
0	0	0	0
5	56	49	65
15	52	65	69
20	48	60	72
35	33	37	66
50	23	25	56
65	16	19	38
80	13	15	28
95	13	14	23
110	13	12	20
125	10	11	18
140	9	11	17
155	10	10	17

## ภาคผนวก C

### การวิเคราะห์หาปริมาณไฮโดรเจนเพอร์ออกไซด์ (Schneider, 2005)

#### ค-1 ทฤษฎี

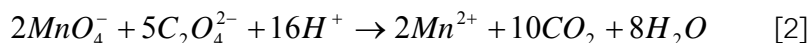
งานวิจัยนี้ใช้โพแทสเซียมเพอร์แมงกานेट ( $KMnO_4$ ) ในการวิเคราะห์หาปริมาณของไฮโดรเจนเพอร์ออกไซด์ โดยเมื่อเติมสารละลายน้ำแข็งเข้าไปในสารละลายน้ำแข็งในส่วนที่เป็นกรดด้วยกรดซัลฟิวริกเจือจาง จะเกิดปฏิกิริยาดังนี้



โพแทสเซียมเพอร์แมงกานेटมีสีม่วง ในสารละลายน้ำแข็ง ( $Mn^{2+}$ ) จะไม่มีสี ถ้าเติมโพแทสเซียมเพอร์แมงกานे�ตลงในสารละลายน้ำแข็งจะหายไปตราบเท่าที่มีไฮโดรเจนเพอร์ออกไซด์หลงเหลืออยู่ให้ทำปฏิกิริยากับเพอร์แมงกานेट

สัดส่วนของโพแทสเซียมเพอร์แมงกานे�ตต่อไฮโดรเจนเพอร์ออกไซด์คือ 2 มอลของโพแทสเซียมเพอร์แมงกานे�ตทำปฏิกิริยากับ 5 มอลของไฮโดรเจนเพอร์ออกไซด์ ถ้าทราบความเข้มข้นของโพแทสเซียมเพอร์แมงกานे�ต จะสามารถหาปริมาณไฮโดรเจนเพอร์ออกไซด์ในสารละลายน้ำแข็งได้โดยการคำนวน โพแทสเซียมเพอร์แมงกานे�ตไม่เป็นสารละลายน้ำตราชูนป้อมภูมิเนื่องจากสามารถถลายตัวอย่างช้าๆ ในน้ำ ด้วยเหตุนี้จึงไม่สามารถใช้โพแทสเซียมเพอร์แมงกานे�ตเป็นสารตราชูนป้อมภูมิได้ สารตราชูนป้อมภูมิที่ใช้คือโซเดียมออกไซเดต ( $Na_2C_2O_4$ )

ปฏิกิริยาระหว่างเพอร์แมงกานे�ตต่อออกไซเดตและออกไซเดตในสารละลายน้ำที่เป็นกรดแสดงดังสมการ



ในการเตรียมสารละลายน้ำแข็งเข้าไปในสารละลายน้ำตราชูนป้อมภูมิให้เป็นสารละลายน้ำตราชูนป้อมภูมิที่ถูกต้องให้สารละลายน้ำตราชูนป้อมภูมิที่ได้จากการทดลองที่ได้มาแล้วนำไปตราชูนในสารละลายน้ำที่เป็นกรด

## ค-2 การเตรียมสารละลายน้ำโซเดียมโพแทสเซียมเพอร์เมงกานेटให้เป็นสารละลามาตรฐาน สารเคมี

1. โซเดียมออกซ์าเลต บริสุทธิ์อบแห้ง บรรจุโซเดียมออกซ์าเลตบริสุทธิ์ ( $\text{Na}_2\text{C}_2\text{O}_4$  MW = 134.00) ใส่ขวดชั้ง อบที่  $105-110^\circ\text{C}$  นาน 2 ชั่วโมงแล้วทำให้เย็นอย่างน้อย 30 นาที ในเดซิคเตอร์
2. สารละลายน้ำไดรเจนเพอร์ออกไซด์,  $\text{H}_2\text{O}_2$  30 %w/w
3. โพแทสเซียมเพอร์เมงกานेट,  $\text{KMnO}_4$  0.02 มิลลาร์ ชั้งโพแทสเซียมเพอร์เมงกานेट 1.6 กรัม ใส่ปีกเกอร์ขนาด 800 มิลลิลิตร เติมน้ำกลั่น 500 มิลลิลิตร ปิดด้วยกระจากราฟิกา ต้มจนเดือด 20 – 30 นาที ทิ้งให้เย็นในที่มีดีข้ามคืน กรองด้วย sinter glass โดยใช้บัมพ์สูญญากาศ ปรับปริมาตรเป็น 500 มิลลิลิตร ด้วยน้ำกลั่น
4. กรดชัลฟิวเริก,  $\text{H}_2\text{SO}_4$  4 มิลลาร์ ละลายกรดชัลฟิวเริกเข้มข้น 22 มิลลิลิตร ในน้ำกลั่น 78 มิลลิลิตรอย่างระมัดระวัง

### การทดลอง

1. เติมสารละลายน้ำโซเดียมเพอร์เมงกานेट 0.02 มิลลาร์ในบิวเต็ตที่แห้งสะอาด ปรับปริมาตรตรวจขีดเริ่มต้น
2. ชั้งโซเดียมออกซ์าเลต 0.1675 กรัม ลงในขวดรูปชุมพู่ขนาด 250 มิลลิลิตร
3. เติมน้ำกลั่น 50 – 60 มิลลิลิตร และกรดชัลฟิวเริก 4 มิลลาร์ 10 มิลลิลิตรอย่างระวังลงในขวดรูปชุมพู่ เขย่าเบาๆ ให้โซเดียมออกซ์าเลตละลาย อุ่นให้ร้อนถึง  $80^\circ\text{C}$  ระวังอย่าให้เดือด
4. ไหเทรตกับสารละลายน้ำโซเดียมเพอร์เมงกานेट พร้อมทั้งกวนด้วยแท่งแม่เหล็กตลอดเวลา ในการไหเทรตครั้งแรกสีชมพูจะจากลงอย่างรวดเร็ว ถ้าเกิดตะกอนสีน้ำตาลให้เติมโพแทสเซียมเพอร์เมงกานเนตอย่างรวดเร็ว ไหเทรตจนสีชมพูเริ่มหายไปอย่างช้าๆ ไขโพแทสเซียมเพอร์เมงกานเนตให้ช้าลง จุดยุติของปฏิกิริยาจะได้สีชมพูคงที่ 15 วินาที บันทึกปริมาณโพแทสเซียมเพอร์เมงกานเนตที่ใช้
5. ทำขั้นตอน 2 – 4 ปริมาณโพแทสเซียมเพอร์เมงกานเนตที่ใช้ต้องไม่แตกต่างเกิน 1 หยด
6. คำนวณความเข้มข้นของสารละลายน้ำโซเดียมโพแทสเซียมเพอร์เมงกานเนตเป็นมิลลาร์

$$C_1 = \frac{(2/5) \times (W/134) \times (1000/V)}{}$$

เมื่อ  $C_1$  = ความเข้มข้นของสารละลายน้ำโซเดียมโพแทสเซียมเพอร์เมงกานเนต (มิลลาร์)

$$W = \text{น้ำหนัก } \text{Na}_2\text{C}_2\text{O}_4 \text{ (กรัม)}$$

$$V = \text{ปริมาตรของสารละลายน้ำโซเดียมโพแทสเซียมเพอร์เมงกานเนตที่ใช้ไป (มิลลิลิตร)}$$

### ค-3 การวิเคราะห์ habromatein ไฮโดรเจนเพอร์ออกไซด์

#### การทดลอง

- ปีเปตสารละลายไฮโดรเจนเพอร์ออกไซด์  $H_2O_2$  30 %w/w 1 มิลลิลิตร ใส่ขวดปริมาตรขนาด 100 มิลลิลิตร เติมน้ำกลั่น 50 มิลลิลิตร แก้วงให้เข้ากัน ปรับปริมาตรด้วยน้ำกลั่น เขย่าให้เข้ากันเนื้อเดียวกัน สารละลายที่ได้จะเป็นสารละลายเจือจาง 100 เท่า (100X)
- ปีเปตสารละลายไฮโดรเจนเพอร์ออกไซด์ในข้อ 1 มา 10 มิลลิลิตร ใส่ขวดรูปชุมพู่ขนาด 250 มิลลิลิตร เติมน้ำกลั่น 40 มิลลิลิตร และกรดซัลฟิวริก 4 มิลลาร์ 10 มิลลิลิตรอย่างระวังลงในขวดรูปชุมพู่ เขย่าให้เข้ากัน
- ไกเกรตกับสารละลายโพแทสเซียมเพอร์เมงกานेट 0.02 มิลลาร์ พรมหั้งกวนด้วยเท่งแม่เหล็กตลอดเวลา จุดยุติของปฏิกิริยาจะได้สีชมพูคงที่ 15 วินาที บันทึกปริมาณโพแทสเซียมเพอร์เมงกานेटที่ใช้
- ทำข้อ 2 – 3 ปริมาณโพแทสเซียมเพอร์เมงกานेटที่ใช้ต้องไม่แตกต่างเกิน 1 หยด
- คำนวนหาปริมาณไฮโดรเจนเพอร์ออกไซด์เป็นมิลลาร์

$$\begin{aligned}
 C_2 &= C_1 \times (5/2) \times (V_1/V_2) \times F \\
 \text{เมื่อ } C_2 &= \text{ความเข้มข้นของสารละลายไฮโดรเจนเพอร์ออกไซด์ (มิลลาร์)} \\
 C_1 &= \text{ความเข้มข้นของสารละลายโพแทสเซียมเพอร์เมงกานेट (มิลลาร์)} \\
 V_1 &= \text{ปริมาตรของสารละลายโพแทสเซียมเพอร์เมงกานेट (มิลลิลิตร)} \\
 V_2 &= \text{ปริมาตรของสารละลายไฮโดรเจนเพอร์ออกไซด์} = 10 \text{ มิลลิลิตร} \\
 F &= \text{เพคเตอร์ของสารละลาย (Dilution factor)}
 \end{aligned}$$

คำนวนความเข้มข้นของไฮโดรเจนเพอร์ออกไซด์ในหน่วย

$$\begin{aligned}
 \% \text{ w/v} &= C_2 \times (34.02 / 10) \\
 \% \text{ w/w} &= C_2 \times (34.02 / 10) \times (1 / 1.12)
 \end{aligned}$$

### ค-4 ผลการทดลอง

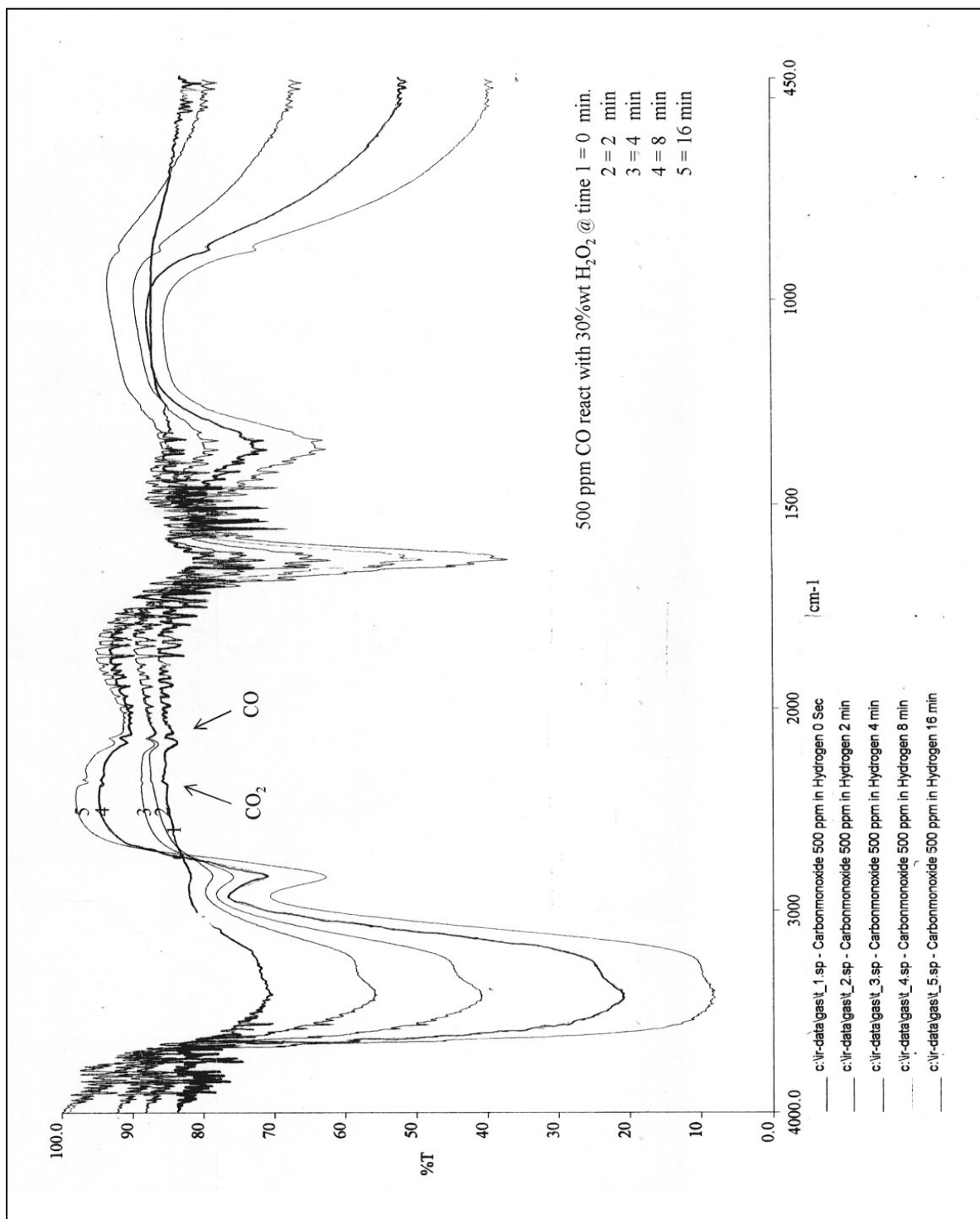
หาความเข้มข้นที่แน่นอนของสารละลาย 0.02 มิลลาร์โพแทสเซียมเพอร์เมงกานेट

	น้ำหนักของ $Na_2C_2O_4$ (กรัม)	ปริมาตรของ $KMnO_4$ (มิลลิลิตร)	ความเข้มข้น $KMnO_4$ (C1)
ครั้งที่ 1	0.1670	24.5	0.0203
ครั้งที่ 2	0.1688	24.9	0.0202
เฉลี่ยความเข้มข้นของโพแทสเซียมเพอร์เมงกานेट			0.0202 M

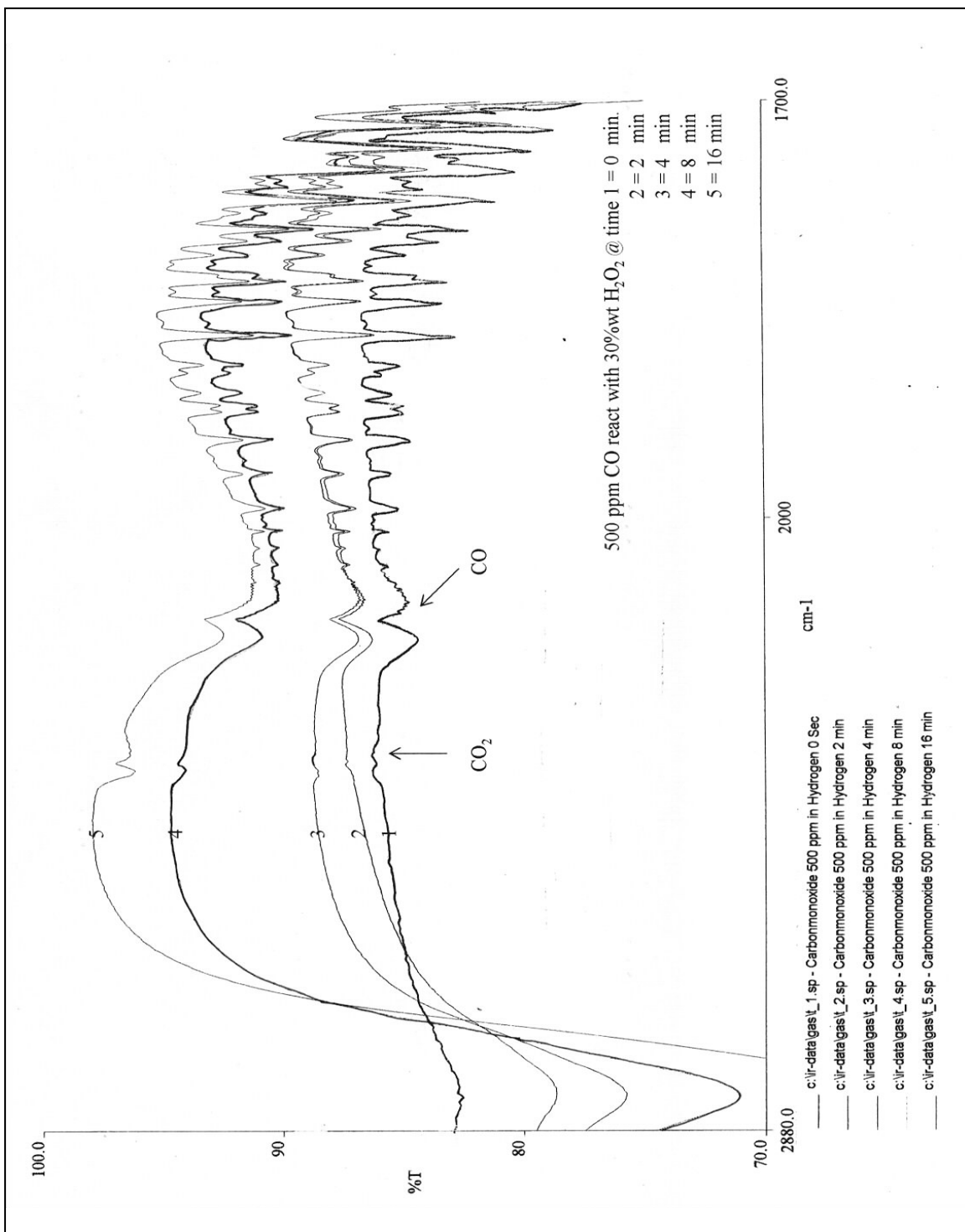
### การวิเคราะห์หาปริมาณไฮโดรเจนเพอร์ออกไซด์

	ความเข้มข้นของ $\text{KMnO}_4$ , C1	ปริมาตรของ $\text{KMnO}_4$ , V1	ปริมาตรของ $\text{H}_2\text{O}_2$ , V2	Dilution factor, F	ความเข้มข้นของ $\text{H}_2\text{O}_2$ , C2
ครั้งที่ 1	0.0202	19.6	10	100	9.898
ครั้งที่ 2	0.0202	19.7	10	100	9.948
ความเข้มข้นเฉลี่ยของไฮโดรเจนเพอร์ออกไซด์					9.923 M 33.76 %w/v 30.14 %w/w

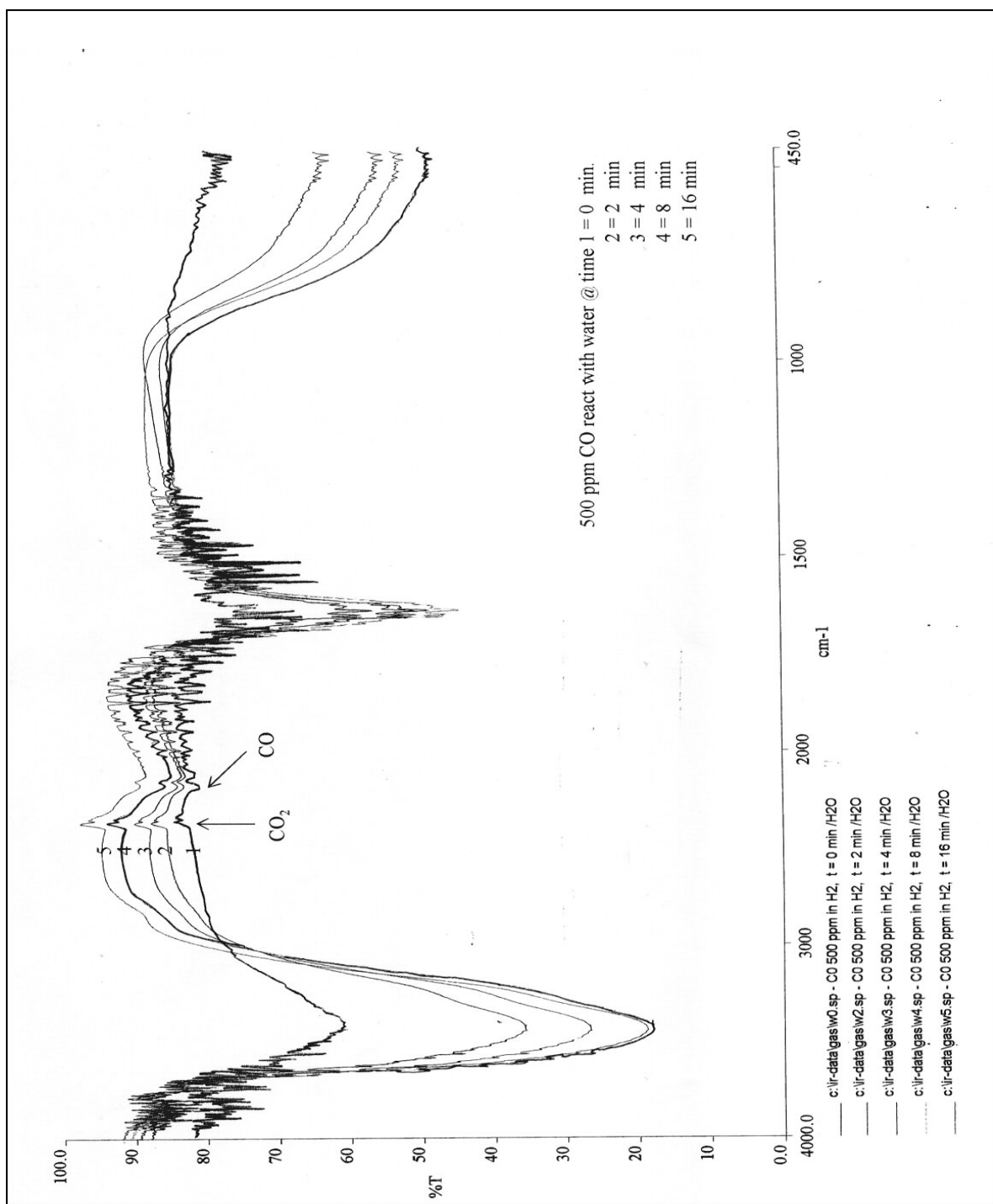
## ภาคผนวก ๔



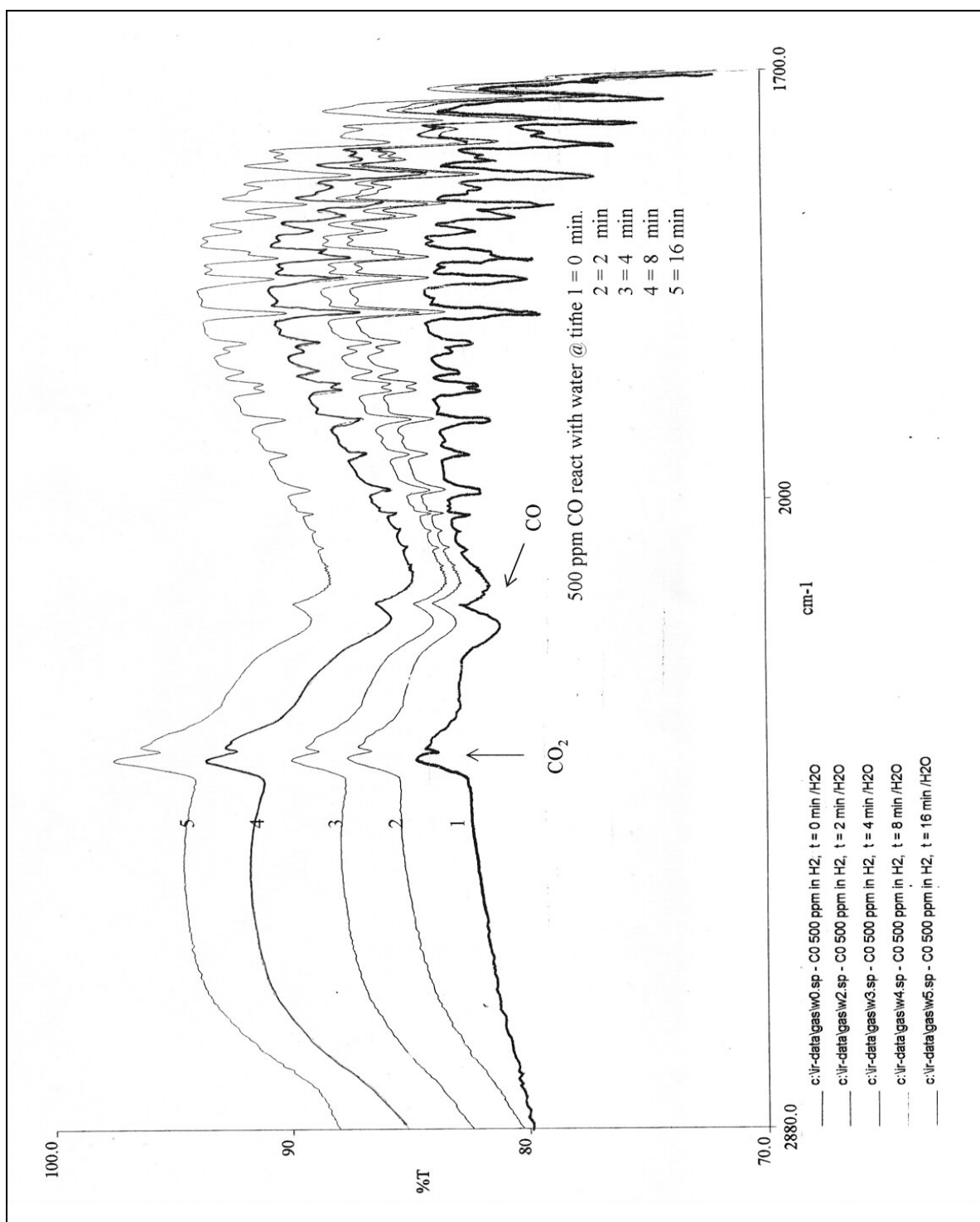
รูปที่ ๔-1 FT-IR สเปกตรัมของแก๊สผลิตภัณฑ์ที่เกิดจากปฏิกิริยาระหว่างคาร์บอนมอนอกไซด์ 500 พีพีเอ็มในไฮโดรเจนและไฮโดรเจนเพอร์ออกไซด์ 30 %w/v ที่เวลาต่างๆ



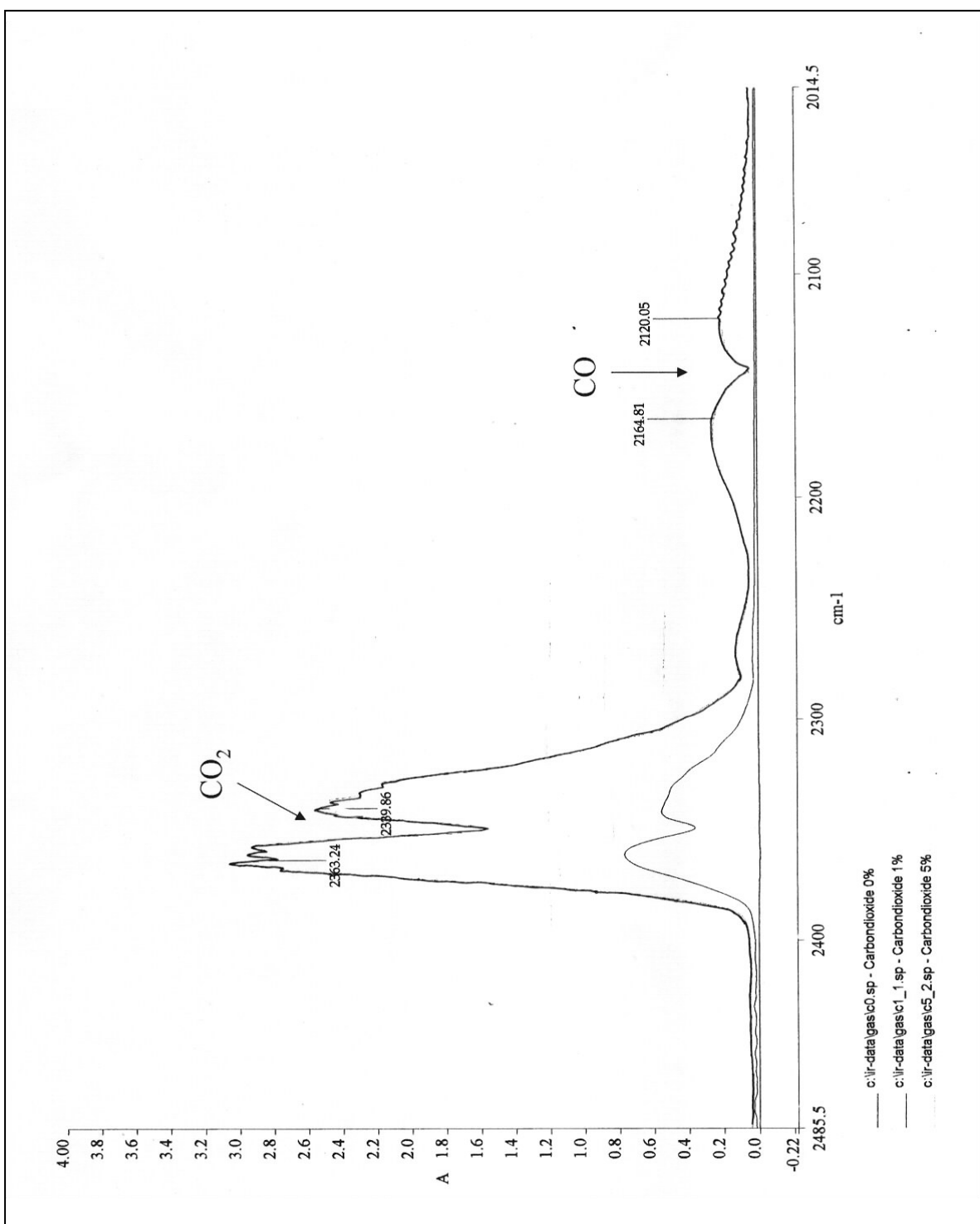
รูปที่ ๔-๒ FT-IR สเปกตรัมของแก๊สผลิตภัณฑ์ที่เกิดจากปฏิกิริยาระหว่างคาร์บอนมอนอกไซด์ 500 พีพีเอ็มในไออกไซด์เจนและไออกไซด์เจนเพอร์เซอร์ออกไซด์ 30 %w/v ที่เวลาต่างๆ



รูปที่ ๔-๓ FT-IR สเปกตรัมของแก๊สผลิตภัณฑ์ที่เกิดจากปฏิกิริยาระหว่างคาร์บอนมอนอกไซด์ 500 พีพีเอ็มในไนโตรเจนและน้ำ ที่เวลาต่างๆ



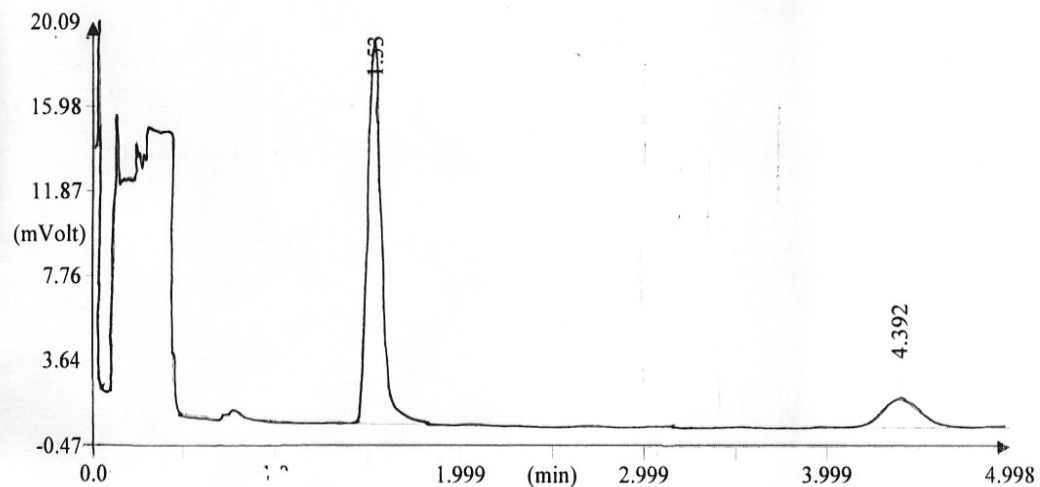
รูปที่ ๔-4 FT-IR สเปคตัมของแก๊สผลิตภัณฑ์ที่เกิดจากปฏิกิริยาระหว่างคาร์บอนมอนอกไซด์ 500 พพเอ็มในไนโตรเจนและน้ำ ที่เวลาต่างๆ



รูปที่ ๔-๕ FT-IR สเปกตรัมแสดงตัวแปรของค่าร์บอนไดออกไซด์และค่าวัปอนไดออกไซด์ในแก๊ส  
แก๊สสามารถ

**CHEMICAL TECHNOLOGY FACULTY OF SCIENCE  
CHULALONGKORN UNIVERSITY**

Operator ID:	System manager	Company name:
Method filename:	C:\Khritsayaporn\2005\Feb\09\New Folder\Standard.mth	Method name:
Analysed:	09-02-05 19:24	GC method:
Sample ID:	Standard	Channel:
Analysis type:	Known	Calculation method:
Chromatogram filename:	C:\Khritsayaporn\2005\Feb\09\New Folder\StandardCO2_7.dat	Calibration method:



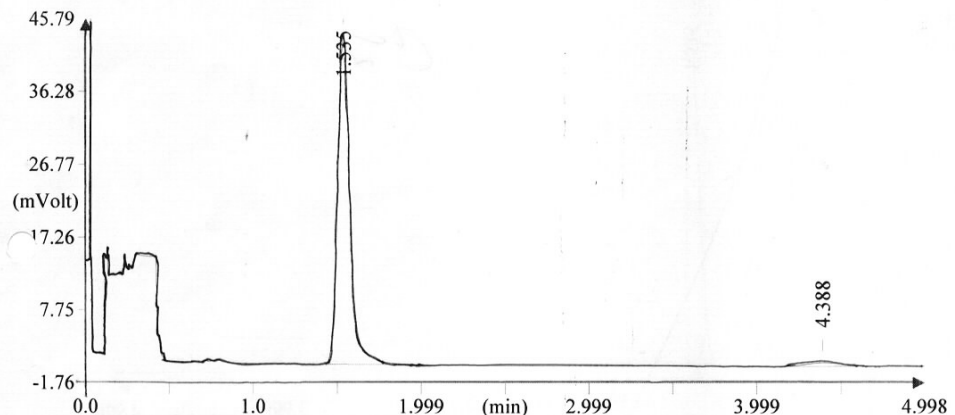
Ident. Number (#)	Retention Time (min)	Component Name	Area (.1* uV* sec)	Solution Conc ppm
1	1.530	CO	966314	0.000
2	4.392	CO <sub>2</sub>	208702	0.000

1175016  
Warning Chromatogram has been subjected to manual integration.

รูปที่ ๔-๖ พื้นที่ใต้พื้นที่ของแก๊สมาตรฐานカラ์บอนมอนอกไซด์ 215 พีพีเอ็มและカラ์บอนไดออกไซด์ 79.7 พีพีเอ็ม

**CHEMICAL TECHNOLOGY FACULTY OF SCIENCE  
CHULALONGKORN UNIVERSITY**

Operator ID:	System manager	Company name:	[ ]
Method filename:	C:\Khritsayaporn\2005\Feb\09\New Folder\Standard.mth	Method name:	[ ]
Analysed:	09-02-05 20:07	GC method:	[ ]
Sample ID:	500ppm_4	Channel:	[ ]
Analysis type:	UnkNowN	Calculation method:	[ ]
Chromatogram filename:	C:\Khritsayaporn\2005\Feb\09\New Folder\500ppm_4.dat	Calibration method:	[ ]



Ident. Number (#)	Retention Time (min)	Component Name	Area (.1*uV*sec)	Solution Conc ppm
1	1.535	CO	2222002	0.000
2	4.388	CO2	71812	0.000

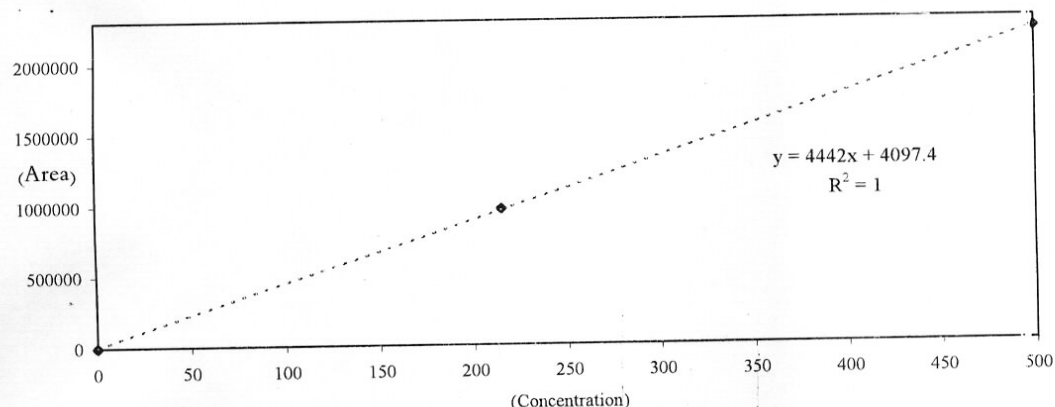
Warning Chromatogram has been subjected to manual integration.

2293814

รูปที่ ๔-7 พื้นที่ใต้พื้นของแก๊สมาตรฐานค่าวับconmonอกไชด์ 500 พีพีเอ็มและค่าวับconïdeokoไชด์  
27 พีพีเอ็ม

### Chrom-Card Calibration curve

Operator ID :	System manager	Company name :	C.E. Combination
Method filename :	C:\Kritsayaporm\2005\Feb\09\Std.mth	Method Name :	Carbon Monoxide
Analysed :	09-02-05 19:24	GC Method :	Carbon Mono side
Sample ID:	Standard	Channel :	(LEFT FID)
Analysis type :	Unknown	Calibration method :	External STD
Chromatogram filename :	C:\Kritsayaporm\2005\Feb\09\Std.mth	Calibration method :	Response Factors

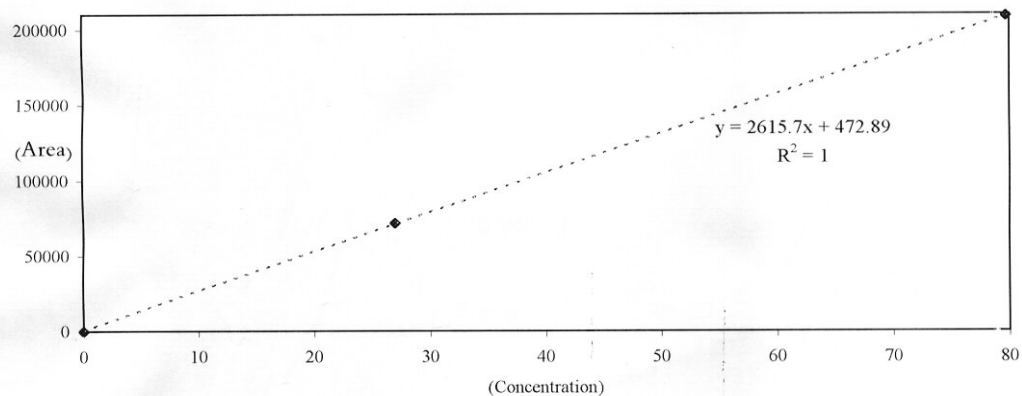


Ident. Number (#)	Retention Time (min)	Component Name	Area (.1*uV*sec)	Concentration ppm mole
1	1.528	CO	0	0
2	1.530	CO	966314	215
3	1.535	CO	2222002	500

รูปที่ ๔-๘ Calibration curve ของ คาร์บอนมอนอกไซด์ ที่ความเข้มข้น 0 – 215 และ 500 พีพีเอ็ม

### Chrom-Card Calibration curve

Operator ID :	System manager	Company name :	C.E. Combination
Method filename :	C:\Kritsayaporm\2005\Feb\09\Std.mth	Method Name :	Carbon Dioxide
Analysed :	09-02-05 19:24	GC Method :	Carbon Dioxide
Sample ID:	Standard	Channel :	(LEFT FID)
Analysis type :	Unknown	Calibration method :	External STD
Chromatogram filename :	C:\Kritsayaporm\2005\Feb\09\Std.mth	Calibration method :	Response Factors



Ident. Number (#)	Retention Time ( min )	Component Name	Area ( .1*uV*sec )	Concentration ppm mole
1	4.387	CO2	0	0
2	4.387	CO2	71812	27.0
3	4.392	CO2	208702	79.7

รูปที่ ๔-๙ Calibration curve ของ คาร์บอนไดออกไซด์ ที่ความเข้มข้น 0 – 27.0 และ 79.7 พีพีเอ็ม

## บทที่ 4

### ผลการทดลองและวิจารณ์ผล

#### 4.1 ส่วนที่ 1 ศึกษาปฏิกิริยาระหว่างไฮโดรเจนเพอร์ออกไซด์และคาร์บอนมอนอกไซด์ 500 พิพิเอ็มในไฮโดรเจน

ในการทดลองนี้จะใช้ FT-IR ในการวิเคราะห์พื้นที่ได้กราฟของคาร์บอนไดออกไซด์เท่านั้น เนื่องจากคาร์บอนไดออกไซด์เป็นแก๊สผลิตภัณฑ์ซึ่งจะทำการวิเคราะห์โดยใช้ FT-IR ได้ง่ายกว่า คาร์บอนมอนอกไซด์ การจับกันของออกซิเจนและคาร์บอนของคาร์บอนไดออกไซด์จะจับกันด้วย พันธะสอง (double bond) สามารถมองเห็นการเปลี่ยนแปลงได้ง่ายกว่าเมื่อแสง IR ส่งผ่านเข้าไป สั่นพันธะ ซึ่งจะแตกต่างกับคาร์บอนมอนอกไซด์ที่จะลดลงของออกซิเจนกับคาร์บอนจับกันด้วย พันธะสาม (triple bond) ที่มีความแข็งแรงทำให้แสง IR ไปสั่นได้น้อยจึงมองเห็นการเปลี่ยนแปลง ยาก โดยกลุ่มที่จับกันด้วยพันธะสาม เช่น คาร์บอนมอนอกไซด์ และไนโตรเจน ( $N_2$ ) จึงไม่นิยม วิเคราะห์ด้วย FT-IR ตำแหน่งพีคของคาร์บอนไดออกไซด์อยู่ที่  $2360\text{ cm}^{-1}$  ส่วนพีคของคาร์บอน มอนอกไซด์จะอยู่ที่  $2171\text{ cm}^{-1}$  ตำแหน่งของพีคทั้งสองยืนยันโดยการใช้แก๊สมหาดรูปผ่านเข้า แก๊สเซลล์ และวัดการดูดกลืนแสง IR

รูปที่ 4.1 แสดงถึง FT-IR สเปกตรัมของแก๊สผลิตภัณฑ์ที่เกิดจากปฏิกิริยาระหว่าง คาร์บอนมอนอกไซด์ 500 พิพิเอ็มในไฮโดรเจนในลักษณะไฮโดรเจนเพอร์ออกไซด์ ส่วนรูปที่ 4.2 แสดงถึง FT-IR สเปกตรัมของแก๊สผลิตภัณฑ์ระหว่างคาร์บอนมอนอกไซด์ 500 พิพิเอ็มใน ไฮโดรเจนในลักษณะน้ำ

ตาราง ข-1 ในภาคผนวก ข. แสดงพื้นที่ได้กราฟของคาร์บอนไดออกไซด์ที่  $2360\text{ cm}^{-1}$  เปรียบเทียบระหว่างการทดลองที่ใช้ไฮโดรเจนเพอร์ออกไซด์และน้ำ ในกรณีพื้นที่ได้กราฟต้อง เปลี่ยนหน่วยวัดจาก % การส่งผ่านแสง (%Transmittance, %T) เป็นค่าการดูดกลืนแสง (Absorbance, A) ก่อนแล้วคำนวณด้วยโปรแกรม Spectrum 2000 ของเครื่อง FT-IR หน่วยวัด เป็น การดูดกลืนแสงต่อเซนติเมตร ( $\text{A.cm}^{-1}$ )

รับ ทราบ บัญชี ที่ ๔

ขอแสดงถึง พลเอก ทักษิณ ธรรมชาติ ว่า วิจัยนี้เป็นการทดลองทางวิทยาศาสตร์ ที่มีความสำคัญ ทั้งทางด้านการศึกษา และการประยุกต์ใช้ในชีวิตประจำวัน จึงควรสนับสนุนให้ดำเนินการต่อไป ด้วยความตั้งใจ ที่จะนำไปสู่ประโยชน์ด้านเศรษฐกิจ ประเทศชาติ ดังนั้น ขอเรียนเชิญ ให้ทางมหาวิทยาลัย สนับสนุน ให้ดำเนินการต่อไป

ด้วยความนับถือ ที่สุด

นาย วรรธน์

๒๐๐๘ ๒๕๖๖

## บันทึกข้อความ

ส่วนราชการ ภาควิชาเคมี คณะวิทยาศาสตร์ จุฬาลงกรณ์มหาวิทยาลัย โทร. 02-218-4954

ที่ วันที่ 11 เมษายน 2548

เรื่อง การใช้เทคนิค FTIR ในการวิเคราะห์เชิงปริมาณ

เรียน ผู้ช่วยศาสตราจารย์ ดร. สงวนพิพิธ พงศ์สุดานนท์

จากการที่อาจารย์ได้สอนด้านความเป็นไปได้ในการใช้เทคนิค FTIR ในการวิเคราะห์เชิงปริมาณนั้น ผู้  
ขอเรียนให้ทราบดังนี้

ในช่วง 10 ปีที่ผ่านมา เทคนิคทางด้าน FTIR ได้ถูกพัฒนาอย่างรวดเร็ว จากเทคนิคที่ใช้งานด้านการ  
วิเคราะห์เชิงคุณภาพเป็นหลัก จนกระทั่งปัจจุบันนี้ FTIR เป็นเทคนิคที่ใช้ในการวิเคราะห์เชิงปริมาณที่ใช้งานได้  
หลากหลายแบบจะทุกรูปแบบของตัวอย่าง ไม่ว่าจะเป็นของเหลว ของแข็ง และก้าช ขอเพียงสารนั้นสามารถ  
คุ้ดกลืนแสง IR ได้เท่านั้น ทั้งนี้เป็นเพราะการวิเคราะห์ด้วยเทคนิค IR เป็น non-destructive technique ไม่ทำให้  
ตัวอย่างเสียไป เครื่อง FTIR ราคาไม่แพง และมี accessory สำหรับการวิเคราะห์ตัวอย่างประเภทต่างๆ ให้เลือกใช้  
ได้อย่างหลากหลาย ทำให้การวิเคราะห์เชิงปริมาณด้วยเทคนิค FTIR เป็นการวิเคราะห์แบบ routine และ online ใน  
หลากหลายกรณี ซึ่งอาจารย์สามารถค้นเอกสารอ้างอิงคู่ได้จากฐานข้อมูล ISI จะทำให้อาจารย์ได้เห็นภาพและการ  
ประยุกต์รูปแบบต่างๆ ได้ชัดเจนยิ่งขึ้น

จึงเรียนมาเพื่อทราบ และขออภัยนับว่าเทคนิค FTIR สามารถใช้วิเคราะห์เชิงปริมาณได้จริง

(รองศาสตราจารย์ ดร. อัมรา เพชรสัม)

## ประวัติผู้เขียนวิทยานิพนธ์

นางสาวกฤชยาพร ทินกร เกิดวันที่ 23 กรกฎาคม 2521 ที่จังหวัดนครศรีธรรมราช สำเร็จการศึกษาระดับมัธยมศึกษาปีที่ 6 จากโรงเรียนเบญจมราษฎร์ศิริจังหวัดนครศรีธรรมราช สำเร็จการศึกษาปริญญาตรีวิทยาศาสตรบัณฑิต ภาควิชาฟิสิกส์ คณะวิทยาศาสตร์ มหาวิทยาลัยธรรมศาสตร์ ในปีการศึกษา 2543 และเข้าศึกษาต่อในหลักสูตรวิทยาศาสตรมหาบัณฑิตที่จุฬาลงกรณ์มหาวิทยาลัย เมื่อปีการศึกษา 2545